



הטכניון – מכון טכנולוגי לישראל  
Technion – Israel Institute of Technology

**ספריות הטכניון**  
*The Technion Libraries*

**בית הספר ללימודי מוסמכים ע"ש ארווין וג'ואן ג'ייקובס**  
*Irwin and Joan Jacobs Graduate School*

©

**All rights reserved**

*This work, in whole or in part, may not be copied (in any media), printed, translated, stored in a retrieval system, transmitted via the internet or other electronic means, except for "fair use" of brief quotations for academic instruction, criticism, or research purposes only.  
Commercial use of this material is completely prohibited.*

©

**כל הזכויות שמורות**

*אין להעתיק (במדיה כלשהי), להדפיס, לתרגם, לאחסן במאגר מידע, להפיץ באינטרנט, חיבור זה או כל חלק ממנו, למעט "שימוש הוגן" בקטעים קצרים מן החיבור למטרות לימוד, הוראה, ביקורת או מחקר. שימוש מסחרי בחומר הכלול בחיבור זה אסור בהחלט.*

הכנון מסננים ספרתיים דו ממדיים

עבודת גמר  
לשם מילוי חלקי של הדרישות לקבלת התואר  
מגיסטר למדעים  
בהנדסת חשמל

מאת  
רמי סגל

הוגש לסנט של הטכניון - מכון טכנולוגי לישראל  
חשון - תשל"ו חלפה נובמבר-1975



עבודת הגמר נעשתה בהנחיית די"ר ד. מלאך  
בפקולטה להנדסת חשמל

תודתי בתונה לדי"ר ד. מלאך על עזרתו  
והנחיתו במהלך העבודה.

תוכן העניינים

<u>עמוד</u>	
1	1. תקציר
2	2. רשימת הסמלים והקיצורים
3	3. מבוא
5	4. מסננים ספרתיים דו ממדיים
5	4.1 מערכת דו ממדית לינארית וקבועה בזמן
5	4.2 סבתיות, פריקות ויציבות
7	4.3 משואות הפרש דו ממדיות
8	4.4 מרחב התדר
9	4.5 התמרת Z דו ממדית
10	4.6 התמרת פוריה דיסקרטית דו ממדית
10	4.7 ממוש לא רקורסיבי ומימוש רקורסיבי
12	5. בעית היציבות
12	5.1 בדיקת היציבות של מסנן רקורסיבי דו-ממדי
14	5.2 שיטות ליצוב מסננים רקורסיביים דו ממדיים
15	5.3 יצוב מסנן רקורסיבי דו ממדי בשיטת P.L.S.I
27	5.4 יצוב מסנן רקורסיבי דו ממדי ע"י התמרת HILBERT
35	5.5 יצוב ע"י השואת הספקטרום של מסנן שאינו יציב, עם ספקטרום של מסנן יציב
40	6. תכנון מסנן רקורסיבי דו ממדי לפי התגובה לדגם יחידה
45	7. תכנון מסננים רקורסיביים דו ממדיים במישור התדר
45	7.1 תכנון מסננים רקורסיביים דו ממדיים ע"י הזזת צירי התדר
65	7.2 תכנון מסננים רקורסיביים דו ממדיים ע"י דגימת תגובת התדר
69	7.3 תכנון מסננים רקורסיביים דו ממדיים ע"י שימוש בשיטת DIFFERENTIAL CORRECTION
71	8. סכום
72	1 נספח
75	2 נספח
78	3 נספח
81	מקורות וספרות

סינון ספרתי של אותות דו ממדיים מקנה לנו את היתרונות הטמונים בשימוש במחשב כגון גמישות, זיוק, והאפשרות להפעיל אלגוריתמים מסובכים ומתוחכמים. השימוש של מסננים ספרתיים דו ממדיים הוא בעיבוד תמונות כגון: תצלומי אוויר, תצלומים רפואיים, ובעבוד נתונים גיאופיסיים.

כמו במקרה החד ממדי גם במקרה הדו ממדי נהוג לחלק את המסננים לשתי קטגוריות.

אלו שתגובתם לדגם יחידה מכילה מספר סופי של אברים ולכן פונקציית התמסורת שלהם

היא פולינום. סוג זה של מסננים נקרא F.I.R (FINITE IMPULSE RESPONSE).

ואלו שמספר אברי התגובה לדגם יחידה הוא אינסופי ופונקציית התמסורת שלהם היא

פונקציה רציונלית. מסננים אלו נקראים I.I.R (INFINITE IMPULSE RESPONSE).

המימוש הטבעי של מסננים מסוג זה הוא הממוש הרקורסיבי.

מאחר ומסננים רקורסיביים חסכוניים בזמן מחשב ובזכרון בהשוואה למסננים שמימושם

לא רקורסיבי, תתרכז העבודה במסננים רקורסיביים.

בתכנון מסננים רקורסיביים קימות שתי בעיות עקריות בעית היציבות ובעית הסיבטזה.

מכיון שיציאת המסנן מחושבת על ידי אלגוריתם רקורסיבי קימת אפשרות שכניסה חסומה

למסנן תגרום יציאה מתבדרת. מסנן כזה נקרא מסנן בלתי יציב.

הטכניקות הקימות לבדיקת יציבותו של מסנן רקורסיבי דו ממדי הן מסובכות ודורשות

זמן מחשב רב ומבחינה מעשית אפשר להפעילם רק על מסננים מסדר נמוך.

בנושא היציבות קימים שני נושאים בעלי חשיבות:

(א) כיצד לייצב מסנן שאינו יציב כך שהעוותים בספקטרום של המסנן המקורי יהיו

מינימליים.

(ב) כיצד לתכנן מסננים יציבים.

בעבודה מוצגות שלוש שיטות של יצוב מסנן בלתי יציב. הראשונה שבהם מתבטטת על ההנחה

ש - PLANAR LEAST SQUARES INVERSE של מערך דו ממדי הוא ברוב המקרים

MINIMUM PHASE.

השיטה השניה משתמשת בהכללת התמרת הילברט הדיסקרטית אשר מובילה לשיטה המאפשרת

יצוב מסננים בלתי יציבים.

על פי שיטה נוספת מקרבים את המסנן הבלתי יציב למסנן שיציבותו מובטחת, כך

שהספקטרום של המסנן היציב יהיה קרוב עד כמה שאפשר לספקטרום של המסנן הבלתי יציב.

השיטה המוצגת טובה עבור מסננים מסדר נמוך.

בעבודה מוצגות מספר שיטות לתכנון מסננים רקורסיביים דו ממדיים. השיטה הראשונה

עוסקת בתכנון מסננים כאשר התגובה לדגם יחידה של המסנן הרצוי נמונה.

השיטות האחרות עוסקות בתכנון מסננים כאשר הספקטרום הרצוי של המסנן נתון.

לשיטות הקימות כיום לתכנון מסננים רקורסיביים מגוונות רבות והן נותנות תשובה

חלקית בלבד לבעיה. יש להשקיע מאמצים נוספים על מנת למצוא פתרונות כלליים

ויעילים יותר לבעית היציבות והאנליזה של מסננים רקורסיביים דו ממדיים.

2. רשימת הסמלים והקצורים

- |   |  |     |
|---|--|-----|
| דגם יחידה.  | $\delta(m,n) = \begin{cases} 1 & m=n \\ 0 & \text{בכל מקרה אחר} \end{cases}$ | .1  |
| סידרה דיסקרטית דו ממדית.                                    | $x(m,n) \quad \infty < m, n < \infty$  | .2  |
| התגובה לדגם יחידה של מסנן דו ממדי.                          | $h(m,n) \quad \infty < m, n < \infty$  | .3  |
| קונבולוציה דיסקרטית דו ממדית.                               | $x(m,n) * h(m,n)$  | .4  |
| תגובת התדר של מסנן ספרתי דו ממדי.                           | $H(e^{j\omega_1}, e^{j\omega_2})$  | .5  |
| התמרת Z של הסידרה הדו ממדית.                                | $X(z_1, z_2)$  | .6  |
| התמרת Z של המסנן $h(m,n)$ .                                 | $H(z_1, z_2)$  | .7  |
| סידרה דיסקרטית דו ממדית, מחזורית.                           | $x_p(m,n)$   | .8  |
| שגיאה (error).  | $e$  | .9  |
| פונקציית הקורלציה.  | $\Phi$   | .10 |
| D.F.T. התמרת פורה דיסקרטית (DISCRETE FOURIER TRANSFORM) .11 |  |     |
| I.D.F.T. - התמרת פוריה דיסקרטית הפוכה. (INVERSE D.F.T) .12  |  |     |
| RE (H) החלק הממשי של H.                                     |  | .13 |
| IM (H) החלק הדמיוני של H.                                   |  | .14 |
| $A^*$ הצמוד של המספר המורכב A.                              |  | .15 |
| $A \cap B$ החיתוך של הקבוצה A והקבוצה B.                    |  | .16 |
| INFINITE IMPULSE RESPONSE -                                 | I.I.R.   | .17 |
| FINITE IMPULSE RESPONSE -                                   | F.I.R.   | .18 |
| PLANAR LEAST SQUARES INVERSE -                              | P.L.S.I.   | .19 |

## 3. מבוא

קימים תחומים רבים שבהם נדרש להשתמש בסינון ספרתי דו ממדי כגון : עבוד תצלומי אויר, תצלומים רפואיים, תצלומי מזג אויר, נתוח נתונים סטטיים ונתוח נתונים ממערכי מכיים וסונו.

קימות מספר שיטות לסינון אותות ספרתיים. השיטות המקובלות הם :  
א. על המערך הנתון מבצעים התמרת פוריה דיסקרטית (דו ממדית). התוצאה מוכפלת בפונקציה המנחיתה את האברים הבלתי רצויים. מבצעים התמרת פוריה הפוכה ומקבלים מערך חדש בעל הספקטרום הרצוי.

ב. שימוש במסננים בעלי זכרון סופי (F.I.R FINITE IMPULSE RESPONSE) הצורה הפשוטה ביותר לממש מסננים מסוג זה היא בעזרת הקונבולוציה.

ג. שמוש במסננים בעלי זכרון אין סופי (I.I.R INFINITE IMPULSE RESPONSE) הממוש הרקורסיבי הוא הממוש הטבעי של סוג מסננים זה. במימוש זה תלויה יציאת המסנן בכניסות הקודמות, בכניסה הנוכחית, וביציאות הקודמות.

אפשר להראות ששיטת הסינון השלישית היא החסכונית מבין השלוש בזמן מחשב ובזכרון תכונה זו מעלה חשיבותם של המסננים הרקורסיבים. במיוחד לאור העובדה שכיום כמעט כל מערכת ספרתית מכילה מיני מחשב המוגבל בגודל הזכרון. מסיבה זו תתרכז העבודה בתכנון מסננים ספרתיים דו ממדים רקורסיבים. בתכנון מסננים רקורסיביים קימות שתי בעיות עקריות האחת בעית היציבות, והשניה בעית הסינטזה.

לבעית היציבות לא נמצא עד כה פתרון מושלם, וזו אחת הסיבות שעד היום לא נעשתה הרבה עבודה בשטח תכנון מסננים רקורסיבים דו ממדיים. (בעית היציבות אינה קימת במסננים לא רקורסיבים). מסנן הוא יציב אם עבור כניסה חסומה למסנן היציאה מהמסנן חסומה גם היא.

שלוש שאלות מתעוררות כאשר דנים בבעית היציבות.

השאלה הראשונה היא כיצד לקבוע האם מסנן נתון יציב.

השאלה השניה היא כיצד לתכנן מסנן בצורה שנבטיח את יציבותו.

השאלה השלישית היא כיצד ליצב מסנן שאינו יציב כך שהספקטרום של המסנן המיוצב יהיה קרוב עד כמה שאפשר לספקטרום של המסנן המקורי.

בנושא הסינטזה, נציג שתי שיטות סינטזה שונות :

א. כאשר נתונה התגובה לדגם יחידה הרצויה.

ב. כאשר נתון הספקטרום הרצוי.

לבעיות הסינטזה אין עדין פתרונות מושלמים. רוב השיטות הקימות כיום מוגבלות,

ונותנות פתרונות חלקיים בלבד.



4. מסננים ספרתיים דו ממדיים

4.1 מערכת דו ממדית לינארית וקבועה במרחב

תהי  $x(m,n)$  סידרה דו מימדית כאשר  $m$  ו- $n$  הם משתנים שלמים. נגדיר דגם יחידה כ-

$$\delta(m,n) = \begin{cases} 1 & m=n=0 \\ 0 & \text{בכל מקרה אחר} \end{cases} \quad (4.1)$$

סידרה דו ממדית ניתן לתאר עידי

$$x(m,n) = \sum_{k=-\infty}^{\infty} \sum_{r=-\infty}^{\infty} x(k,r) \delta(m-k, n-r) \quad (4.2)$$

מערכת מוגדרת כטרנספורמציה חד ערכית אשר ממפה את סידרת הכניסה  $x(m,n)$  לסידרה  $y(m,n)$  ביציאה, מסמנים זאת בצורה הבאה:

$$y(m,n) = T[x(m,n)]$$

במערכת קבועה במרחב עבור כניסה  $x(m-k, n-r)$  נקבל ביציאה  $y(m-k, n-r)$ .

אם  $h(m,n)$  הוא התגובה לדגם יחידה  $\delta(m,n)$ , אזי עבור מערכת קבועה במרחב,  $h(m-k, n-r)$  היא התגובה ל-  $\delta(m-k, n-r)$ . מאחר ואנו דנים במערכות לינאריות, תגובת המערכת לכניסה  $x(m,n)$  תהיה:

$$\begin{aligned} y(m,n) &= \sum_{p=-\infty}^{\infty} \sum_{q=-\infty}^{\infty} x(p,q) h(m-p, n-q) = \\ &= \sum_{p=-\infty}^{\infty} \sum_{q=-\infty}^{\infty} h(p,q) x(m-p, n-q) = x(m,n) * h(m,n) \end{aligned} \quad (4.3)$$

\* מטמל את פעולת הקונבולוציה.

4.2 סבתיות, פריקות ויציבות

א. סבתיות

מסנן דו ממדי הנו סבתי אם תגובתו לדגם יחידה מקימת את התנאי

$$h(m,n) = 0 \quad \text{מ} \forall n < 0$$

ב. פריקות

מסנן הוא פריק אם תגובתו לדגם יחידה  $h(m, n)$  נתנת להכתב כמכפלה של שתי פונקציות, האחת פונקציה של  $m$  והשנייה פונקציה של  $n$  בלבד.

כלומר

$$h(m, n) = g(m) \cdot f(n)$$

היתרון של מסנן פריק הוא שהקונבולוציה הדו ממדית כפי שמופיעה בנוסחה (4.3) מבוצעת בעזרת קונבולוציות חד ממדיות.

$$\begin{aligned} y(m, n) &= \sum_{p=-\infty}^{\infty} \sum_{q=-\infty}^{\infty} g(p) \cdot f(q) \cdot x(m-p, n-q) = \\ &= \sum_{p=-\infty}^{\infty} g(p) \left[ \sum_{q=-\infty}^{\infty} f(q) \cdot x(m-p, n-q) \right] = \sum_{p=-\infty}^{\infty} g(p) \cdot a(m-p, n) \end{aligned}$$

כאשר  $a(m-p, n)$  היא סידרה של קונבולוציות חד ממדיות. אם גם  $x(m, n)$  וגם  $h(m, n)$  פריקים היציאה  $y(m, n)$  היא כפולה של שתי קונבולוציות חד ממדיות.

ג. יציבות

מסנן ספרתי דו ממדי הוא מסנן יציב במובן שכניסה חסומה גוררת יציאה חסומה אם ורק אם התגובה לדגם יחידה מקימת את אי השוויון הבא :

$$\sum_{m=-\infty}^{\infty} \sum_{n=-\infty}^{\infty} |h(m, n)| < \infty \quad (4.4)$$

אפשר להראות זאת בדרך הבאה.

ראשית נניח שמשוואה (4.4) מתקיימת. צריך להראות שאם הכניסה למסנן חסומה גם היציאה חסומה.

אם הכניסה חסומה אפשר למצוא  $M$  כזה כך שיתקיים  $|x(m, n)| \leq M \forall m, n$  ולכן אפשר לרשום

$$\begin{aligned} |y(m, n)| &= \left| \sum_{p=-\infty}^{\infty} \sum_{q=-\infty}^{\infty} h(p, q) \cdot x(m-p, n-q) \right| \leq \\ &\leq M \left| \sum_{p=-\infty}^{\infty} \sum_{q=-\infty}^{\infty} h(p, q) \right| < \infty \end{aligned}$$

ולכן היציאה חסומה.

עתה נניח שמשוואה (4.4) אינה מתכנסת צריך להראות שאפשר למצוא כניסה חסומה הגוררת יציאה מתבדרת.

$$x(m,n) = \begin{cases} \frac{h^*(-m,-n)}{|h(-m,-n)|} & h(m,n) \neq 0 \\ 0 & h(m,n) = 0 \end{cases} \quad \text{בניח שהסידרה בכניסה תהיה}$$

כאשר  $h^*(m,n)$  הוא הצמוד הקומפלכסי של  $h(m,n)$ . נתבונן ביציאת המערכת עבור  $m=n=0$  מקבלים

$$\begin{aligned} y(0,0) &= \sum_{p=-\infty}^{\infty} \sum_{q=-\infty}^{\infty} x(-p,-q) h(p,q) = \\ &= \sum_{p=-\infty}^{\infty} \sum_{q=-\infty}^{\infty} \frac{|h(p,q)|^2}{|h(p,q)|} = \infty \end{aligned}$$

כלומר היציאה מתבדרת.

### 4.3 משוואות הפרש דו ממדיות

כמו במקרה החד ממדי, קיימים מסננים דו ממדיים שאפשר לתארם על ידי משוואות הפרש לינאריות עם מקדמים קבועים.

התאור הכללי ביותר בתוך ע"י המשוואה

$$\begin{aligned} \sum_{m=0}^M \sum_{n=0}^N b(m,n) y(p-m, q-n) &= \\ = \sum_{s=0}^S \sum_{r=0}^R a(s,r) x(p-s, q-r) \end{aligned} \quad (4.5)$$

מבלי לפגוע בכלליות הייצוג אפשר להניח ש-  $b(0,0)=1$  ואז אפשר לרשום את המשוואה באפיון הרקורסיבי שלה.

$$y(p,q) = \sum_{s=0}^S \sum_{r=0}^R a(s,r) x(p-s, q-r) - \sum_{m=0}^M \sum_{n=0}^N b(m,n) y(p-m, q-n) \quad (4.6)$$

$m, n$  אינם שווים לאפס בו זמנית

4.4 מרחב התדר

נבחן את תגובתה של מערכת ספרתית דו מימדית לסידרה סינוסית מרוכבת

$$x(m, n) = e^{j\omega_1 m} \cdot e^{j\omega_2 n} \quad (4.7)$$

אם נשתמש במשפט הקונבולוציה נקבל שיציאת המערכת תהיה :

$$y(m, n) = \sum_{k=-\infty}^{\infty} \sum_{r=-\infty}^{\infty} h(k, r) \cdot e^{j\omega_1(m-k)} \cdot e^{j\omega_2(n-r)} = \quad (4.8)$$

$$= e^{j\omega_1 m} \cdot e^{j\omega_2 n} \cdot \sum_{k=-\infty}^{\infty} \sum_{r=-\infty}^{\infty} h(k, r) \cdot e^{-j\omega_1 k} \cdot e^{-j\omega_2 r} = x(m, n) \cdot H(e^{j\omega_1}, e^{j\omega_2})$$

נקרא תגובת התדר של המערכת והוא מוגדר ע"י

$$H(e^{j\omega_1}, e^{j\omega_2}) \triangleq \sum_{k=-\infty}^{\infty} \sum_{r=-\infty}^{\infty} h(k, r) e^{-j\omega_1 k} e^{-j\omega_2 r} \quad (4.9)$$

המשוואה (4.9) מיצגת למעשה טור פוריה ולכן אפשר לחשב את המקדמים  $h(k, r)$

לפי הנוסחה

$$h(k, r) = \frac{1}{4\pi^2} \int_{-\pi}^{+\pi} \int_{-\pi}^{+\pi} H(e^{j\omega_1}, e^{j\omega_2}) e^{j\omega_1 k} e^{j\omega_2 r} d\omega_1 d\omega_2 \quad (4.10)$$

לתגובת התדר מספר תכונות חשובות :

א.  $H(e^{j\omega_1}, e^{j\omega_2})$  מחזורי ב-  $\omega_1$  וב-  $\omega_2$  כלומר

$$H(e^{j\omega_1}, e^{j\omega_2}) = H(e^{j(\omega_1 + l \cdot 2\pi)}, e^{j(\omega_2 + m \cdot 2\pi)}) \quad (4.11)$$

עבור  $-\infty < l, m < \infty$

ב. אם  $h(m, n)$  מקבל ערכים ממשיים בלבד אזי מתקיים

$$H(e^{j\omega_1}, e^{j\omega_2}) = H^*(e^{-j\omega_1}, e^{-j\omega_2}) \quad (4.12)$$

ולכן ידיעת התנהגות  $H(e^{j\omega_1}, e^{j\omega_2})$  בתחום  $0 \leq \omega_1 < \pi$ ,  $0 \leq \omega_2 < \pi$  כלומר ברביע הראשון, מספיקה כדי לדעת את תגובת התדר ברביע השלישי, וידיעת התנהגות תגובת התדר ברביע השני, מספיקה כדי לדעת את התנהגות תגובת התדר ברביע הרביעי.

כמו במקרה החד מימדי אפשר להראות שאם

$$y(m, n) = x(m, n) * h(m, n)$$

אזי

$$Y(e^{j\omega_1}, e^{j\omega_2}) = X(e^{j\omega_1}, e^{j\omega_2}) \cdot H(e^{j\omega_1}, e^{j\omega_2}) \quad (4.13)$$

כאשר  $\chi(e^{j\omega_1}, e^{j\omega_2})$  ו-  $\Upsilon(e^{j\omega_1}, e^{j\omega_2})$  הם התמרות פוריה של  $x(m,n)$  ו-  $y(m,n)$  בהתאמה.

4.5 התמרת z דו ממדית

שיטה שימושית ליצג סידרה דו מימדית  $x(m,n)$ , היא באמצעות התמרת z

$$X(z_1, z_2) \triangleq \sum_{m=-\infty}^{\infty} \sum_{n=-\infty}^{\infty} x(m,n) z_1^m z_2^n \quad (4.14)$$

משוואה (4.14) מוגדרת בתחום ההתכנסות. תחום ההתכנסות מוגדר ע"י תחום

$$\sum_{m=-\infty}^{\infty} \sum_{n=-\infty}^{\infty} |x(m,n) z_1^m z_2^n| < \infty \quad (4.15)$$

בדרך כלל קשה לחשב את תחום ההתכנסות. בבעיה זו נדון ביתר פרוט בפרק הבא הדן בבעית היציבות.

ההתמרה ההפיכה מוגדרת כ-

$$x(m,n) \triangleq \frac{1}{(2\pi j)^2} \int_{C_1} \int_{C_2} X(z_1, z_2) z_1^{-m-1} z_2^{-n-1} dz_1 dz_2 \quad (4.16)$$

$C_1$  ו-  $C_2$  הם מסלולים סגורים המכילים את הראשית ונמצאים בתוך תחום ההתכנסות.

התכונות הידועות עבור התמרת z חד ממדית נתונות להרחבה למקרה הדו ממדי.

אם:  $y(m,n) = x(m,n) * h(m,n)$

$$\Upsilon(z_1, z_2) = X(z_1, z_2) \cdot H(z_1, z_2) \quad \text{אזי}$$

אם מתארים את  $z_1$  ואת  $z_2$  בקואורדינטות פולריות

$$z_1 = r_1 e^{j\omega_1}$$

$$z_2 = r_2 e^{j\omega_2}$$

התמרת z של הסידרה  $x(m,n)$ , נתונה ע"י הנוסחה:

$$X(r_1 e^{j\omega_1}, r_2 e^{j\omega_2}) = \sum_{m=-\infty}^{\infty} \sum_{n=-\infty}^{\infty} x(m,n) \cdot r_1^m e^{-j\omega_1 m} \cdot r_2^n e^{-j\omega_2 n} \quad (4.17)$$

עבור  $r_1 = r_2 = 1$  מתלכדת נוסחה (4.17) עם נוסחת התמרת פוריה של הסידרה  $x(m,n)$ , נוסחה (4.9).

4.6 התמרת פוריה זיסקרטית דו ממדית (D.F.T)

סדרה מחזורית דו מימדית מוגדרת ע"י

$$x_p(m,n) = x_p(m+kM, n+rN)$$

כאן  $p$  מסמן את המחזוריות של הסדרה  $x_p(m,n)$ ,  $M$  הוא המחזור עבור המימד הראשון, ו- $N$  הוא המחזור עבור המימד השני.  $k$  ו- $r$  הם מספרים שלמים. כמו במקרה החד מימדי, סדרה מחזורית דו ממדית נתנת לבטוי במדויק כקומבינציה לינארית של מספר סופי של אקספוננטים, שתדריהם הם כפולות של  $2\pi/M$  ו- $2\pi/N$

$$x_p(m,n) = \frac{1}{M \cdot N} \sum_{k=0}^{M-1} \sum_{r=0}^{N-1} X_p(k,r) e^{j(2\pi/M)m \cdot k} e^{j(2\pi/N)n \cdot r} \quad (4.18)$$

כאשר המקדמים בהתמרת פוריה  $X_p(k,r)$ , מיצגים את האמפלוטודה של הסיגנל  $x(m,n)$  בתדר הדו מימדי  $w_1 = \frac{2\pi}{M} m$ ,  $w_2 = \frac{2\pi}{N} n$ . את  $X_p(k,r)$  אפשר לחשב ע"י חישוב התמרת פוריה הדו מימדית של הסיגנל המחזורי  $x_p(m,n)$ , בתדרים  $w_1, w_2$  כפי שהוגדרו בדף זה. כלומר:

$$X_p(k,r) = X(z_1, z_2) : z_1 = e^{-j\frac{2\pi}{M}k}, z_2 = e^{-j\frac{2\pi}{N}r} \quad (4.19)$$

$$= \sum_{m=0}^{M-1} \sum_{n=0}^{N-1} x_p(m,n) e^{-j(2\pi/M)m k} e^{-j(2\pi/N)n r}$$

הי  $x(m,n)$  סידרה דו מימדית סופית אשר  $M \cdot N$  איבריה הראשונים זהים לאברי מחזור אחד של הסידרה  $x_p(m,n)$ , ושאר האברים הנם אפס. התמרת  $z$  של סידרה זו בנקודות  $z_1 = e^{-j\frac{2\pi}{M}k}$ ,  $z_2 = e^{-j\frac{2\pi}{N}r}$ , זהה ל-  $X_p(k,r)$  מתקבל לכן שבעזרת ה-D.F.T המופעל על סידרה מחזורית  $x_p(m,n)$  אפשר למצוא את הספקטרום של סידרה סופית  $x(m,n)$  בתדרים הדיסקרטים  $w_1$  ו- $w_2$ .

4.7 מימוש לא רקורסיבי ומימוש רקורסיבי

נהוג לחלק את המסננים הספרתיים לשתי קטגוריות. אלו שתגובתם לדגם יחידה מכילה מספר סופי של איברים ופונקציית התמסורת שלהם היא פולינום. מסננים אלו נקראים מסנני F.I.R. ואלו שפונקציית התמסורת שלהם נתונה ע"י פונקציה רציונלית מסנני I.I.R.

יציבות מסנני F.I.R מובטחת. המימוש הטבעי של מסננים אלו הוא לא רקורסיבי ע"י קונבולוציה. יציאת המסנן נתונה על ידי הנוסחה:

$$y(m,n) = \sum_{p=0}^{P-1} \sum_{q=0}^{Q-1} h(p,q) x(m-p, n-q)$$

כאשר  $h(m,n)$  הוא התגובה לדגם יחידה של המסנן ו- $x(m,n)$  הוא הכניסה למסנן. הממוש הטבעי של מסנני I.I.R הוא הממוש הרקורסיבי.

סינון בעזרת מסננים רקורסיביים, חסכוני בזמן, ובזכרון יחסית לשיטות סינון אחרות [1], למרות עובדה זאת לא משתמשים עדיין שימוש נרחב במסננים רקורסיביים. דו מימדים, בגלל הקושי הרב בתכנונם.

שני קשיים עקריים בתכנון מסננים רקורסיביים דו מימדיים :

א. הקושי בבדיקת יציבות המסנן.

ב. הקושי לתכנן מסנן יציב עם ספסיפיקציות נתונות.

בעבודה זו נתרכז בעיקר בשתי בעיות אלו.

אפשר לאפיין מסנן רקורסיבי דו מימדי בשני אופנים האחד אפיון ע"י מנה של שני פולינומים ב-  $(z_1, z_2)$ , והשני ע"י משוואת הפרש.

האפיון ע"י התמרת  $Z$  נתון במשוואה (4.20).

$$H(z_1, z_2) = \frac{A(z_1, z_2)}{B(z_1, z_2)} = \frac{\sum_{i=0}^{M_a} \sum_{j=0}^{N_a} a(i, j) z_1^i z_2^j}{\sum_{k=0}^{M_b} \sum_{l=0}^{N_b} b(k, l) z_1^k z_2^l} \quad (4.20)$$

אם נתונה כניסה  $X(z_1, z_2)$  יציאת המסנן  $Y(z_1, z_2)$  תהיה

$$Y(z_1, z_2) = H(z_1, z_2) \cdot X(z_1, z_2)$$

ואם נשתמש בנוסחה (4.20) נקבל

$$B(z_1, z_2) \cdot Y(z_1, z_2) = A(z_1, z_2) \cdot X(z_1, z_2) \quad (4.21)$$

בהסתמכנו על התכונות של התמרת  $Z$ , אפשר לקבל את משוואת ההפרש של המסנן

מנוסחה (4.21). מבלי לפגוע בכלליות הדיון אפשר להניח  $b(0,0) = 1$ , ואז

$$y(m, n) = \sum_{i=0}^{M_a} \sum_{j=0}^{N_a} a(i, j) x(m-i, n-j) - \sum_{k=0}^{M_b} \sum_{l=0}^{N_b} b(k, l) y(m-k, n-l) \quad (4.22)$$

$0 = k \neq l = 0$

במשוואה זו כוון הרקורסיביות הוא  $(+m, +n)$  ולכן המסנן הוא סיבתי.

קימים שלושה כוונים נוספים שבהם אפשר להפעיל את עקרון הרקורסיביות.

הכוונים הם:  $(+m, -n)$ ,  $(-m, +n)$ ,  $(-m, -n)$ , והמסננים המתקבלים בצורה

זו הם בלתי סבתיים.

5. בעיה היציבות

נושא היציבות תופס מקום נכבד בתכנון מסננים רקורסיביים דו מימדיים. אפשר לחלק את נושא היציבות לשלושה חלקים.

א. כיצד לבדוק אם מסנן נתון יציב.

ב. כיצד לתכנן מסנן יציב, עם טפציפיקציות נתונות.

ג. במידה והמסנן שתוכנן אינו יציב, כיצד לתכנן מהמסנן הבלתי יציב, מסנן יציב, כך שתגובת התדר של שני המסננים תהיה קרובה עד כמה שאפשר.

במקרה החד מימדי אפשר לתאר את פונקציית התמסורת ע"י הקטבים והאפסים. תאור זה מאפשר לקבוע האם המסנן יציב, ובמקרה ואינו יציב, קימת טכניקה ליציב את המסנן מבלי לפגוע בתגובת התדר שלו (ראה סעיף 5.2) המימוש של המסנן החד מימדי יכול להעשות ע"י חיבור בקסקדה של מסננים מסדר נמוך שקל לתכננם.

במקרה הדו ממדי לא קימת טכניקה לפרק את פונקציית התמסורת  $H(z_1, z_2)$  לקטבים ואפסים, כך שבדרך כלל לא ניתן לבטא את פונקציית התמסורת ע"י ביטויים מסדר נמוך. התוצאות העקריות של חוסר האפשרות לפרק את פונקציית התמסורת לאפסים וקטבים הם: ראשית חוסר היכולת לבדוק אם המסנן יציב. שנית מסנן לא יציב אינו יכול להיות מיוצב בשיטה הפשוטה המקובלת במקרה החד ממדי. שלישית אין אפשרות לממש את המסנן ע"י חיבור בקסקדה של מסננים מסדר נמוך.

5.1 בדיקת היציבות של מסנן רקורסיבי דו ממדי

המשפט היסודי הדן ביציבות מסנן רקורסיבי דו ממדי הוא

משפט 1 (SHANKS) [4]

מסנן רקורסיבי דו ממדי (I.I.R), סבחי בעל פונקציית התמסורת

$$H(z_1, z_2) = A(z_1, z_2) / B(z_1, z_2)$$

כאילו של  $|z_1| < 1$  ו- $|z_2| < 1$  ש- $B(z_1, z_2) = 0$  ,  $|z_1| < 1$  ,  $|z_2| < 1$  בו זמנית.

הוכחה : מאחר והמסנן הוא I.I.R נרשום

$$H(z_1, z_2) = \frac{A(z_1, z_2)}{B(z_1, z_2)} = \sum_{m=0}^{\infty} \sum_{n=0}^{\infty} h(m, n) z_1^m z_2^n \quad (5.0)$$

כדי שהמסנן יהיה יציב הכרחי ומספיק שיתקיים

$$\sum_{m=0}^{\infty} \sum_{n=0}^{\infty} |h(m, n)| < \infty$$



נראה שתנאי זה מתקיים אם ורק אם  $H(z_1, z_2)$  אנליטית בתחום

$$D = \{ (z_1, z_2) : |z_1| \leq 1 \cap |z_2| \leq 1 \}$$

אם  $H(z_1, z_2)$  אנליטית ב-D אפשר למצוא  $\epsilon > 0$  כזה כך ש-  $H(z_1, z_2)$  אנליטית בתחום  $D_1$ .

$$D_1 = \{ (z_1, z_2) : |z_1| < 1 + \epsilon \cap |z_2| < 1 + \epsilon \}$$

דבר זה גורר ש-

$$\sum_{m=0}^{\infty} \sum_{n=0}^{\infty} |h(m, n)| z_1^m z_2^n < \infty$$

מתכנס באופן מוחלט בתחום  $D_1$  ולכן מתקיים

$$\sum_{m=0}^{\infty} \sum_{n=0}^{\infty} |h(m, n)| < \infty$$

החלק השני של המשפט, ("רק אם") מראה שאם

$$\sum_{m=0}^{\infty} \sum_{n=0}^{\infty} |h(m, n)| < \infty$$

אזי עיני "מבחן מ"י (של התכנסות סדרות) הביטוי

$$\sum_{m=0}^{\infty} \sum_{n=0}^{\infty} h(m, n) z_1^m z_2^n$$

מתכנס באופן מוחלט בתחום  $D$  ולכן  $H(z_1, z_2)$  אנליטית בתחום  $D$ .

אם ברצוננו לבדוק יציבות של מסנן, עלינו למפות את מעגל היחידה במישור  $z_2$

לפי המשואה  $B(z_1, z_2) = 0$  לתוך המישור  $z_1$ . אם המיפוי של מעגל היחידה במישור

$z_2$  לתוך מישור  $z_1$ , חותך את מעגל היחידה במישור  $z_1$ , המסנן אינו יציב.

אם המיפוי של מעגל היחידה במישור  $z_2$  לתוך מישור  $z_1$ , נמצא מחוץ למעגל היחידה במישור  $z_1$ , המסנן יציב.

כפי שרואים על מנת לבדוק יציבותו של מסנן לפי שיטה זו, יש למפות תאורטית

אין סוף נקודות. למעשה אפשר למפות מספר רב של הנקודות על מנת לקבל אינדיקציה על יציבות המסנן.

בציור 5.1 רואים דוגמא של מסנן בלתי יציב. ובציור 5.2 רואים דוגמא של מסנן

יציב. המיפוי נעשה בעזרת מחשב על מספר רב של נקודות, והוא נותן אינדיקציה

על יציבותו, או אי יציבותו של המסנן הנבדק.

בהתבססו על משפט SHANKS פיתח HUANG [5] משפט אחר המפשט בהרבה את תהליך בדיקת היציבות.

משפט 2 (HUANG) [5]

מסנו סיבתי עם פונקציה ממסורת  $H(z_1, z_2) = A(z_1, z_2)/B(z_1, z_2)$  הוא יציב אם ורק אם

- א. המיפוי של  $d_1 = (z_1 : |z_1| = 1)$  במישור  $z_2$  בהתאם לנוסחה  $B(z_1, z_2) = 0$  נמצא מחוץ ל-  $d_2 = (z_2 : |z_2| \leq 1)$
- ב. אין נקודה ב-  $d_3 = (z_1 : |z_1| \leq 1)$  שממפת לנקודה  $z_2 = 0$  ע"י הנוסחה  $B(z_1, z_2) = 0$

קימות מספר טכניקות לבדיקת קיום תנאים א ו-ב בעבודה זו לא נדון בפרוטרוט בטכניקות אלו, בגלל המורכבות שלהם, ומפני שהם יעילים רק במקרים פשוטים. את התנאי השני במשפט, אפשר לבדוק בכמה שיטות. בתנאי זה צריך לודא שלפולינום  $B(z_1, 0) = 0$  אין שורשים  $|z_1| \leq 1$ .

שיטה אחת בעזרת בהעתקה בילינארית  $p = (1-z_1)/(1+z_1)$  העתקה זו מעתיקה את פנים מעגל היחידה לחלק הימני של המישור  $p$  והחלק הנותר של מישור  $z_1$  ממופה לצד השמאלי של המישור  $p$ . לכן כדי שיתקיים תנאי ב' עלינו לבדוק שלפולינום  $H(p, 0) = 0$  לא יהיו שורשים ב-  $\text{Re}(p) \geq 0$  בדיקה זו יכולה להעשות בעזרת קריטריון הורוביץ.

שיטה שניה מתוארת במאמר [6] ומתבססת על בנית טבלת JURY. את תנאי א' של המשפט קשה יותר לבדוק מכוון שדניים בפולינום עם שני משתנים. קיימים מספר מאמרים הנוקטים בשיטות שונות לבדיקת תנאי א'. מאמר [6] מציע בדיקה בעזרת טבלת JURY. מאמר [7] מציע בדיקה בעזרת מטריצת SCHUR-COHN. קיימות עוד מספר שיטות לבדיקת יציבות של מסנן רקורסיבי דו ממדי. אולם חוץ מאשר במקרים פשוטים, בדיקת היציבות היא ארוכה ומיגעת. לכן כדאי יותר להתרכז בשיטות לייצוב מסנן שאינן יציב מבלי לפגוע בעקום הענות התדר שלו, ובשיטות לתכנון מסננים יציבים עם עקום הענות רצוי.

5.2 שיטות לייצוב מסננים רקורסיביים דו מימדיים

בפרק זה נציג מספר שיטות לייצוב מסננים רקורסיביים דו מימדיים לא יציבים. במקרה החד ממדי קיימת שיטה לייצוב מסנן בלתי יציב מבלי לפגוע בעקום הענות התדר [2] עמ' 349. אם נניח ש-  $z_0$  הוא הקוטב הגורם לאי היציבות אפשר לרשום את הפולינום כ-

$$H(z) = \frac{1}{H_1(z)(z-z_0)}$$

כל השורשים של  $H_1(z)$  נמצאים בתחום המותר ולכן  $\frac{1}{H_1(z)}$  הוא יציב. כדי ליצב את הפולינום  $H(z)$  נעשה את הפעולה הבאה.

$$H(z) = \frac{1}{H_1(z)(z-z_0)} \cdot \frac{z-\frac{1}{z_0^*}}{z-\frac{1}{z_0^*}} = \frac{1}{H_1(z)(z-\frac{1}{z_0^*})} \cdot \frac{z-\frac{1}{z_0^*}}{z-z_0} = \frac{1}{H_2(z)} \cdot \frac{z-\frac{1}{z_0^*}}{z-z_0}$$

ברור שהמסנו  $\bar{H}(z) = 1/H_2(z)$  הוא מסנו יציב. כמו כן קים

$$|\bar{H}(e^{j\omega})| = |H(e^{j\omega})|$$

זאת משום ש-  $(z-\frac{1}{z_0^*})/(z-z_0)$  הוא מסנו שתגובת החדר שלו היא בעלת אמפליטודה 1.0 עבור כל  $\omega$ . (על מעגל היחידה)

המסקנה היא, שאם נתון לנו מסנו חד מימדי, עם קוטב  $z_0$  הגורם לאי יציבות. אפשר להחליף את הקוטב בקוטב חדש  $\frac{1}{z_0^*}$ . המסנו החדש יהיה יציב ואמפליטודת תגובת החדר שלו תהיה זהה לאמפליטודת תגובת החדר של המסנו המקורי.

במקרה הדו ממדי, ברוב המקרים אין אפשרות לכתוב את פונקציית התמסורת של המסנו ככפולות של ביטויים המכילים קטבים ואפסים. לכן שיטת היצוב הנהוגה במקרה החד ממדי אינה ישימה במקרה הדו ממדי.

קימות מספר שיטות ליצוב מסננים דו ממדיים. שלא כבמקרה החד ממדי, כל השיטות הנהוגות במקרה הדו ממדי, גורמות לעוות מסוים באמפליטודת הספקטרום של המסנו המקורי. שאיפתינו היא, להקטין עוות זה במידת האפשר.

5.3 יצוב מסנו רקורסיבי דו ממדי בשיטת P.L.S.I

מערך דו ממדי A הוא MINIMUM-PHASE אם ורק אם לפולינום  $A(z_1, z_2) = 0$  אין אפסים עבור  $|z_1| \leq 1$  ו-  $|z_2| \leq 1$  סימולטנית. שיטת היצוב בפרק זה מבוססת על תכונות ה-

[4] (P.L.S.I) PLANAR LEAST SQUARES INVERSE FILTER

נניח שנתון לנו מערך דו ממדי D. אנו מעוניינים למצוא מערך דו ממדי B, כך שהקונבולוציה של B עם D תקרב את דגם היחידה. כלומר  $B * D = \delta$  בדרך כלל לא נתן למצוא מערך B כזה, שהקונבולוציה שלו ושל D, נתן בדיוק את דגם היחידה. למעשה נקבל  $B * D = u$  ואנו נבחר את B כך שסכום ריבועי אברי המטריצה  $\sqrt{u}$  יהיה מינימלי כלומר

$$\min(e^2) = \min \left[ |1 - u(0,0)|^2 + \sum_{m=0}^M \sum_{n=0}^N |u(m,n)|^2 \right] \quad (5.1)$$

$0 = m \neq n = 0$

למערך ב המקיים את (5.1) נקרא P.L.S.I של D. מימד המערך D נתון. מימד המערך B נקבע לפי שקולינו. המערכים U ו-U שווים במימדיהם הממדים נקבעים ע"י מימדי B ו-D. אם נניח שגודלו של המערך B הוא  $(M_b+1)(N_b+1)$ , גודלו של D הוא  $(M_d+1)(N_d+1)$ . אזי גודלם של U ו-U יהיה  $(M_b+N_b+1)(M_d+N_d+1)$ . הטכניקה שבעזרתה מחשבים את המערך B נקראת הטכניקה של WIENER. נכתוב את אברי המטריצה U בצורה מפורשת. מאחר ו-U מתקבל כמוצאה מהקונבולוציה בין B ו-D אפשר לרשום

$$u(m,n) = \sum_{i=0}^{M_b} \sum_{j=0}^{N_b} b(i,j) \cdot d(m-i, n-j) \quad (5.2)$$

עבור:  $m=0 \dots M_b+N_b$   
 $n=0 \dots M_d+N_d$

אם נציב זאת בנוסחה (5.1) נקבל

$$e^2 = (1 - b(0,0) \cdot d(0,0))^2 + \sum_{m=0}^{M_b+N_b} \sum_{n=0}^{M_d+N_d} \left[ \sum_{i=0}^{M_b} \sum_{j=0}^{N_b} b(i,j) d(m-i, n-j) \right]^2 \quad (5.3)$$

לאחר סידור מקבלים

$$e^2 = 1 - 2 \cdot b(0,0) \cdot d(0,0) + \sum_{m=0}^{M_b+N_b} \sum_{n=0}^{M_d+N_d} \left[ \sum_{i=0}^{M_b} \sum_{j=0}^{N_b} b(i,j) d(m-i, n-j) \right]^2 \quad (5.4)$$

כדי לקבל את המינימום של  $e^2$  נגזור לפי  $b(i,j)$  ומקבלים

$$k=l=0 \text{ עבור } \sum_{i=0}^{M_b} \sum_{j=0}^{N_b} b(i,j) \cdot \Phi(k,l,i,j) = d(0,0) \quad (5.5)$$

$$0=k \neq l=0 \text{ עבור } \sum_{i=0}^{M_b} \sum_{j=0}^{N_b} b(i,j) \cdot \Phi(k,l,i,j) = 0 \quad (5.6)$$

$k=0,1,2, \dots, M_b$   
 $l=0,1,2, \dots, M_b$

כאשר

$$\Phi(k,l,i,j) = \sum_m \sum_n d(m-i, n-j) \cdot d(m-k, n-l)$$

במישור החד ממדי אפשר להוכיח את הטענה שאם B הוא P.L.S.I של מערך D (D מערך ממשי וטופי) אזי המערך B הוא MINIMUM PHASE ולכן המסנן  $H = 1/B(z)$  הוא מסנן יצוב [8]

במרחב הדו ממדי אי אפשר להוכיח את הטענה שאם מערך דו ממדי B הוא P.L.S.I של המערך הדי ממדי D אזי B הוא MINIMUM PHASE. זאת משום שנמצאה דוגמא סותרת [18] אולם בכל הדוגמאות האחרות שהורצו המערך שהתקבל היה MINIMUM PHASE [4] לכן בהשתמשנו בשיטה זו במקרה הדו ממדי עלינו לודא שהמערך שהתקבל הוא אמנם MINIMUM PHASE.

אם  $B(z_1, z_2)$  הוא MINIMUM PHASE אזי המסנו  $H = 1/B(z_1, z_2)$  הוא מסנו יציב.

$$B * D = U \cong \delta \quad \text{כפי שראינו}$$

אם נפעיל את התמרת Z על שני צידי המשוואה נקבל

$$B(z_1, z_2) \cdot D(z_1, z_2) \cong 1$$

$$B(z_1, z_2) \cong 1/D(z_1, z_2) \quad (5.7)$$

עתה נראה כיצד נתן לישים את המתואר בפרק זה ליצוב מסנו שאינו יציב. נניח שנתון מסנו  $H(z_1, z_2) = 1/B(z_1, z_2)$ . נמצא את ה-P.L.S.I של B ונסמנו ב-B1, נפעיל שוב את השיטה למציאת P.L.S.I של B1 שנסמנו ב-B2.

אם נפעיל את נוסחה (5.7) על B ועל B1 אפשר לרשום

$$B_2(z_1, z_2) \cong 1/B_1(z_1, z_2)$$

$$B_1(z_1, z_2) \cong 1/B(z_1, z_2)$$

ולכן

$$H_2(z_1, z_2) = 1/B_2(z_1, z_2) \cong 1/B(z_1, z_2) = H(z_1, z_2)$$

יצאנו ממסנו  $H(z_1, z_2)$  שאינו יציב, וקבלנו מסנו חדש ויציב  $H_2(z_1, z_2)$  שהתמרת Z שלו שווה כמעט ל-  $H(z_1, z_2)$ . מכיון שהספקטרום של מסנו מתקבל ע"י הצבה  $z_2 = e^{j\omega_2}$ ,  $z_1 = e^{j\omega_1}$ , הספקטרום של המסנו H שממנו יצאנו והספקטרום של המסנו  $H_2$  יהיו כמעט שווים.

אם גודלו של המערך B הוא (MXN) חייב גם גודלו של המערך B2 להיות (MXN). גודלו של המערך B1 נתון לשיקול דעתנו. אם נתייחס לנוסחה (5.7) אנו מעוניינים להגיע לשוויון  $B_1(z_1, z_2) = 1/D(z_1, z_2)$ . ברוב המקרים הפולינום  $1/D(z_1, z_2)$  הוא אין סופי לכן ככל שהמימדים של  $B_1(z_1, z_2)$  יהיו גדולים יותר הוא יקרב טוב יותר את הפולינום  $1/D(z_1, z_2)$  והספקטרום של המערך B2 יהיה קרוב יותר לזה של המערך B.

לשם בדיקת הרעיון ליצוב מסנן בלתי יציב בשיטת P.L.S.I נכתבה תוכנית מחשב המחשבת את המסנן  $H_2=1/B_2$  מהמסנן הבלתי יציב  $H=1/B$ . התוכנית מופיעה בנספח 2. הורצו מספר תוכניות מחשב ולהלן שתי דוגמאות : דוגמא א'

המערך A נתון על ידי

$$A = \begin{bmatrix} 1.0 & -0.75 & 0.9 \\ 1.5 & -1.2 & 1.3 \\ 1.2 & 0.9 & 0.5 \end{bmatrix}$$

המסנן  $H = 1/A(z_1, z_2)$  אינו יציב. ציור 5.1 מראה את מפוי שורשי  $A(z_1, z_2)$  במישור  $z_1$ . המיפוי נעשה בצורה הבאה : מתחילים על המישור  $z_1$  בתחום  $|\text{Re}(z_1)| \leq 2, |\text{Im}(z_1)| \leq 2$  תחום זה חולק ל- 1025 נקודות. בכל אחת מנקודות אלו, חושב ערכו של  $A(z_1, z_2)$  עבור 100 נקודות שונות במעגל היחידה במישור  $z_2$ . באם ערכו המחושב של  $A(z_1, z_2)$  היה קרוב לאפס, (סדר גודל של  $10^{-4}$ ). טומן במקום המתאים במישור  $z_1$ , x. הסימונים "סי" מסמנים את מעגל היחידה במשור  $z_1$ .

בציור אנו רואים את מפוי מעגל היחידה במישור  $z_2$ , למישור  $z_1$  לפי הנוסחה  $A(z_1, z_2) = 0$ . כמובן ששיטת המיפוי אינה מדוייקת באופן מוחלט, מכיון שהמיפוי נעשה בנקודות דיסקרטיות בלבד. אולם שיטה זו נותנת אידיקציה מספיק טובה על יציבותו או אי יציבותו של המסנן. (ככל שנגדיל את מספר נקודות הבדיקה נקבל מיפוי מדוייק יותר של השורשים).

בציור 5.1, רואים שקימים ערכים של  $|z_1| \leq 1$  ו-  $|z_2| \leq 1$  כך ש-  $A(z_1, z_2) = 0$ . לכן לפי משפט 1 בסעיף 5.1 המסנן  $H = 1/A(z_1, z_2)$  אינו יציב. בעזרת תוכנית המחשב (נספח 2) יוצב המסנן פעם דרך מערך ביניים  $A_1$  בגודל  $(3 \times 3)$ . ופעם דרך מערך ביניים  $A_1$  בגודל  $(8 \times 8)$  להלן התוצאות שהתקבלו : כאשר מסנן הביניים  $A_1$  היה בגודל  $(3 \times 3)$ , התקבל המסנן המיוצב.

$$\hat{A} = \begin{bmatrix} 6.761 & -1.248 & 1.258 \\ 3.156 & -0.602 & 1.027 \\ 0.706 & 0.209 & 0.368 \end{bmatrix}$$

כאשר מסנן הביניים  $A1$  היה בגודל  $8 \times 8$ , התקבל המסנן המיוצב

$$\bar{A} = \begin{bmatrix} 6.501 & -1.401 & 1.742 \\ 3.017 & -0.797 & 1.931 \\ 0.439 & 0.900 & 0.441 \end{bmatrix}$$

בציור 5.2 רואים את שורשי הפולינום  $\bar{A}(z_1, z_2)$  ואמנם לא קיימים  $|z_1| \leq 1$  ו  $|z_2| \leq 1$  כר ש-  $\bar{A}(z_1, z_2) = 0$  ולכן המסנן  $\bar{H} = 1/\bar{A}(z_1, z_2)$  יציב.

נבדוק עתה כיצד השפיע היצוב על\* הספקטרום של המסנן המקורי הספקטרום של המסנן המקורי  $H$ , נראה בציור 5.3. כל סימן מסמל אמפליטודה מסוימת, בהתאם לרשום בתחתית הציור. אוסף הסימנים מסמן לנו "קוי גובה" של ספקטרום המסנן.

ציור 5.4 מראה את ספקטרום המסנן  $\hat{H} = 1/\hat{A}(z_1, z_2)$  רואים את הדימיון בין ספקטרום זה לספקטרום בציור 5.3, אולם פעולת היצוב גרמה לעוות ניכר בספקטרום המקורי.

ציור 5.5 מראה את הספקטרום של המסנן  $\bar{H} = 1/\bar{A}(z_1, z_2)$  כאן פעולת הייצוב כמעט ולא עוותה את הספקטרום המקורי, ולכן אפשר להשתמש במסנן היציב  $\bar{H}$  כתחליף למסנן הבלתי יציב  $H$ . בדוגמא זו רואים שהגדלת מערך הביניים  $A1$ , הקטינה את העוותים בספקטרום של המסנן המיוצב יחסית לספקטרום המסנן המקורי. כשהמשכנו להגדיל את מערך הביניים  $A1$  מעל  $(8 \times 8)$  לא חל שיפור ניכר בספקטרום המסנן המיוצב. דוגמא ב'

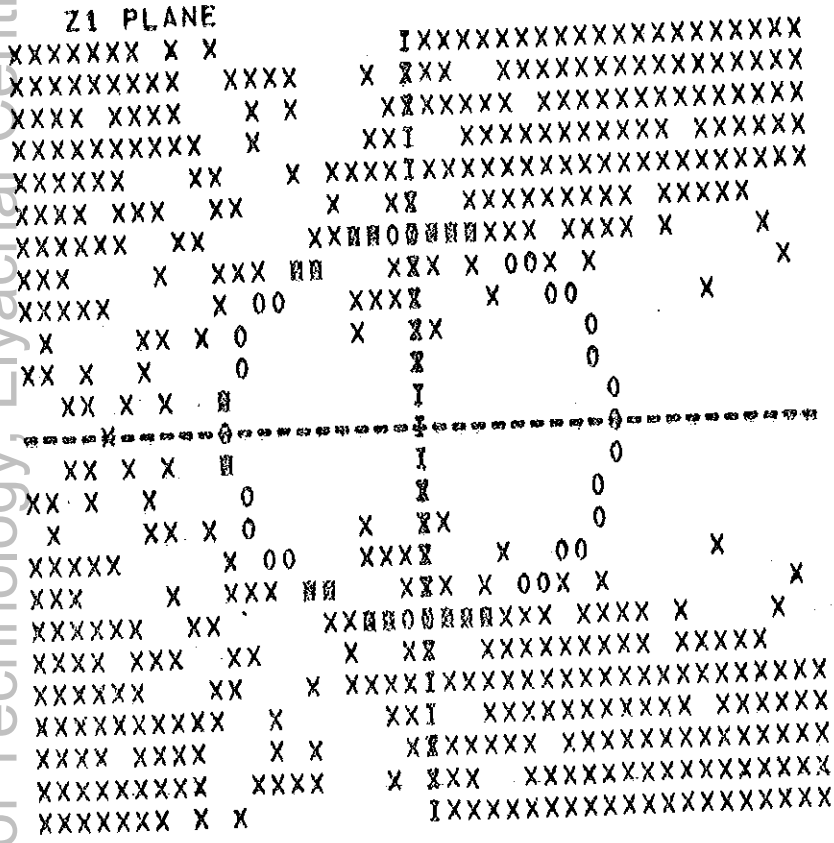
המסנן -  $H = 1/B(z_1, z_2)$  כאשר

$$B = \begin{bmatrix} 1.0 & -1.20002759 & 0.40002239 \\ -1.00003018 & 1.70007079 & -0.65005088 \\ 0.40002035 & -0.70054880 & 0.25004387 \end{bmatrix}$$

הוא בלתי יציב. הספקטרום של מסנן זה נראה בציור 5.6. המסנן עבר תהליך יצוב דרך מערך ביניים  $B1$  בגודל  $8 \times 8$  המערך שהתקבל הוא:

$$\hat{B} = \begin{bmatrix} 1.11574 & -1.23465 & 0.38270 \\ -1.09342 & 1.68752 & -0.66807 \\ 0.37595 & -0.65215 & 0.29754 \end{bmatrix}$$

\*הערה: בכל מקום שמופיעה המילה "ספקטרום" הכוונה היא ל"אמפליטודה הספקטרום".

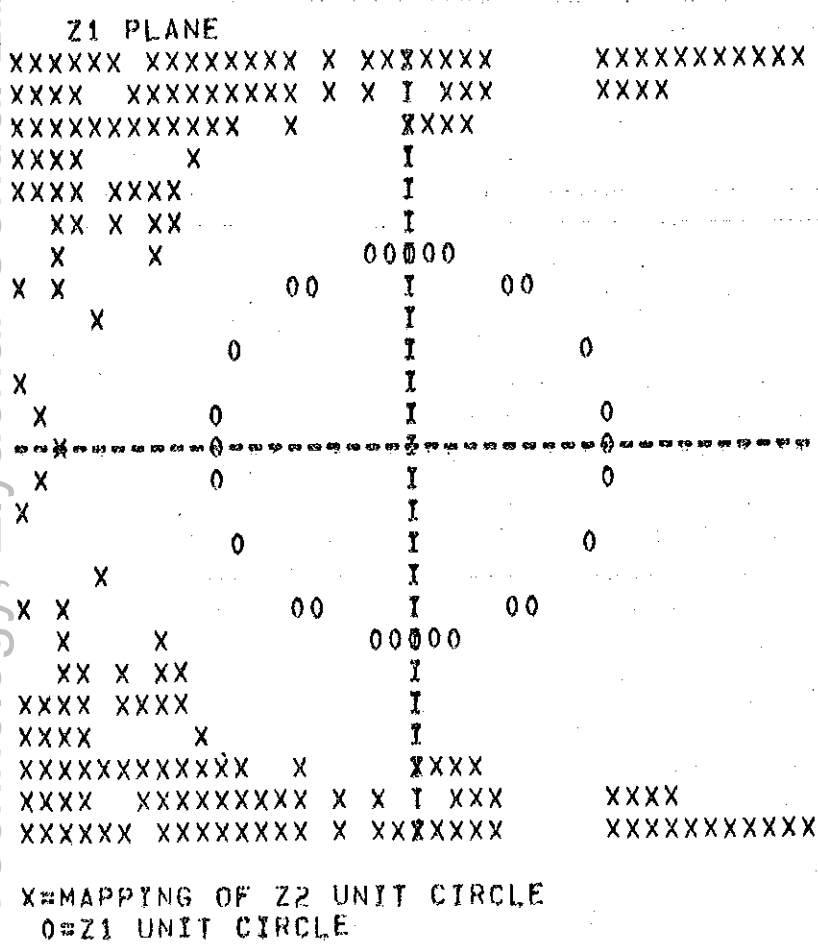


X=MAPPING OF Z2 UNIT CIRCLE  
 0=Z1 UNIT CIRCLE

השורשים של מערך A ציור 5.1

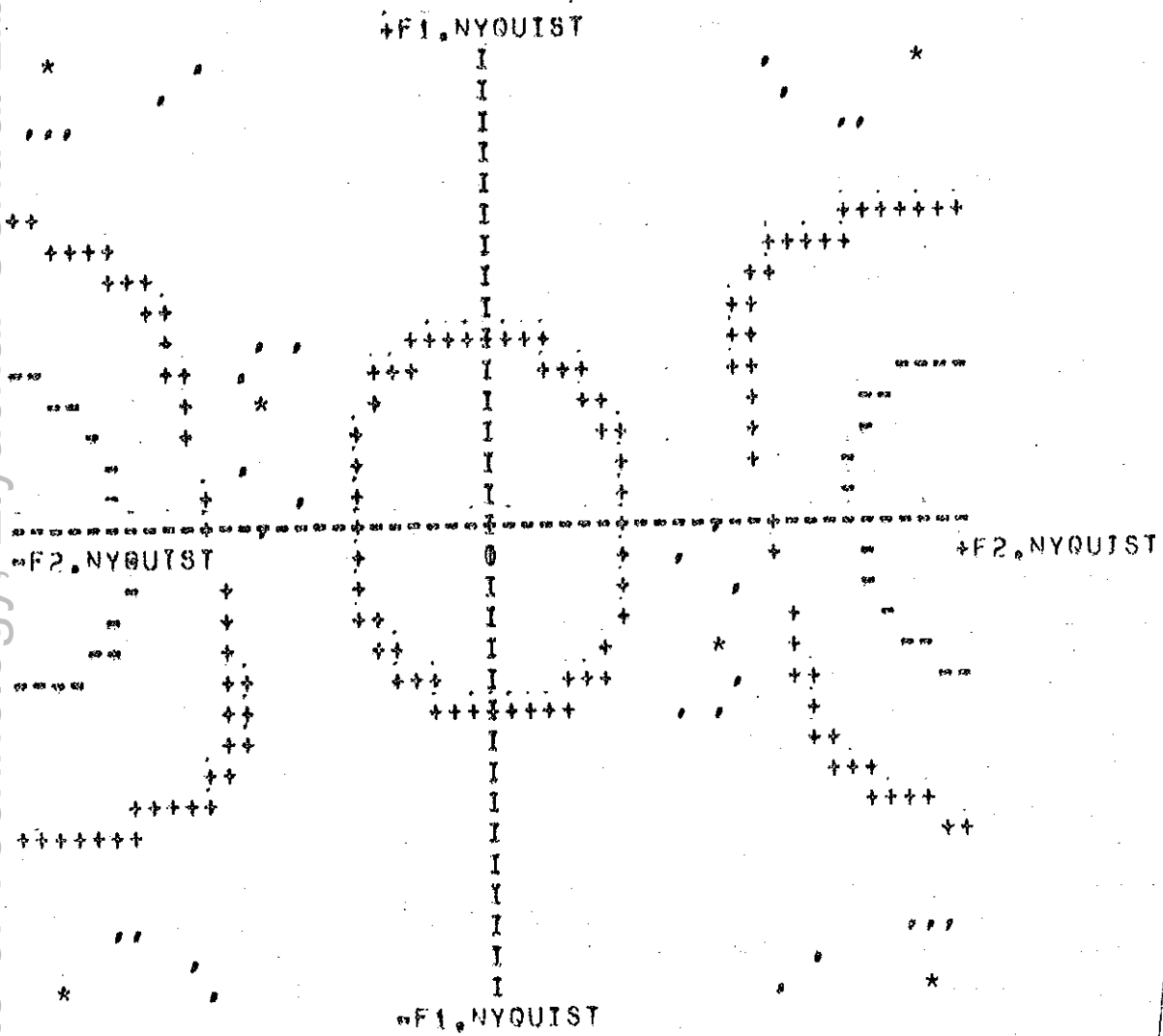
FIG. 5.1 THE ROOTS OF THE ARRAY A





השורשים של המערך  $\bar{A}$  ציור 5:2

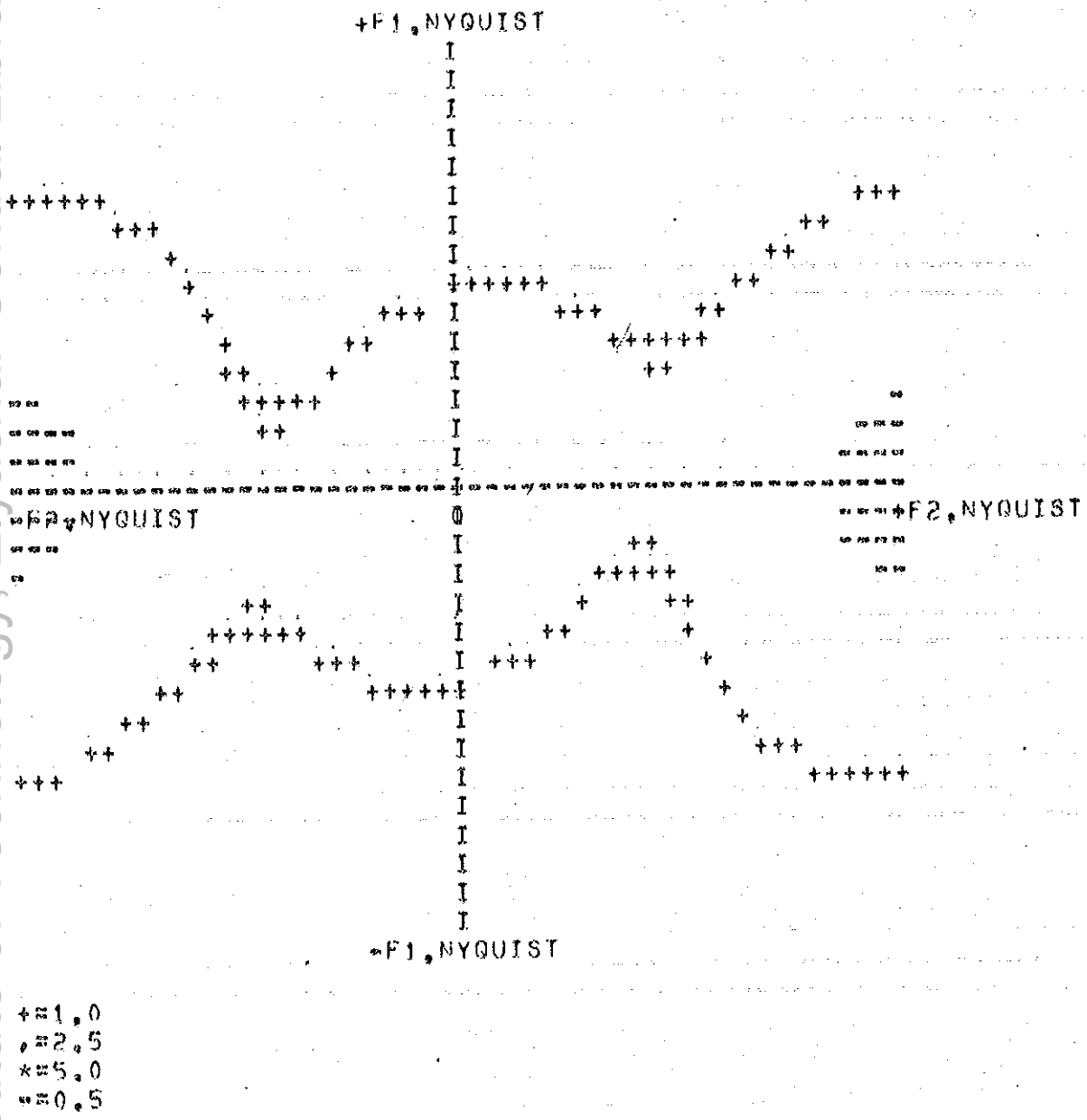
FIG 5.2 THE ROOTS OF THE ARRAY  $\bar{A}$



+ 1.0  
 I 2.5  
 \* 5.0  
 o 0.5

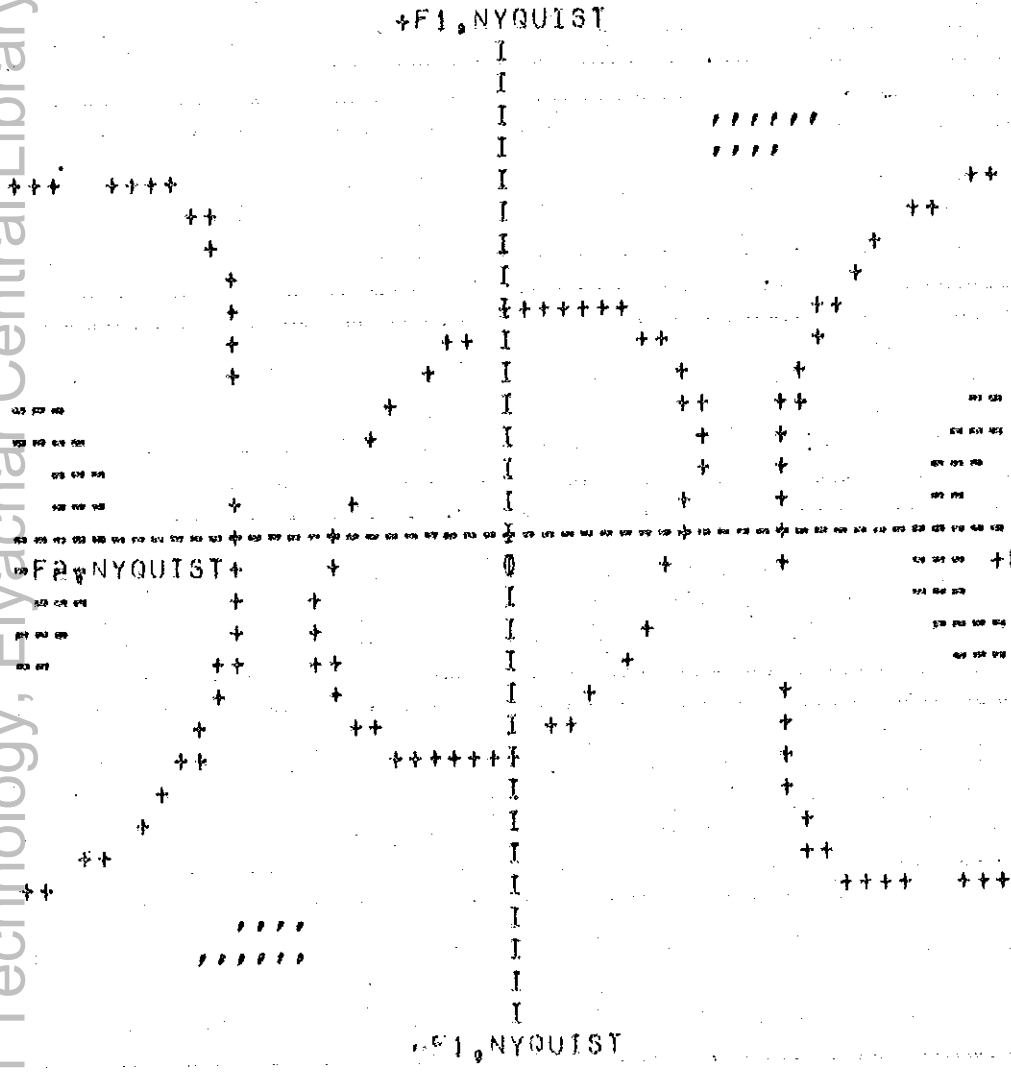
$H(z_1, z_2) = \frac{1}{A(z_1, z_2)}$  ספקטרום המסנן 5.3 א'ר

FIG 5.3 THE SPECTRUM OF THE FILTER  $H(z_1, z_2) = \frac{1}{A(z_1, z_2)}$



$\hat{H}(z_1, z_2) = \frac{1}{\hat{A}(z_1, z_2)}$ 
ציון 5.4
ספקטרום של המסנן

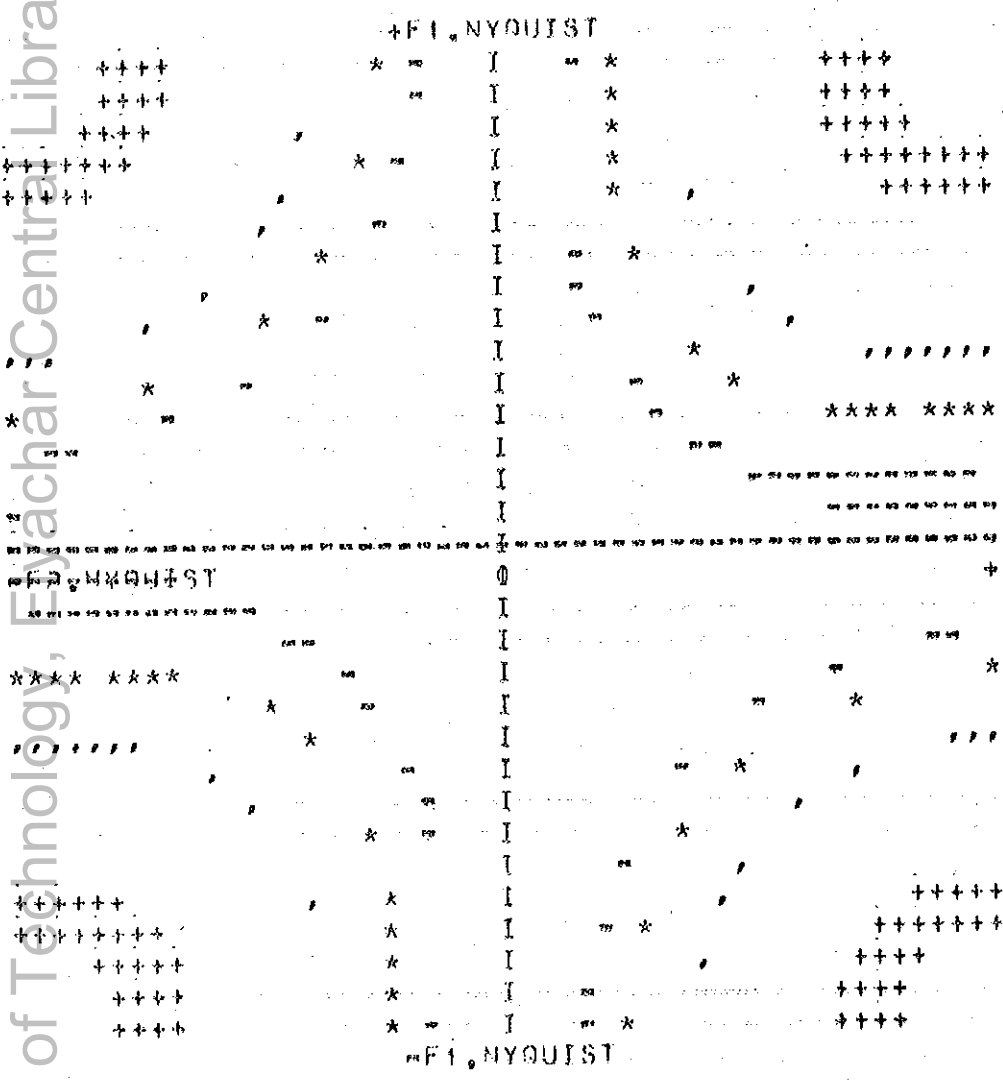
FIG 5.4 THE SPECTRUM OF THE FILTER  $\hat{H}(z_1, z_2) = \frac{1}{\hat{A}(z_1, z_2)}$



+ # 1.0  
 \* # 2.5  
 x # 5.0  
 # 0.5

$\bar{H}(z_1, z_2) = \frac{1}{\bar{A}(z_1, z_2)}$       ספקטרום של המסנן      ציור 5.5

FIG 5.5      THE SPECTRUM OF THE FILTER       $\bar{H}(z_1, z_2) = \frac{1}{\bar{A}(z_1, z_2)}$

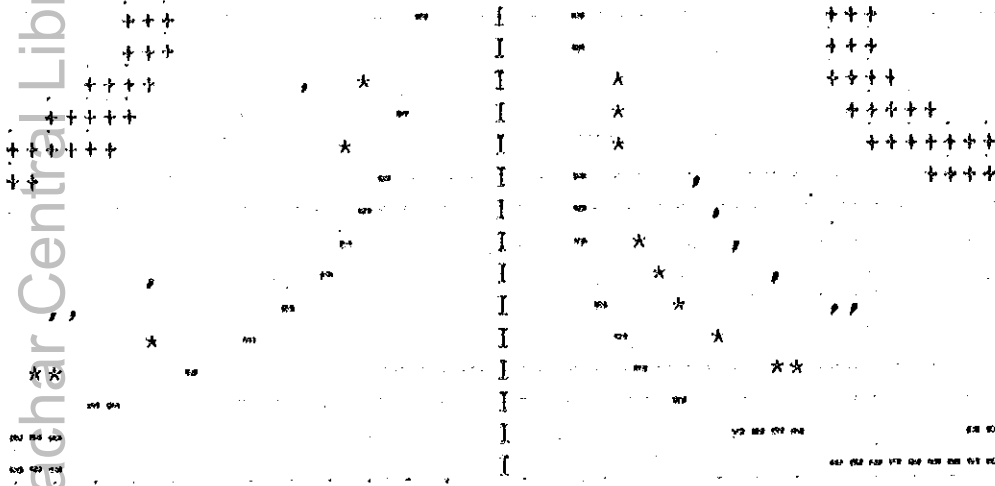


+ = 1.0  
 \* = 2.5  
 I = 5.0  
 I = 10.0

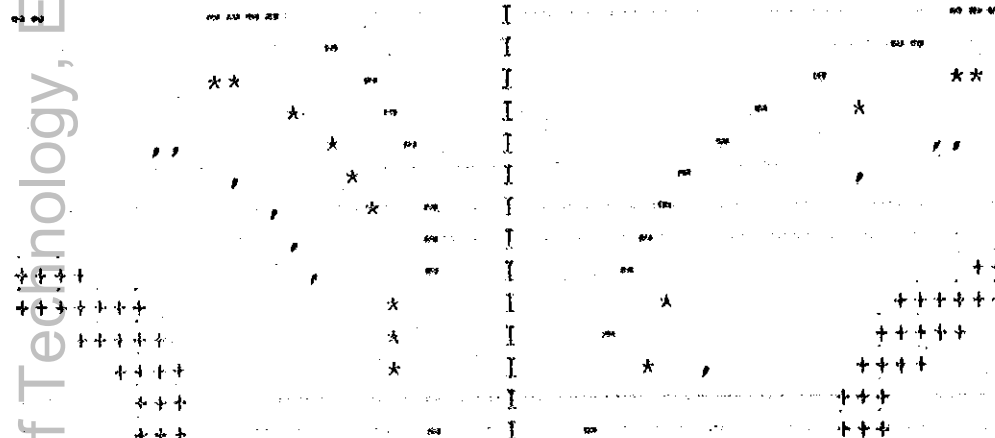
$$H(z_1, z_2) = \frac{1}{B(z_1, z_2)}$$
 ספקטרום של המסנן ציור 5.6

FIG 5.6 THE SPECTRUM OF THE FILTER  $H(z_1, z_2) = \frac{1}{B(z_1, z_2)}$

+F1, NYQUIST



+F2, NYQUIST



-F1, NYQUIST

1.0  
2.5  
5.0  
10.

$$\hat{H}(z_1, z_2) = \frac{1}{\hat{B}(z_1, z_2)}$$

טפקטרום של המסנן

צירור 5.7

FIG 5.7 THE SPECTRUM OF THE FILTER

$$\hat{H}(z_1, z_2) = \frac{1}{\hat{B}(z_1, z_2)}$$

בציר 5.7 נראה הספקטרום של המסנן  $\hat{H} = 1/B(z_1, z_2)$  . רואים  
 שספקטרום זה זהה כמעט לספקטרום של המסנן המקורי  $H$ .

5.4 יצוב מסנן רקורסיבי דו ממדי עיני התמרת HILBERT [9]

בסעיף הקודם הוצגה אחת מהשיטות ליצוב מסנן בלתי יציב. ראינו שבמקרים מסוימים עלולים לקבל עוותים לא מבוטלים בספקטרום של המסנן המיוצב יחסית לספקטרום המקורי. שיטת הייצוב בעזרת התמרת הילברט מבטיחה עוותים קטנים יחסית בספקטרום הרצוי. כדי להבין ביתר קלות את השימוש בטרנספורמציה הילברט ליצוב מסנן דו ממדי. בטביר ראשית את השימוש בהתמרה במקרה החד מימדי. הסברים מפורטים למקרה החד ממדי אפשר למצוא ב-[2], [3].

$p(i)$  הוא אות דיסקרטי מחזורי אם מתקיים

$$p(i) = p(i+kN) \quad (5.8)$$

אורך המחזור הוא  $N$ .  $i$  מקבל את הערכים  $0, 1, 2, \dots, N-1$ .  $k$  יכול לקבל ערך שלם כלשהוא.

$p(i)$  יקרא סבתי אם עבור מחזור אחד באורך  $N$  מתקיים

$$p(i) = 0 \quad N > i \geq N/2$$

למעשה אפשר להפוך כל סידרה סופית לסיבתית עיני הוספת אפסים בצורה מתאימה. נגדיר את הפונקציה הזוגית והאיזוגית של הסידרה הסיבתית

$$p_{\text{even}}(i) \triangleq p_e(i) = \frac{1}{2} [p(i) + p(N-i)] \quad (5.9)$$

$$p_{\text{odd}}(i) \triangleq p_o(i) = \frac{1}{2} [p(i) - p(N-i)] \quad (5.10)$$

ולכן אפשר לרשום עבור הסידרה הזוגית

$$p_e(i) = \begin{cases} p(i) & i=0 \\ \frac{1}{2} p(i) & 0 < i < N/2 \\ 0 & i=N/2 \end{cases} \quad (5.11)$$

וברור שלסידרה זו סימטריה זוגית כלומר

$$p_e(i) = p_e(N-i)$$

עבור הסידרה האיזוגית נרשום

$$p_o(i) = \begin{cases} 0 & i=0 \\ \frac{1}{2} p(i) & 0 < i < N/2 \\ 0 & i=N/2 \end{cases} \quad (5.12)$$

לטיזרה זו סימטריה אי זוגית כלומר

$$p_0(i) = -p(N-i)$$

נגדיר את  $\text{sgn}(i)$  כ-

$$\text{sgn}(i) = \begin{cases} 0 & i = 0, N/2 \\ 1 & 0 < i < N/2 \\ -1 & N/2 < i < N \end{cases} \quad (5.13)$$

נגדיר את  $\delta_N(i)$  כ-

$$\delta_N(i) = \begin{cases} 1 & i = kN \text{ עבור } k \text{ מספר שלם} \\ 0 & \text{בכל מקרה אחר} \end{cases}$$

אפשר לרשום

$$p_e(i) = \text{sgn}(i) \cdot p_0(i) + p(i) \cdot \delta_N(i) \quad (5.14)$$

$$p_0(i) = \text{sgn}(i) p_e(i) \quad (5.15)$$

ברור מנוסחאות (5.9) (5.10) שאפשר לרשום

$$p(i) = p_0(i) + p_e(i) \quad (5.16)$$

בפעיל את התמרת פוריה הדיסקרטית על נוסחה זו ונקבל

$$\text{D.F.T}[p(i)] = \text{D.F.T}[p_0(i)] + \text{D.F.T}[p_e(i)] \quad (5.17)$$

$p_0(i)$  ו-  $p_e(i)$  ממשיים ולכן אפשר לבטא את החלק הממשי של התמרת פוריה כ -

$$\text{PR}(i) = \text{D.F.T}[p_e(i)] \quad (5.18)$$

ואת החלק המדומה של התמרת פוריה כ -

$$j \cdot \text{PI}(i) = \text{D.F.T}[p_0(i)] \quad (5.19)$$

עיי הפעלת התמרת פוריה הפוכה על משוואות (5.18), (5.19). נקבל

$$p_e(i) = \text{I.D.F.T}[\text{PR}(i)] \quad (5.20)$$

$$p_0(i) = \text{I.D.F.T}[j \text{PI}(i)] \quad (5.21)$$

בציב תוצאות אלו במשוואות (5.14) ו- (5.15) ונקבל

$$p_e(i) = \text{sgn}(i) \cdot \text{I.D.F.T}[j \text{PI}(i)] + p(i) \cdot \delta_N(i) \quad (5.22)$$

$$p_0(i) = \text{sgn}(i) \text{I.D.F.T}[\text{PR}(i)] \quad (5.23)$$

בפעיל התמרת פוריה דיסקרטית על שתי המשוואות וביחד עם משוואות (5.18), (5.19)

נקבל את שתי המשוואות החשובות :

$$\begin{aligned} \text{PR}(i) &= \text{D.F.T}[\text{sgn}(i) \cdot \text{I.D.F.T}[j \text{PI}(i)] + p(i) \cdot \delta_N(i)] \\ \text{PI}(i) &= -j \text{D.F.T}[\text{sgn}(i) \text{I.D.F.T}[\text{PR}(i)]] \end{aligned} \quad (5.24)$$



בהשתמשנו בעובדה ש- D.F.T של מכפלת סדרות שווה לקונבולוציה של התמרות פוריה הדיסקרטיות של הסדרות מקבלים ממשואה (5.24) את המשוואה

$$PI(i) = \frac{1}{N} \sum_{k=0}^{N-1} PR(k) [1 - (-1)^{i-k}] \cot \frac{\pi}{N} (i - N) \quad (5.25)$$

נוסחה זו נותנת את הקשר בין החלק הממשי והחלק הדימימוני של התמרת פוריה דיסקרטית של סידרה סיבתית.

ידוע שעבור סידרה a(k) MINIMUM-PHASE אפשר לחשב את הפזה מאמפליטודת הספקטרום בעזרת התמרת HILBERT [2]

$$\theta(e^{j\omega}) = -\frac{1}{2\pi} \int_0^{2\pi} \log |A(e^{j\Omega})| \cot \frac{\omega - \Omega}{2} d\Omega \quad (5.26)$$

משוואה זו נובעת מכך שסידרה a(k) היא MINIMUM-PHASE אם ורק אם טרנספורמציה Z ההופכית של  $\log |A(z)|$  היא סידרה סבתית [2]. מאחר וטרנספורמציה

הילברט מקשרת בין החלק הממשי והדימימוני של התמרת פוריה של סדרות סבתיות,

שמוש בהתמרת הילברט על  $\log |A(e^{j\omega})|$  יתן את הפזה של  $A(e^{j\omega})$ .

על ידי שימוש בנוסחאות (5.24), (5.25) אפשר לקבל את הקשר בין הפזה  $\theta(i)$

והאמפליטודה הדיסקרטית של D.F.T של סידרה a(k) שהיא MINIMUM-PHASE

$$\theta(i) = -j \text{D.F.T} \left[ \text{sgn}(i) \text{I.D.F.T} [\log |A(i)|] \right] \quad (5.27)$$

נוסחה זו היא למעשה קרוב של נוסחה (5.26) [19]

היצוב של מסנן בלתי יציב  $H = 1/P(z)$  יעשה בצורה הבאה:

נפעיל על המערך p(i) D.F.T.

אם אמפליטודת הספקטרום היא  $|A(i)|$  נחשב את הפזה החדשה לפי נוסחה (5.27).

נעבור בחזרה לקואורדינטות קרטזיות.

$$\begin{aligned} PR(i) &= |A(i)| \cos(\theta(i)) \\ PI(i) &= |A(i)| \sin(\theta(i)) \end{aligned} \quad (5.28)$$

נפעיל התמרת פוריה דיסקרטית הפוכה ונקבל מערך  $\overline{p(i)}$  שהוא MINIMUM-PHASE.

נראה עתה כיצד ניתן לישם שיטת ייצוב זו עבור מערכים דו ממדיים [9].

סידרה מחזורית דו ממדית תקרא סיבתית אם מתקיים

$$P(i_1, i_2) = \begin{cases} 0 & i_1 \geq N_1/2 \quad i_2 \geq N_2/2 \end{cases} \quad (5.29)$$

נגדיר את הסדרות הזוגיות והבלתי זוגיות על ידי

$$p_e(i_1, i_2) = \frac{1}{2} [ p(i_1, i_2) + p(N_1 - i_1, N_2 - i_2) ] \quad (5.30)$$

$$p_o(i_1, i_2) = \frac{1}{2} [ p(i_1, i_2) - p(N_1 - i_1, N_2 - i_2) ] \quad (5.31)$$

ע"י הכללת המקרה החד ממדי אפשר לראות שמתקיים

$$p_o(i_1, i_2) = [ \text{sgn}(i_1, i_2) + \text{bdy}(i_1, i_2) ] p_e(i_1, i_2) \quad (5.32)$$

$$\text{sgn}(i_1, i_2) = \begin{cases} 1 & 0 < i_1 < N_1/2, \quad 0 < i_2 < N_2/2 \\ -1 & N_1/2 < i_1 < N_1, \quad N_2/2 < i_2 < N_2 \\ 0 & \text{בכל מקרה אחר} \end{cases} \quad (5.33)$$

הפונקציה  $\text{bdy}$ , מתקנת את המשוואה בגבולות.

$$\text{bdy}(i_1, i_2) = \begin{cases} 1 & i_2 = 0, \quad 0 < i_1 < N_1/2 \\ -1 & i_2 = 0, \quad N_2/2 < i_1 < N_1 \\ 1 & i_1 = 0, \quad 0 < i_2 < N_2/2 \\ -1 & i_1 = 0, \quad N_2/2 < i_2 < N_2 \\ 0 & \text{בכל מקרה אחר} \end{cases} \quad (5.34)$$

$$p_e(i_1, i_2) = p_e(N_1 - i_1, N_2 - i_2) \quad (5.35)$$

$$p_o(i_1, i_2) = -p_o(N_1 - i_1, N_2 - i_2)$$

$$p(i_1, i_2) = p_e(i_1, i_2) + p_o(i_1, i_2) \quad (5.36)$$

ע"י הפעלת D.F.T על שני צידי משוואה (5.36) נקבל

$$\text{D.F.T}[p(i_1, i_2)] = \text{D.F.T}[p_e(i_1, i_2)] + \text{D.F.T}[p_o(i_1, i_2)] \quad (5.37)$$

אם נסמן ב-  $PR(i_1, i_2)$  את החלק הממשי של התמרת פוריה הדיסקרטית של הסידרה  $p(i_1, i_2)$  . וב-  $PI(i_1, i_2)$  את החלק הדמיוני נוכל לרשום

$$\begin{aligned} PR(i_1, i_2) &= D.F.T\{p_e(i_1, i_2)\} \\ PI(i_1, i_2) &= -j D.F.T\{p_o(i_1, i_2)\} \end{aligned} \quad (5.38)$$

ממשואות (5.38) וממשואה (5.32) אפשר לקבל עיני פעולות פשוטות את המשואה.

$$PI(i_1, i_2) = -j D.F.T\{[\text{sgn}(i_1, i_2) + \text{bdy}(i_1, i_2)] \cdot I.D.F.T\{PR(i_1, i_2)\}\} \quad (5.39)$$

נוסחה זו היא הבסיס ליצוב מטבנים רקורסיבים דו ממדיים לא יציבים. השיטה דומה לזו הנהוגה במטבנים חד ממדיים. בניח שפונקציית התמסורת של המטבן הבלתי יציב היא

$$H(z_1, z_2) = D(z_1, z_2) / B(z_1, z_2)$$

מכיון שהמטבן בלתי יציב המערך  $B$  אינו MINIMUM PHASE. מטרתנו היא לבנות מ-  $B$  מערך  $\bar{B}$  שיהיה MINIMUM PHASE והספקטרום של  $\bar{B}$  יהיה זהה לזה של  $B$ .

לכן המטבן  $\bar{H}(z_1, z_2) = D(z_1, z_2) / \bar{B}(z_1, z_2)$  יהיה יציב והספקטרום שלו יהיה קרוב מאוד לספקטרום של המטבן המקורי.

$B(i_1, i_2)$  היא אמפליטודת הספקטרום של המערך סיבתי בתון. נחשב את הזווית  $\theta(i_1, i_2)$  של הספקטרום לפי הנוסחה [9]

$$\theta(i_1, i_2) = -j D.F.T\{[\text{sgn}(i_1, i_2) + \text{bdy}(i_1, i_2)] \cdot I.D.F.T\{|\log|B(i_1, i_2)||\}\} \quad (5.40)$$

המערך  $\bar{B}$  שאמפליטודת הספקטרום שלו זהה לזו של המערך  $B$ , ופזת הספקטרום שלו היא  $\theta(i_1, i_2)$ , הוא מערך MINIMUM-PHASE. לכן המטבן  $\bar{H}(z_1, z_2) = D(z_1, z_2) / \bar{B}(z_1, z_2)$  יהיה יציב, ואמפליטודת תגובת התדר קרובה מאוד לזו של המטבן  $H$ .

נסכם את הצעדים שיש לעשות כדי ליצב מטבן בלתי יציב.

א. מוסיפים אפסים למערך הנתון כך שיהפוך למערך סיבתי. במידה וגודלו אינו מתאים לתוכנית [17] HARM מוסיפים אפסים נוספים (HARM היא טברוטית מחשב המחשבת את התמרת פוריה הדיסקרטית של מערך. ממדי המערך חייבים להיות חזקה של 2).

ב. מחשבים את ה- DFT של המערך. מחשבים את הלוגריתם הטבעי של אמפליטודת הספקטרום בנקודות הדיסקרטיות.

ג. מחשבים את  $\theta(i_1, i_2)$  לפי הנוסחה (5.40)

ד. עוברים מהקורדינטות הפולריות  $|A(i_1, i_2)|$ ,  $\theta(i_1, i_2)$  לקואורדינטות קרטזיות  $PI(i_1, i_2)$ ,  $PR(i_1, i_2)$

ה. מפעילים על PR ו-PI IDFT ומקבלים מערך חדש. למערך זה ספקטרום שווה לספקטרום של המערך שממנו יצאנו. המערך החדש הוא MINIMUM-PHASE.

נכתבה תוכנית מחשב המופיעה בנספח 3. תוכנית זו מבצעת את הכתוב בסעיפים הכתובים מעלה.

הכניסה של התוכנית הוא מערך שאינו MINIMUM-PHASE והיציאה הוא מערך חדש, MINIMUM PHASE, הספקטרום של המערך המחושב קרוב מאוד לספקטרום המקורי.

הורצה תוכנית מחשב על המערך שאינו MINIMUM PHASE

$$A = \begin{bmatrix} 1.0 & -0.75 & 0.9 \\ 1.5 & -1.2 & 1.3 \\ 1.2 & 0.9 & 0.5 \end{bmatrix}$$

מערך זה זהה למערך A המופיע בסעיף 5.3 מיפוי שורשיו נראה בציר 5.1. והספקטרום של המסנו  $H(z_1, z_2) = 1/A(z_1, z_2)$  נראה בציר 5.3.

מערך זה שימש ככניסה לתוכנית (נספח 3) התוצאה שהתקבלה היא מערך MINIMUM PHASE שנסמנו ב-  $A^*$

$$A^* = \begin{bmatrix} 2.4607 & 0.6192 & 0.8841 \\ 1.2927 & 0.4259 & 0.7720 \\ 0.2611 & 0.3276 & 0.2122 \end{bmatrix}$$

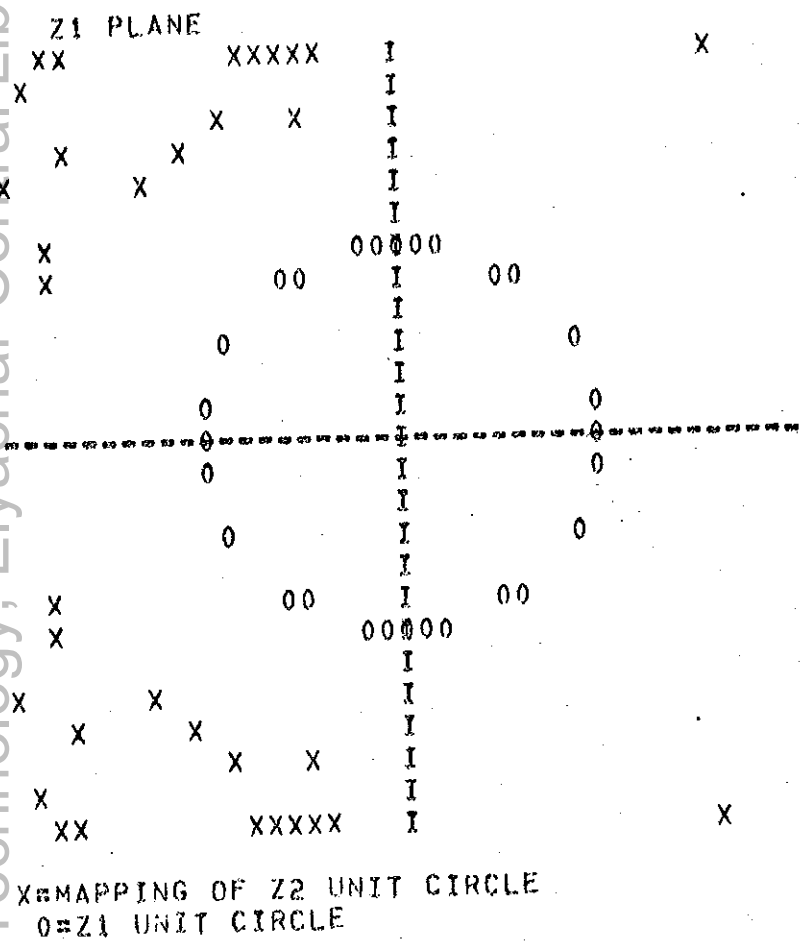
מיפוי שורשי  $A^*$  נראה בציר 5.8, וברור כי לא קימים  $|z_1| \leq 1$ ,  $|z_2| \leq 1$  כך שעבורם  $A^*(z_1, z_2) = 0$ . כלומר המסנו  $H^*(z_1, z_2) = 1/A^*(z_1, z_2)$  הוא מסנו יציב.

נסתכל עתה על הספקטרום של המסנו  $H^*$ . הספקטרום נראה בציר 5.9 השואה בין צירי 5.9 לבין ציר 5.3 מראה שההבדל בין הספקטרום של שני המסננים מועט. (שים לב

להבדל בסיומונים בשני הצירים). תאורטית הספקטרום של  $H$  ושל  $H^*$  צריכים היו להיות שווים. ההבדל בספקטרום נובע מהסיבה הבאה:  $A^*$  צריך להתאפס עבור אברים שהאינדקסים שלהם גבוהים ממדי A שממנו יצאנו. במציאות קבלנו שאיברים אלו קבלו ערכים קטנים

יחסית לאברים שהאינדקס שלהם קטן או שווה לממדי A. אברים אלו אינם מתאפסים מאחר וטרנספורמצית הילברט הדיסקרטית היא קרוב של התמרת הילברט (נוסחה 5.26). מאחר

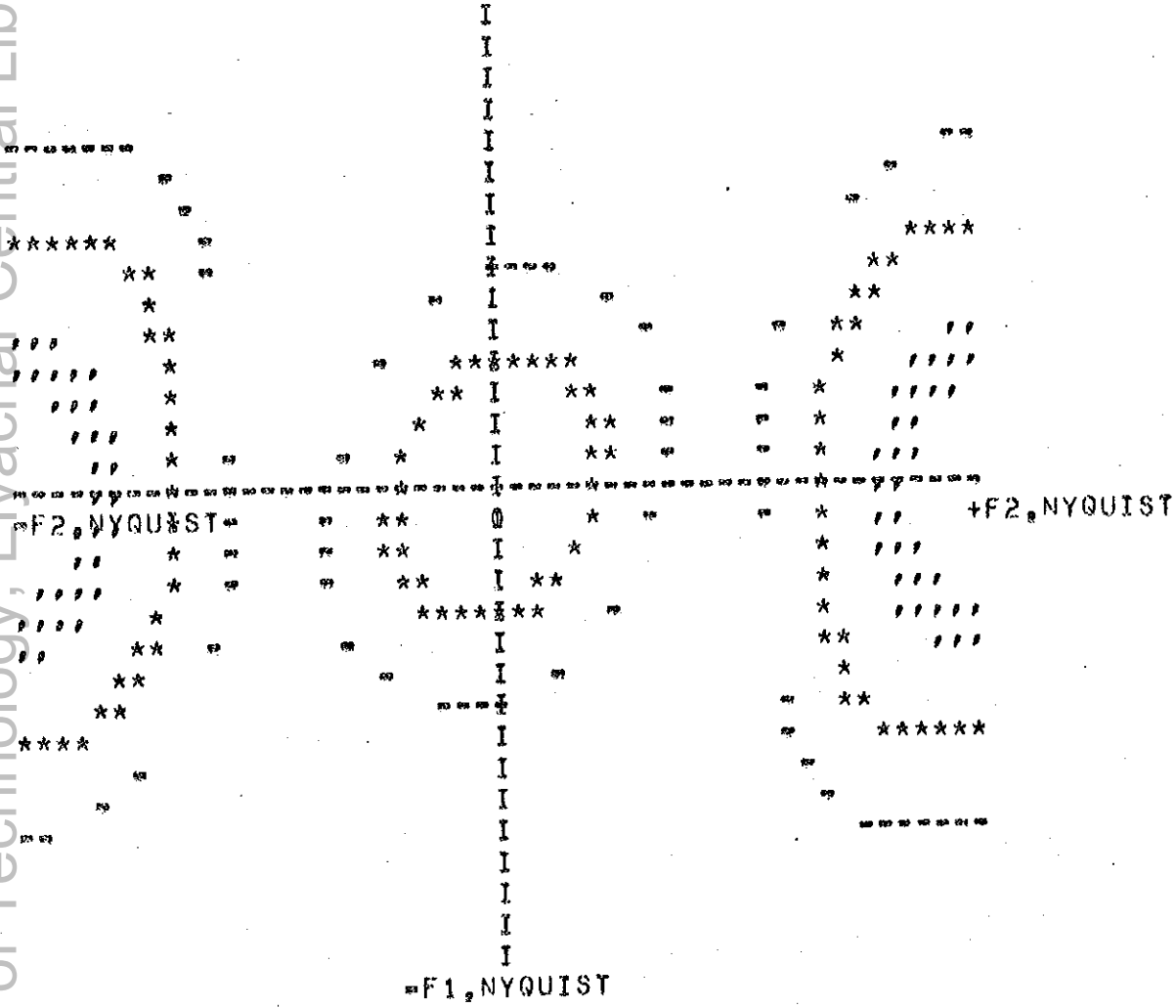
שבתהליך היצוב חייבים  $A^*$  ו-A להיות בעלי אותם מימדים מזניחים אברים אלו. זו הסיבה שהספקטרום של  $H$  ו- $H^*$  אינם זהים.



ציר 5.8 חיפוי שורשי  $A^*(z_1, z_2) = 0$  במישור  $z_1$

FIG 5.8 MAPPING OF  $A^*(z_1, z_2) = 0$  ROOTS ON  $z_1$  PLANE

+F1, NYQUIST



• = 0.1  
 + = 0.3  
 , = 0.5  
 \* = 0.7  
 = 1.0

$H^*(z_1, z_2) = \frac{1}{A^*(z_1, z_2)}$       התפקוד של המסנן      ציור 5.9

FIG 5.9 THE SPECTRUM OF THE FILTER

$H^*(z_1, z_2) = \frac{1}{A^*(z_1, z_2)}$

מחברי המאמר [9] מציינים שבכמה מקרים נכשלה התוכנית והמערכים שהתקבלו לא היו MINIMUM-PHASE. קימים מספר גורמים שעלולים לגרום זאת. ראשית עלינו לזכור שהתהליך המוצע אינו אלא קרוב של אינטגרל הילברט. המחברים מציינים שבדוגמא שנכשלה המסנן היה בלתי יציב בצורה גבולית, ויתכן ומסיבה זו נגרמו קשיים נומריים. התוצאות המתקבלות בשיטת ייצוב לפי הילברט טובות יותר מאלו המושגות בשיטת P.L.S.I.

אם נסמן ב-  $|A^*(i_1, i_2)|$  את אמפליטודת הספקטרום הדיסקרטית של המערך המיוצב בשיטת הילברט.  $|A(i_1, i_2)|$  יסמן את אמפליטודת הספקטרום הדיסקרטית של המערך המקורי. הביטוי  $e(A^*, A)$  יסמן את סכום ריבועי ההפרשים בין אמפליטודת הספקטרום של המערך  $A^*$  לבין זו של המערך  $A$ .

$$e(A^*, A) = \sum_{i_1=0}^{N_1-1} \sum_{i_2=0}^{N_2-1} \left[ |A^*(i_1, i_2)| - |A(i_1, i_2)| \right]^2$$

באותה מידה אפשר לחשב את  $e(\hat{A}, A)$  כאשר  $\hat{A}$  הוא המערך המתקבל ע"י ייצוב בשיטת P.L.S.I. מסתבר שבדוגמא המובאת בפרק זה.

$$e(\hat{A}, A) \cong 18.5 e(A^*, A)$$

עובדה מצביעה על היתרון בשימוש בשיטת הילברט לייצוב לעומת שיטת P.L.S.I.

5.5 ייצוב ע"י השואת ספקטרום של מסנן שאינו יציב עם ספקטרום של מסנן יציב [10]

שיטה זו מתאימה לייצוב מסננים מסדר נמוך,  $(2 \times 2)$ ,  $(3 \times 3)$ . עבור מסננים מסדר גבוה יותר קשה להפעיל שיטה זו מפאת סיבוכה. נסביר שיטה זו באמצעות דוגמא.

נסתכל על המסנן  $H(z_1, z_2) = 1/C(z_1, z_2)$  כאשר  $C = \begin{bmatrix} 1 & 3 \\ 2 & 4 \end{bmatrix}$

מסנן זה אינו יציב משום שקימים  $|z_2| \leq 1, |z_1| \leq 1$  כך שעבורם  $C(z_1, z_2) = 0$  כדי להבטיח שהמסנן יהיה יציב נקרב את  $\bar{C}(z_1, z_2)$  בעזרת  $\bar{C}(z_1, z_2) = C_1(z_1) \cdot C_2(z_2)$  כאשר השורשים של  $C_1$  ו-  $C_2$  גדולים בערכם המוחלט מ-1.

במקרה הנידון נרשום

$$\bar{C}(z_1, z_2) = (z_1 - x_1)(z_2 - x_2)$$

כאשר  $|x_1| > 1$ ,  $|x_2| > 1$  עתה עלינו להבטיח שהספקטרום של שני המסננים יהיה קרוב ככל האפשר. נרשום את  $C$  בצורת מטריצה.

$$\bar{H} = 1/\bar{C}, \quad H = 1/C$$

$$C = \begin{bmatrix} x_1 x_2 & -x_1 \\ -x_2 & 1 \end{bmatrix}$$

אם נסתכל על המערך  $B$

$$B = \begin{bmatrix} b_1 & b_2 \\ b_3 & b_4 \end{bmatrix}$$

אפשר לראות מיד שאמפליטודת התמרת פורייה הדיסקרטית שלו היא

$$|DFT(B)| = \begin{bmatrix} |b_1 + b_2 + b_3 + b_4| & |b_1 - b_2 + b_3 - b_4| \\ |b_1 + b_2 - b_3 - b_4| & |b_1 - b_2 - b_3 + b_4| \end{bmatrix}$$

אם נפעיל נוסחה זו על המערכים  $C$  ו- $\bar{C}$  נקבל

$$D.F.T(C) = \begin{bmatrix} 10 & 4 \\ 2 & 0 \end{bmatrix}$$

$$D.F.T(\bar{C}) = \begin{bmatrix} |1 + x_1 x_2 - x_1 - x_2| & |x_1 x_2 + x_1 - x_2 - 1| \\ |-1 + x_1 x_2 - x_1 + x_2| & |x_1 x_2 + x_1 + x_2 + 1| \end{bmatrix}$$

המטרה שלנו היא למצוא את  $x_1, x_2$  עבורם מקבלים את

$$\begin{aligned} \min \left[ |DFT(\bar{C})| - |DFT(C)| \right]^2 &= \min \left[ (|x_1 x_2 - x_1 - x_2 + 1| - 10)^2 + \right. \\ &+ (|x_1 x_2 + x_1 - x_2 - 1| - 4)^2 + (|x_1 x_2 - x_1 + x_2 - 1| - 2)^2 + \\ &\left. + (|x_1 x_2 + x_1 + x_2 + 1|)^2 \right] \end{aligned}$$



כך ש-  $|x_2| > 1$   $|x_1| > 1$

נכתבה תוכנית מחשב המתבססת על תוכנית ספריה המוצאת מינימום של פונקציה עם מספר משתנים.

התוצאה שהתקבלה היא

$$\bar{c}(z_1, z_2) = (z_1 + 1.5259)(z_2 + 2.735)$$

מטריצת אמפליטודת הספקטרום של המחושב היא

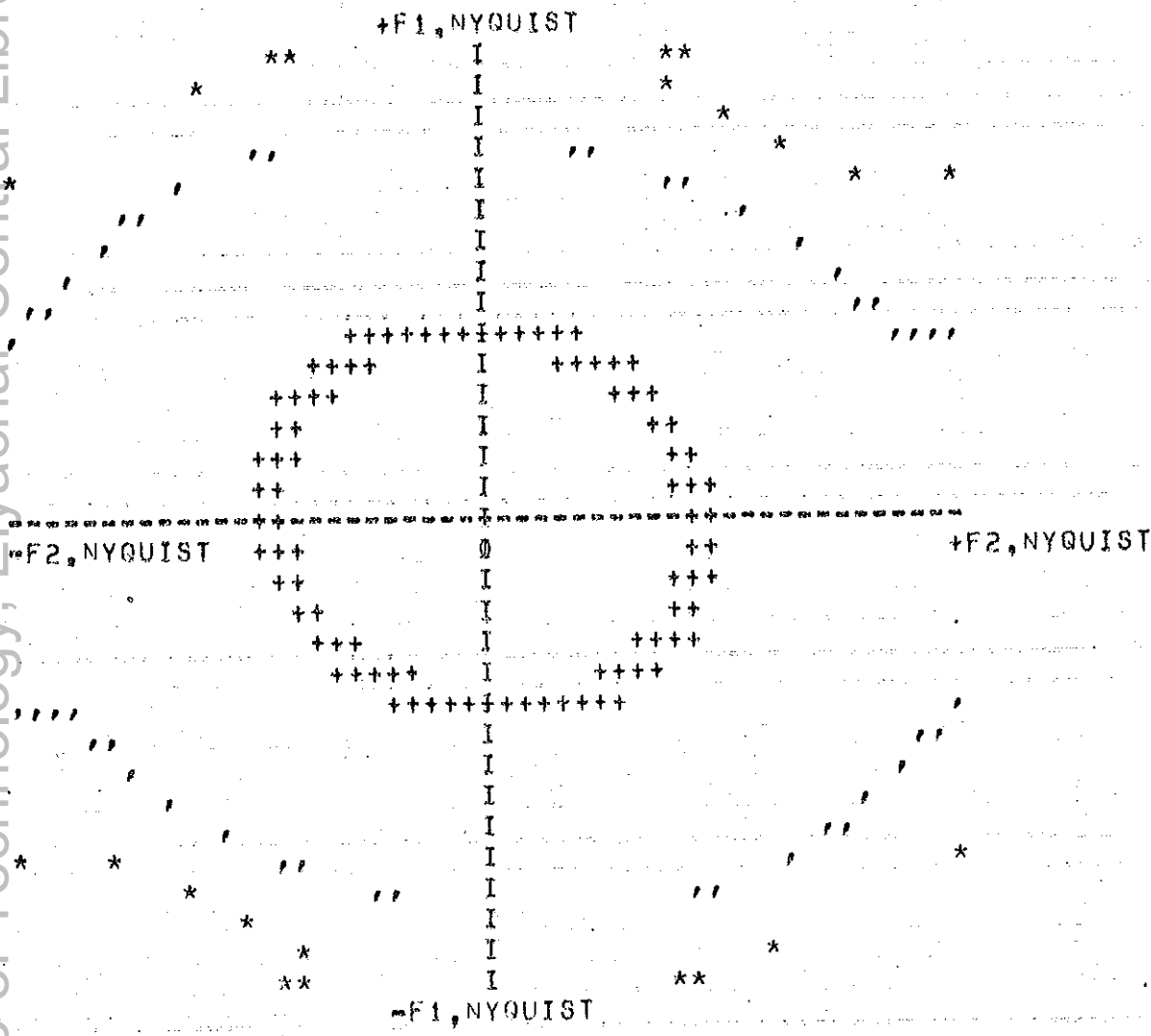
$$|D.F.T(\bar{c})| = \begin{bmatrix} 9.4344 & 4.3826 \\ 1.9643 & 0.9125 \end{bmatrix}$$

אם משווים תוצאה זו עם אמפליטודת הספקטרום של  $c$ ,  $|D.F.T(c)|$ , רואים שהתוצאה משביעת רצון. כדי להוכיח בזאת באופן מוחשי, צויר הספקטרום של המסנן

$$\bar{H}(z_1, z_2) = 1/\bar{c}(z_1, z_2) \quad H(z_1, z_2) = 1/c(z_1, z_2)$$

בציר 5.11. מצוירים אלו רואים שעוותים בספקטרום של המסנן  $\bar{H}$ , יחסית לספקטרום של המסנן  $H$  קטנים ביותר.

בדוגמא זו המערך היה מסדר  $2 \times 2$ . הקושי העקרי בשיטה זו הוא לרשום את מטריצת אמפליטודת הספקטרום עבור מערך כללי, מסדר גבוה. נראה שעבור מערך מסדר  $(3 \times 3)$  אפשר לחשב את המטריצה הכללית של אמפליטודת הספקטרום בקלות יחסית לפי נוסחה 4.19. המעריכים של האקספוננטים בנוסחה זו הם כפולות של  $2\pi/3$  ולכן נתן לרשום את מטריצת הספקטרום בצורה כללית. עבור מערכים מסדר גבוה יותר העבודה הנדרשת לחשב את מטריצת הספקטרום היא רבה ולכן השיטה המוצגת בטעיף זה מתאימה למערכים קטנים מסדר  $(2 \times 2)$ ,  $(3 \times 3)$ .



+ # 1, 0  
 # 2, 5  
 \* # 5, 0  
 # 0, 5

$$H(z_1, z_2) = \frac{1}{C(z_1, z_2)}$$

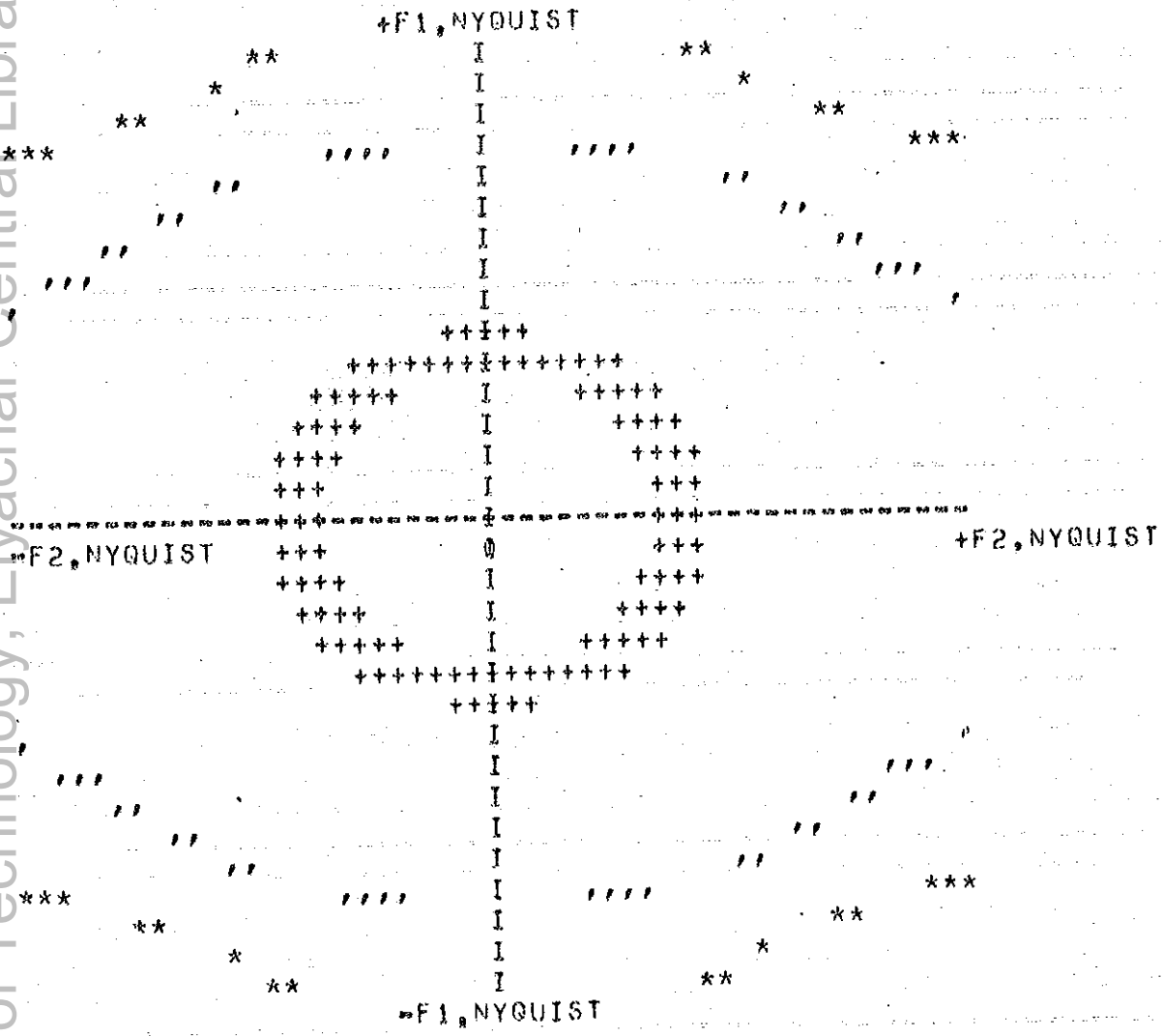
ספקטרום המסנן

5.10 י"ר 5

FIG 5.10

THE SPECTRUM OF THE FILTER

$$H(z_1, z_2) = \frac{1}{C(z_1, z_2)}$$



#1, 0  
 #2, 5  
 #3, 0  
 #0, 5

$$\bar{H}(z_1, z_2) = \frac{1}{\bar{C}(z_1, z_2)}$$

ספקטרום המסנן ציור 5.11

FIG 5.11

THE SPECTRUM OF THE FILTER

$$\bar{H}(z_1, z_2) = \frac{1}{\bar{C}(z_1, z_2)}$$

6. תכנון מסנן רקורסיבי דו ממדי לפי התגובה לדגם יחידה.

נניח שנתונה לנו התגובה של מסנן לדגם יחידה. אם המסנן יציב כלומר תגובתו לדגם יחידה מתרסנת. אפשר ליצג את פעולת המסנן ע"י קונבולוציה. (לוקחים מספר סופי של אברים  $h(m,n)$  .

אפשרות אחרת היא לקרב את התגובה לדגם יחידה באמצעות מסנן רקורסיבי דו ממדי [4]. כפי שנאמר במבוא שיטה זו יעילה יותר (ברוב המקרים) מקונבולוציה ישירה.

נניח שהתגובה לדגם יחידה הרצויה היא :

$$d(i,j) \quad i=0,1,2 \dots M_d$$

$$j=0,1,2 \dots N_d$$

התמרת  $z$  של התגובה לדגם יחידה תהיה

$$D(z_1, z_2) = \sum_{i=0}^{M_d} \sum_{j=0}^{N_d} d(i,j) z_1^i z_2^j \quad (6.1)$$

נניח שהמסנן הרקורסיבי הדו ממדי שמקרב תגובה זו הוא

$$F(z_1, z_2) = A(z_1, z_2) / B(z_1, z_2) \quad (6.2)$$

$$A(z_1, z_2) = \sum_{i=0}^{M_a} \sum_{j=0}^{N_a} a(i,j) z_1^i z_2^j \quad (6.3)$$

$$B(z_1, z_2) = \sum_{i=0}^{M_b} \sum_{j=0}^{N_b} b(i,j) z_1^i z_2^j \quad (6.4)$$

הפרמטרים  $M_b, N_b, M_a, N_a$  . נמונים לבחירה על ידינו, אולם לאחר שנבחרו הם קבועים.

את הנוסחה (6.2) אפשר לרשום בצורה

$$F(z_1, z_2) \cdot B(z_1, z_2) = A(z_1, z_2) \quad (6.5)$$

וע"י התמרת  $z$  הפוכה מקבלים

$$a(m,n) = \sum_{i=0}^{M_b} \sum_{j=0}^{N_b} b(i,j) \cdot f(m-i, n-j) \quad (6.6)$$

$a(m,n)$  מוגדר עבור התחום  $I_a$

$$I_a = \left[ (i,j) : 0 \leq i \leq M_a, 0 \leq j \leq N_a \right] \quad (6.7)$$

מחוץ לתחום  $I_a$  מתקיים  $a(m,n)=0$  נטמן תחום זה ב-  $\hat{I}_a$

$$\hat{I}_a = \left[ (m,n) : m > 0 \quad n > 0 \quad (m,n) \notin I_a \right] \quad (6.8)$$

לכן אפשר לרשום

$$\sum_{i=0}^{M_b} \sum_{j=0}^{N_b} b(i,j) f(m-i, n-j) = 0 \quad (m,n) \in \hat{I}_a \quad (6.9)$$

מבלי לפגוע בכלליות הפתרון נבנה  $b(0,0)=1$

$$f(m,n) = \sum_{\substack{i=0 \\ 0=i \neq j=0}}^{M_b} \sum_{j=0}^{N_b} -b(i,j) f(m-i, n-j) \quad (m,n) \in \hat{I}_a \quad (6.10)$$

$f(m,n)$  הוא התגובה לדגם יחידה של המסנן שבחרנו. אם המסנן נבחר בצורה הנכונה, חייב להתקיים  $f(m,n) \cong d(m,n)$ , ואז בנוסחה (6.10) תקבל את הצורה.

$$d(m,n) \cong \sum_{\substack{i=0 \\ 0=i \neq j=0}}^{M_b} \sum_{j=0}^{N_b} -b(i,j) d(m-i, n-j) \quad (6.11)$$

עבור  $(m,n) \in [\hat{I}_a \cap I_d]$ , התחום שבו מוגדר  $d(i,j)$  כלומר

$$I_d = \left[ (m,n) : 0 \leq m \leq M_d, \quad 0 \leq n \leq N_d \right] \quad (6.12)$$

כדי שנוכל לרשום את הנוסחה (6.11) כשוויון, נגדיר את השגיאה  $e(m,n)$  ונוסיפה לצד הימני של המשוואה.

$$d(m,n) = e(m,n) - \sum_{\substack{i=0 \\ 0=i \neq j=0}}^{M_b} \sum_{j=0}^{N_b} b(i,j) d(m-i, n-j) \quad (m,n) \in [\hat{I}_a \cap I_d] \quad (6.13)$$

לאחר סידור המשוואה נקבל

$$(m,n) \in [\hat{I}_a \cap I_d] \quad e(m,n) = \sum_{i=0}^{M_b} \sum_{j=0}^{N_b} b(i,j) d(m-i, n-j) \quad (6.14)$$

אנו מעוניינים שטכום ריבועי השגיאות יהיה מינימלי. טכום ריבועי השגיאות בתוך ע"י

$$e^2 = \sum_m \sum_n \left[ \sum_{i=0}^{M_b} \sum_{j=0}^{N_b} d(m-i, n-j) b(i,j) \right]^2 \quad (6.15)$$

$$(m,n) \in [\hat{I}_a \cap I_d]$$

על מנת לקבל את המינימום של  $e^2$  נגזור את (6.15) לפי  $b(i,j)$  ונשווה לאפס. מאחר והנחנו  $b(0,0)=1$  יהיו לנו  $(M_b+1)(N_b+1)-1$  משוואות עם אותו מספר בעלמים. המשוואות שיתקבלו יהיו מהצורה

$$\sum_{i=0}^{M_b} \sum_{j=0}^{N_b} b(i,j) \cdot \Phi(k,l,i,j) = \Phi(k,l)$$

$0=i \neq j=0$   
 $k=0,1,2,\dots,M_b$   
 $l=0,1,2,\dots,N_b$   
 $0=k \neq l=0$

(6.16)

$$\Phi(k,l,i,j) \triangleq \sum_m \sum_n d(m-i,n-j) d(m-k,n-l)$$

$$\Phi(k,l) \triangleq \sum_m \sum_n d(m,n) d(m-k,n-l)$$

$(m,n) \in \{\hat{I}_a \cap I_d\}$

פתרון משוואות אלו יתן לנו את  $b(i,j)$ , שעבורם  $e^2$  מקבל את ערכו המינימלי.

עתה נותר לנו לחשב את  $a(i,j)$  עבור  $(i,j) \in I_a$ . דרך אחת לעשות זאת

היא בעזרת מסנן WIENER הדיסקרטי, כלומר עלינו למצוא מסנן אופטימלי  $A(z_1, z_2)$  כך שעבור הכניסה  $1/B(z_1, z_2)$  תהיה יציאת המסנן קרובה עד כמה שאפשר לתגובה דגם היחידה הרצוי  $D(z_1, z_2)$ .

שיטה פשוטה יותר לקבל את המערך  $a(i,j)$  היא באמצעות הנוסחה

$$A(z_1, z_2) = B(z_1, z_2) \cdot D(z_1, z_2) \quad (i,j) \in I_a$$

אם המקדמים  $b(i,j)$  חושבו נכון, יהיו המקדמים של  $B(z_1, z_2) \cdot D(z_1, z_2)$  קרובים מאוד לאפס עבור  $(i,j) \in \hat{I}_a$ .

כדי לבדוק שיטה זו לחישוב מסנן רקורסיבי דו ממדי, בעל תגובה לדגם יחידה נתונה. נכתבה תוכנית מחשב המופיעה בנספח 1.

כתגובה לדגם יחידה, בחרנו בתגובה של מסנן ידוע  $H^*(z_1, z_2) = A^*(z_1, z_2) / B^*(z_1, z_2)$  אם התוכנית עובדת כראוי המסנן המחושב על ידה צריך להיות זהה ל-  $H(z_1, z_2)$  או קרוב מאוד אליו.

כאשר התגובה לדגם יחידה הרצויה היתה בגודל  $(6 \times 6)$  התקבלו התוצאות המסוכמות בטבלה מטה.

אינדקס האיבר	A*	A (מחושב)	B*	B (מחושב)
(1.1)	1.0	1.0000000	1.0	1.0
(1.2)	2.0	2.0000020	-1.50	-1.4999980
(1.3)	-1.0	-0.9999957	0.60	0.5999972
(2.1)	3.0	2.9999913	-1.20	-1.2000087
(2.2)	4.0	3.9999888	1.80	1.8000106
(2.3)	2.0	2.0000175	-0.72	-0.7200020
(3.1)	2.0	1.9999745	0.50	0.5000109
(3.2)	-1.0	-1.0000295	-0.75	-0.7500153
(3.3)	1.0	0.9999807	0.29	0.2900053

מהטבלה רואים שהמערכים B ו-A זהים כמעט למערכים B\* ו-A\* כאשר התגובה להלם יחידה הרצויה היתה בגודל  $(10 \times 10)$ , מקדמי המסנן המחושב הזדהו עם מקדמי המסנן המקורי. יש לציין שהתוצאות שהתקבלו כאן טובות יותר מן התוצאות שהושגו במאמר [4]. הדבר נובע כנראה, בגלל השימוש במחשבים שונים, ובסברוטינות שונות לפתירת ח משוואת עם ח נעלמים.

השימוש בתוכנית המחשב למציאת מסנן המקרב תגובה לדגם יחידה נתונה, אינו מבטיח שהמסנן המחושב יהיה יציב.

כדי להוכיח בטענה זו, הרצתי תוכנית כאשר התגובה לדגם יחידה הרצויה היתה של מסנן בלתי יציב. המסנן שחושב היה זהה למסנן המקורי. בבעיות מימוש מעשיות, התגובה לדגם יחידה הרצויה מתרסנת עבור ח, גבוהים, ולכן אם נתכנן את המסנן נכון הוא יהיה מסנן יציב.

בדוגמא שלנו הקרוב הוא טוב היות וידענו את דרגות  $A^*$  ו- $B^*$  וקבענו בהתאם את דרגות  $A$  ו- $B$ . ברוב המקרים נמונה התגובה לדגם יחידה ועלינו לבחור את דרגות  $A$  ו- $B$ . ברור שככל שדרגות אילו גבוהות יותר, יש לנו יותר דרגות חופש, לכן נוכל לשחזר ביתר דיוק את התגובה לדגם יחידה הרצויה. למרות עובדה זו לא נוכל להגדיל את דרגות  $A$  ו- $B$  כרצוננו משתי סיבות. האחת ככל שדרגות  $A$  ו- $B$  יהיו גבוהות יותר המימוש יהיה מסובך יותר, והשנייה ככל שהדרגות של  $A$  ו- $B$  יהיו גבוהות יותר, מספר הנעלמים יעלה, (מספר הנעלמים עולה ביחס ישר לריבוע הדרגה של המערך). וזמן המחשב הדרוש לפתרון המשואות יעלה בצורה תלולה.



7. תכנון מסננים רקורסיביים דו ממדיים במישור התדר.

עבודה רבה הושקעה בפתוח שיטות לתכנון מסננים רקורסיביים חד ממדיים, לעומת זאת, קימות מעט מאוד שיטות לתכנון מסננים רקורסיביים דו ממדיים בתחום התדר. יתרה מזאת לשיטות הקימות מגבלות רבות.

המקרה הפשוט ביותר של תכנון מסנן רקורסיבי דו-ממדי הוא כאשר אפשר לרשום את התמרת  $z$  הדו ממדית של המסנן הרצוי, כמכפלת שני התמרות  $z$  חד ממדיות, כלומר

$$H(z_1, z_2) = H_1(z_1) \cdot H_2(z_2) \quad (7.1)$$

$H(z_1)$  ו-  $H(z_2)$  נתנות למימוש בעזרת השיטות לתכנון מסנן רקורסיבי חד ממדי.

המקרים בהם נתן לפרק את התמרת  $z$  הדו מימדית למכפלת שני התמרות  $z$  חד ממדיות הם נדירים ולכן עלינו לפתח שיטות לתכנון מסננים רקורסיביים דו ממדיים במישור התדר.

בפרק זה נעמוד על שלוש שיטות לתכנון מסננים רקורסיביים דו ממדיים. שיטה אחת נסקור בהרחבה בצרוף דוגמאות.

7.1 תכנון מסננים רקורסיביים דו ממדיים ע"י הזזת צירי התדר.

נניח שנתון מסנן אנלוגי חד מימדי הנתון לפי הנוסחה

$$H_1(s) = H_0 \left[ \prod_{i=1}^m (s - q_i) / \prod_{i=1}^n (s - p_i) \right] \quad (7.2)$$

כאשר  $s = j\omega$  אפשר להסתכל על המסנן החד ממדי כעל מסנן דו ממדי המשתנה רק בתדר אחד כלומר אפשר לכתוב את נוסחה (7.2) בצורה הבאה :

$$H_2(s_1, s_2) = H_1(s_2) = H_0 \left[ \prod_{i=1}^m (s_2 - q_i) / \prod_{i=1}^n (s_2 - p_i) \right] \quad (7.3)$$

אם נסובב את הצירים  $(s_1, s_2)$  בזווית  $\theta$  נקבל את הצירים החדשים  $(s'_1, s'_2)$  הקשר בין הצירים הישנים והחדשים הוא

$$\begin{aligned} s_1 &= s'_1 \cos \theta + s'_2 \sin \theta \\ s_2 &= s'_2 \cos \theta - s'_1 \sin \theta \end{aligned} \quad (7.4)$$

נקבל מסנן חדש (7.5) שתגובת התדר שלו תהיה מוזזת בזווית  $\theta$  ביחס לעקומת התדר של המסנן המתואר בנוסחה (7.3)

$$H'_2(s'_1, s'_2) = H_0 \frac{\prod_{i=1}^m [(s'_2 \cos \theta - s'_1 \sin \theta) - q_i]}{\prod_{i=1}^n [(s'_2 \cos \theta - s'_1 \sin \theta) - p_i]} \quad (7.5)$$

נוסחה (7.5) מתארת את המסנן הרצוף בקורדינטות החדשות  $(s'_1, s'_2)$  על מנת לקבל את המסנן הדיסקרטי הדו ממדי נשתמש בהעקפה הביילינארית הדיסקרטית המוגדרת ע"י הנוסחאות הבאות

$$\begin{aligned} s'_1 &= \frac{2}{T} \frac{1 - z_1}{1 + z_1} \\ s'_2 &= \frac{2}{T} \frac{1 - z_2}{1 + z_2} \end{aligned} \quad (7.6)$$

הנחנו שהמרווח בין דגימה לדגימה זהה בשני הכוונים וגודלו  $T$ . ע"י הצבה של נוסחאות (7.6) לתוך נוסחה (7.5) נקבל את הביטוי הבא.

$$H(z_1, z_2) = A \cdot \prod_{i=1}^M \frac{a_{11}^i + a_{21}^i z_1 + a_{12}^i z_2 + a_{22}^i z_1 z_2}{b_{11}^i + b_{21}^i z_1 + b_{12}^i z_2 + b_{22}^i z_1 z_2} \quad (7.7)$$

$$A = H_0 \left(\frac{1}{2} T\right)^{n-m} \quad \text{כאשר}$$

$$M = \max(m, n)$$

$$\left. \begin{aligned} a_{11}^i &= \cos \theta - \sin \theta - \frac{1}{2} T q_i \\ a_{21}^i &= \cos \theta + \sin \theta - \frac{1}{2} T q_i \\ a_{12}^i &= -\cos \theta - \sin \theta - \frac{1}{2} T q_i \\ a_{22}^i &= -\cos \theta + \sin \theta - \frac{1}{2} T q_i \end{aligned} \right\} \begin{array}{l} \text{עבור} \\ 1 \leq i \leq m \end{array} \quad (7.8)$$

$$a_{11}^i = a_{21}^i = a_{12}^i = a_{22}^i = 1 \quad \text{עבור} \quad m < i < M$$

$$\begin{array}{l}
 b_{11}^i = \cos\theta - \sin\theta - \frac{1}{2}Tq_i \\
 b_{21}^i = \cos\theta - \sin\theta - \frac{1}{2}Tq_i \\
 b_{12}^i = -\cos\theta - \sin\theta - \frac{1}{2}Tq_i \\
 b_{22}^i = -\cos\theta + \sin\theta - \frac{1}{2}Tq_i
 \end{array} \quad \left. \begin{array}{l} 1 \leq i \leq n \\ \text{עבור} \end{array} \right\} \quad (7.8)$$

$$b_{11}^i = b_{21}^i = b_{12}^i = b_{22}^i = 1 \quad \left. \begin{array}{l} n \leq i \leq M \\ \text{עבור} \end{array} \right\}$$

אפשר להסתכל על נוסחה (7.7) כעל שורה של מסננים המחוברים בטור. (במידה ואחד הביטויים מכיל שורש קומפלכסי, מכפילים אותו בביטוי המכיל את השורש הצמוד ומקבלים ביטוי ממשי). עלינו לזכור שהקשר בין תדירות הקטעון של המסנן האנלוגי  $f_A$  ובין תדירות הקטעון של המסנן הדיגיטלי  $f_b$  נתון ע"י הנוסחה.

$$f_A = \frac{1}{\pi T} \tan(\pi \cdot f_b \cdot T) \quad (7.9)$$

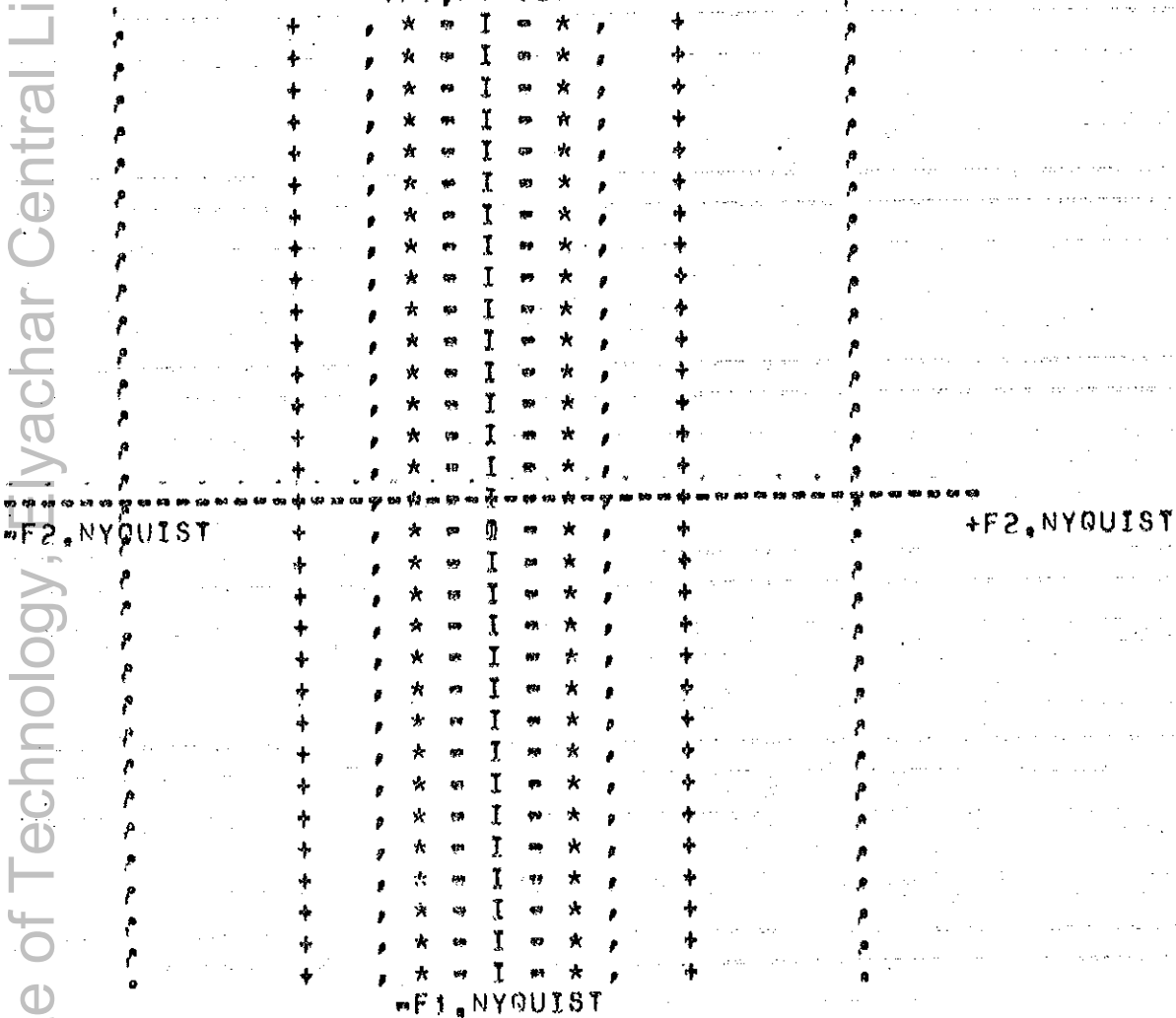
ולכן אם אנו מעונינים ב-  $f_b$  תדירות קטעון מסוימת עלינו לצאת ממסנן אנלוגי שתדר הקטעון שלו  $f_A$  נתון לפי הנוסחה (7.9).

נחבונן כדוגמא במסנן האנלוגי  $F(s_1, s_2) = 1/(s_2 + \alpha)$  . ע"י שימוש בנוסחה (7.7) מקבלים את  $F(z_1, z_2)$  אם נניח  $\alpha = 2\pi f_c f_N$ ,  $f_c = 0.15$  עבור  $\theta = 0^\circ$  מקבלים  $f_N = \frac{1}{2T}$  כאשר ניקויסט

$$F(z_1, z_2) = \frac{T^2}{2} \frac{1 + z_2}{1 - 0.6186 \cdot z_2}$$

בציור (7.1) רואים את האמפליטודת עקום הענות התדר של המסנן, כאשר השיא של האמפליטודה מנורמל ל- 1.0. מכיון ש-  $\theta = 0^\circ$  תגובת המסנן אינה משתנה לאורך הציר  $F_1$ . לאורך הציר  $F_2$  מתנהג העקום בעקום של מסנן מעביר נמוכים. אם נניח עבור אותו מסנן אנלוגי  $f_c = 0.15$ ,  $\theta = 15^\circ$  נקבל את המסנן

$$F(z_1, z_2) = \frac{T^2}{2} \frac{(1 + z_1)(1 + z_2)}{1 - 0.3229 \cdot z_2 + 0.6455 \cdot z_1 - 0.6773 \cdot z_2 z_1}$$



- \*#0.1
- \*#0.3
- \*#0.5
- \*#0.7
- \*#0.9

צור 7.1 אמפליטודת עקום הענות החדר של המסנן הדו ממדי

$$F(z_1, z_2) = \frac{1 + z_2}{1 - 0.6186 z_2}$$

FIG 7.1 TWO DIMENSIONAL AMPLITUDE RESPONSE OF THE FILTER

$$F(z_1, z_2) = \frac{1 + z_2}{1 - 0.6186 z_2}$$

מסנן זה נראה בצירור (7.2). רואים שהקוים שווי האמפליטודה שוב אינם קוים ישרים הם מתעוותים במיוחד עבור  $(f_1, f_2)$  גבוהים.

אם נתבונן בביטוי של המסנן. נראה שבמונה הביטוי  $(1+z_1)(1+z_2)$ . הביטוי  $(1+z_1)$  מתאפס עבור החדר  $f_1 = f_{N1}$  והביטוי  $F(z_1, z_2)$  מתאפס עבור החדר  $f_2 = f_{N2}$  לכן המסנן  $F(z_1, z_2)$  מתאפס גם הוא עבור תדרים אלו.

אם נסובב את המסנן ב-  $\theta = 45^\circ$  נקבל את המסנן

$$F(z_1, z_2) = \frac{(1+z_1)(1+z_2)}{1 + 0.1428 \cdot z_2 + 0.1428 \cdot z_1 - 0.7144 z_1 z_2}$$

עקום הענות החדר של מסנן זה נראה בצירור (7.3).

אנו יכולים לסובב גם מסנן מעביר סרט. במקרה שלנו המסנן האנלוגי לקוח ממאמר [22] עמ' 37-41. המסנן הוא מסוג BUTTERWORTH בעל 8 קטבים. הקטבים הם :

$$s_{1,2} = -66.93 \mp j194.61$$

$$s_{3,4} = -50.24 \mp j146.08$$

$$s_{5,6} = -31.90 \mp j244.85$$

$$s_{7,8} = -16.63 \mp j127.67$$

המרווח בין הדגימות שבו בחרתי הוא  $5 \cdot 10^{-3}$  יחידות. עקום הענות החדר

של המסנן נראה בצירור (7.4). מסנן המוזז ב-  $45^\circ$  נראה בצירור (7.5).

אפשר לקבל מסננים דו ממדיים ע"י קומבינציות שונות של מסננים. אביא כאן

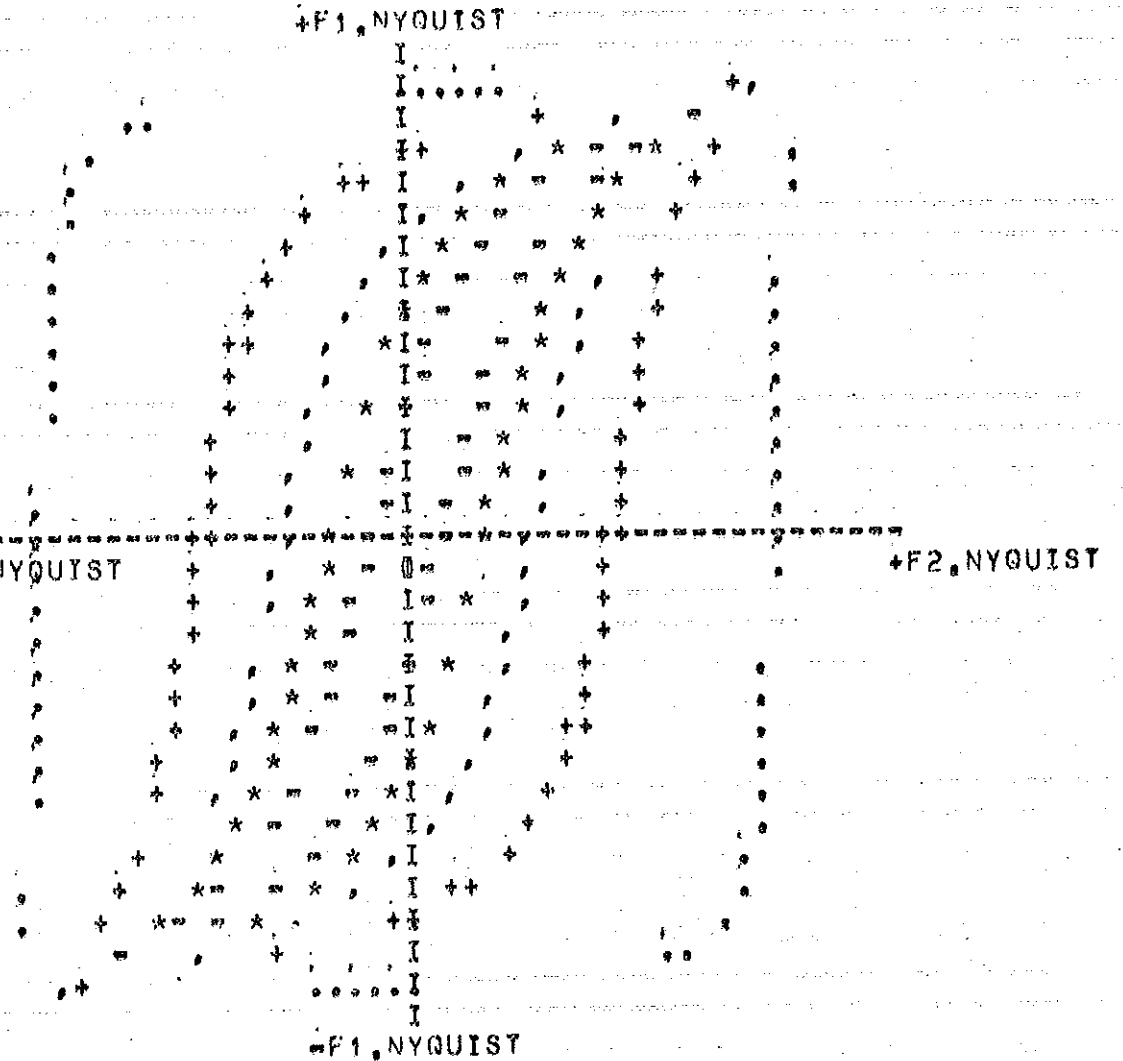
מספר דוגמאות. כל הדוגמאות מבוססות על המסנן מעביר נמוכים המשורטט בצירור (7.1) ומסנן מעביר פס המשורטט בצירור (7.4).

צירור (7.6) מראה חיבור בטור של שני מסננים מעבירי נמוכים האחד הוא סיבוב ב-  $45^\circ$  של המסנן היסודי. והשני סיבוב ב-  $135^\circ$  של המסנן היסודי.

צירור (7.7) מראה חיבור בטור של מסנן מעביר פס (צירור 4.2) עם מסנן מעביר נמוכים מסובב ב-  $90^\circ$ .

צירור (7.8) מראה חיבור בטור של מסנן מעביר פס מסובב ב-  $45^\circ$  עם מסנן מעביר פס מסובב ב-  $45^\circ$ .

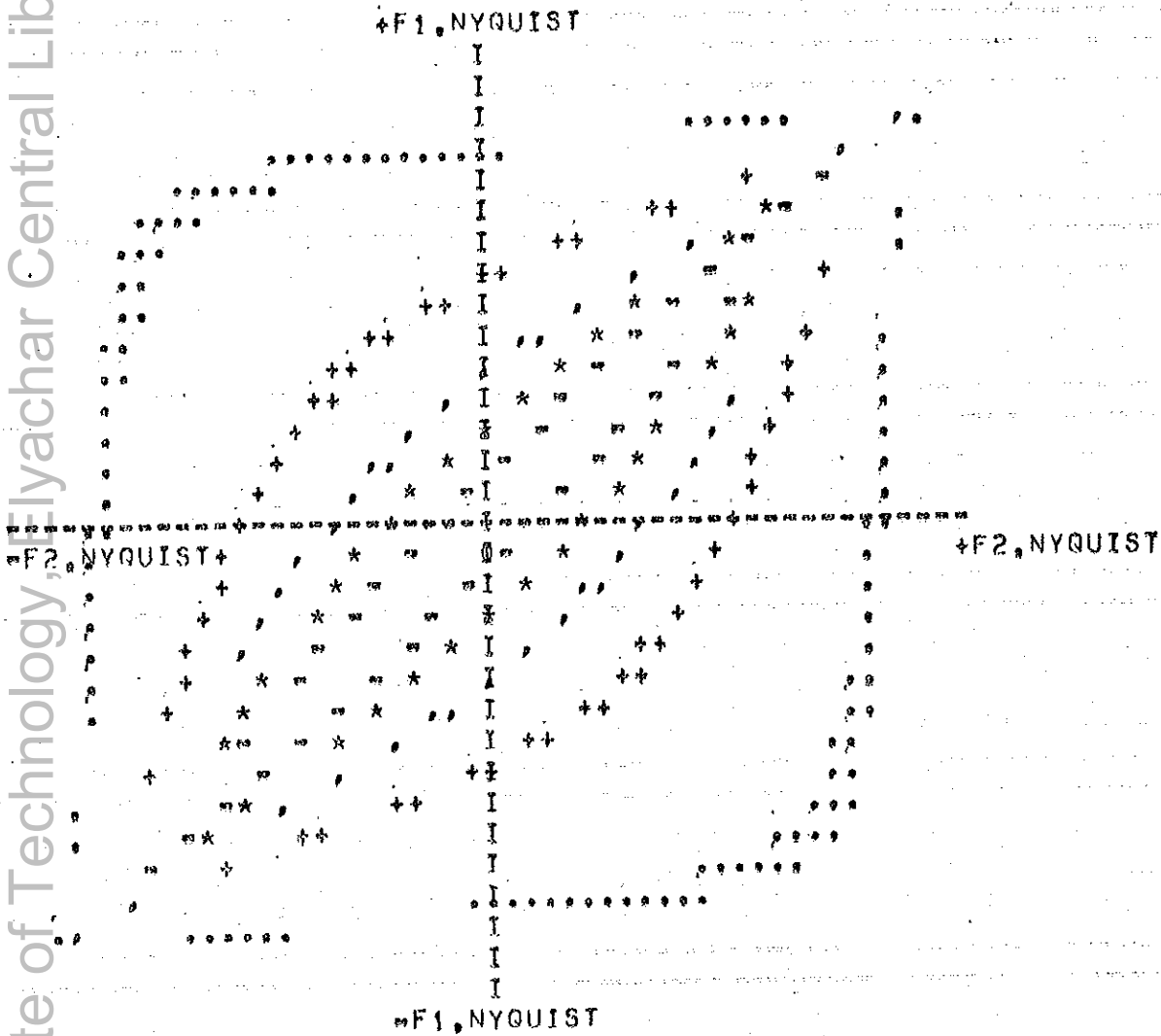
צירור (7.9) מראה חיבור בטור של מסנן מעביר פס שאינו מסובב עם מסנן מעביר פס המסובב ב-  $90^\circ$ .



\*H0.1  
 \*H0.3  
 \*H0.5  
 \*H0.7  
 \*H0.9

אמפליטודת עקום הענות התדר של המסנן מעביר נמוכים ציור 7.2  
 מסובב ב-  $15^\circ$   $F(z_1, z_2)$

FIG 7.2 AMPLITUDE RESPONSE OF LOW-PASS FILTER  $F(z_1, z_2)$   
 ROTATED  $15^\circ$ .

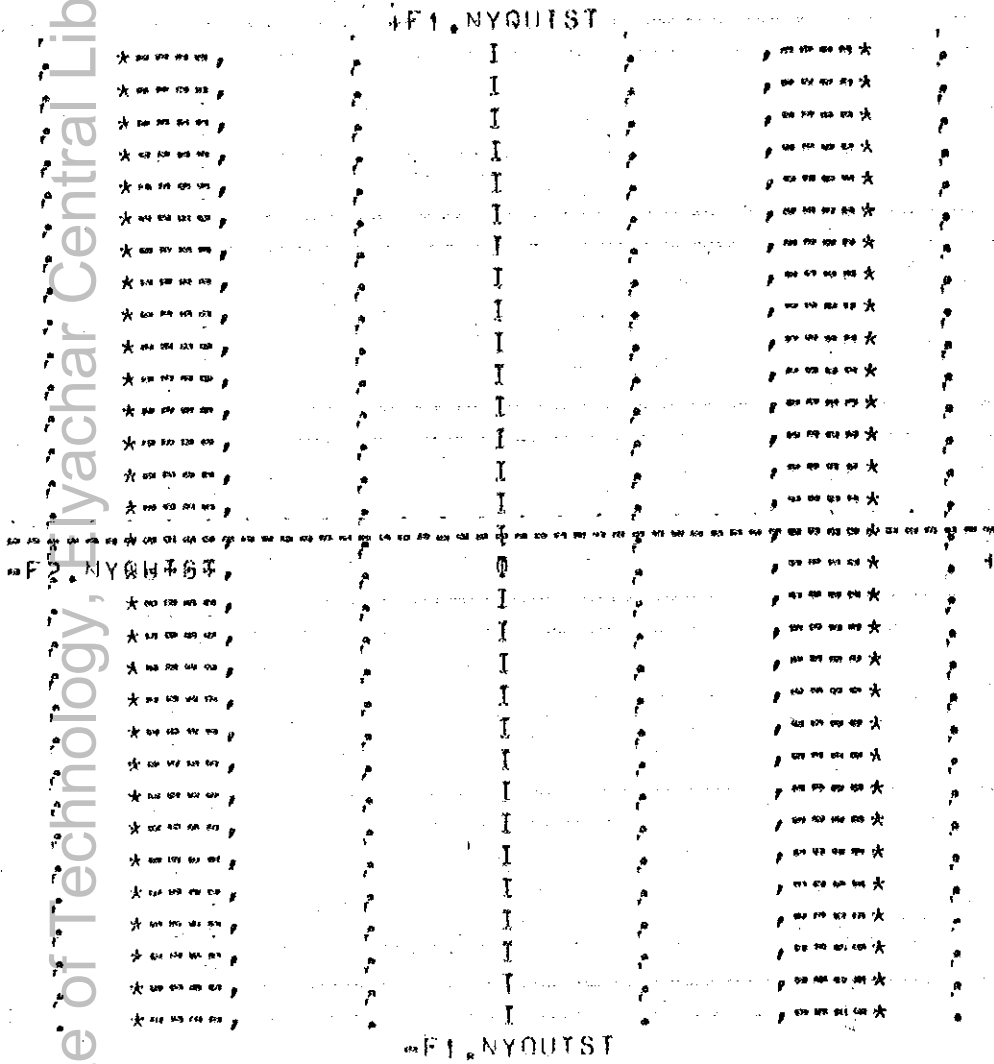


- # 0.1
- # 0.3
- # 0.5
- # 0.7
- # 0.9

אמפליטודת עקום הענות החדר של המסנן מעביר במוכים  $F(z_1, z_2)$  מסובב ב-  $45^\circ$

צ'ור 7.3

FIG 7.3 AMPLITUDE RESPONSE OF LOW PASS FILTER  $F(z_1, z_2)$  ROTATED  $45^\circ$ .



+F2.NYQUIST

+F1.NYQUIST

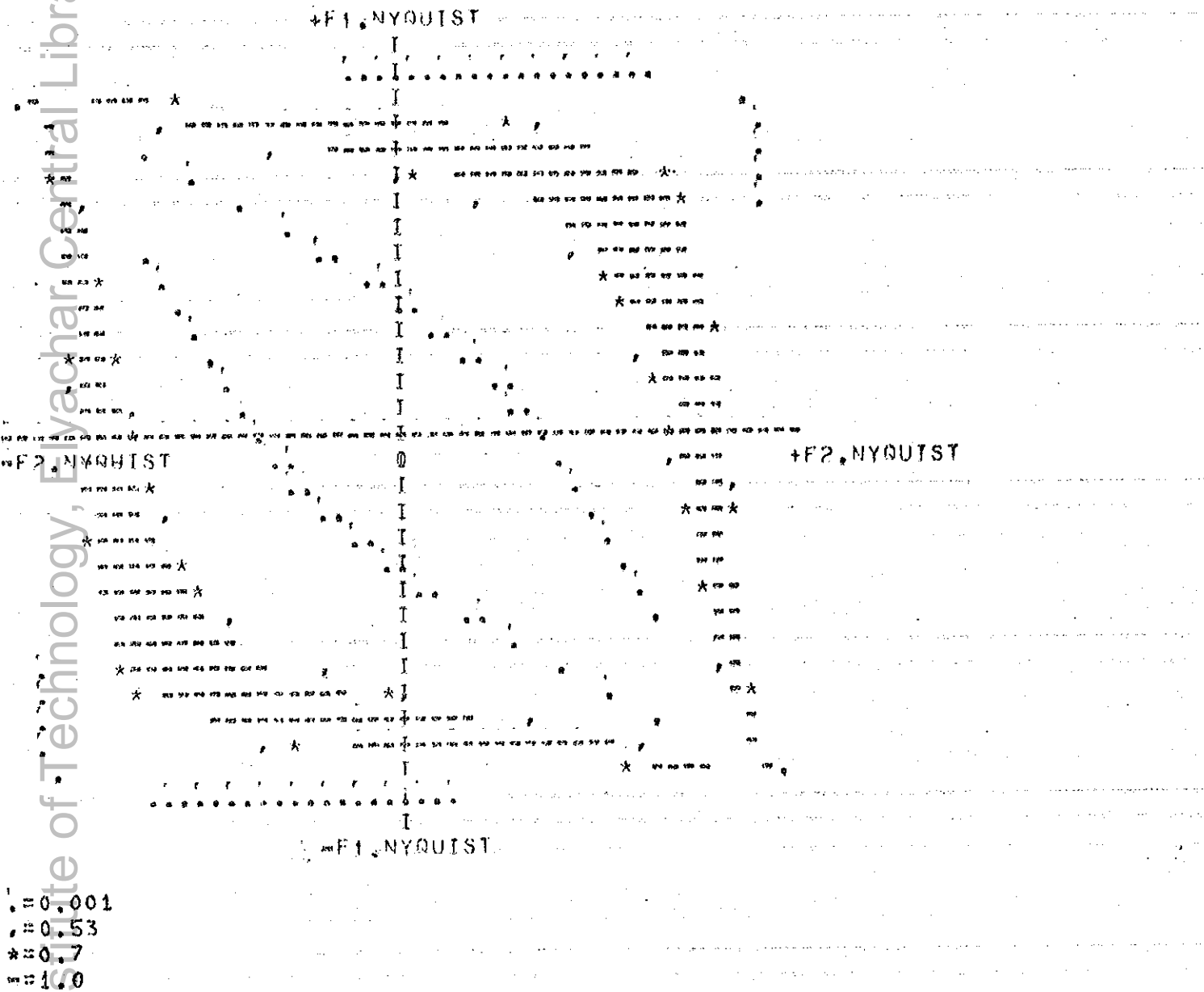
0.001  
0.53  
0.7  
1.0

אמפליטודת עקום ההענות של מסגון מעביר סרט

7.4 ציור

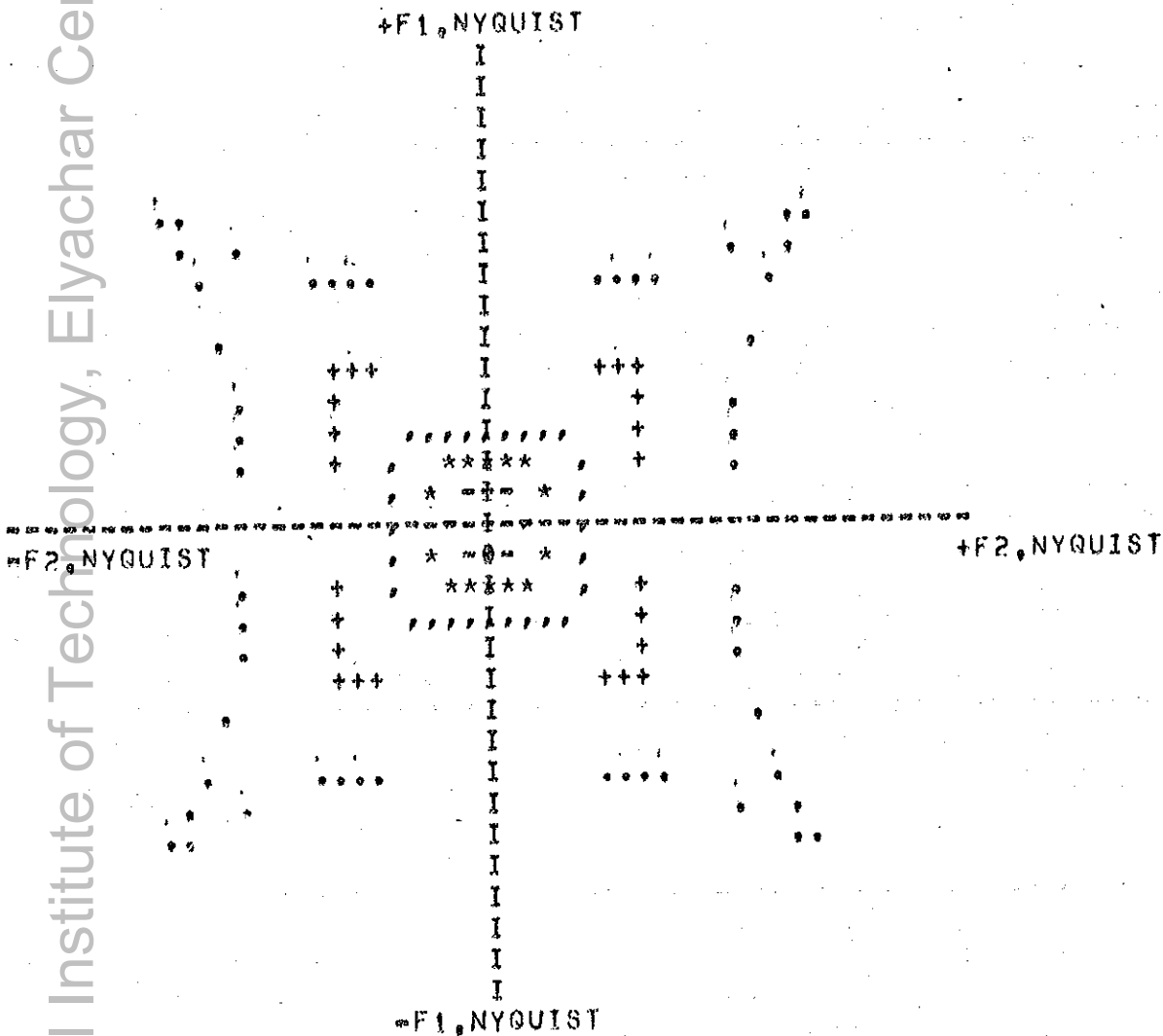
FIG 7.4 AMPLITUDE RESPONSE OF BANDPASS FILTER





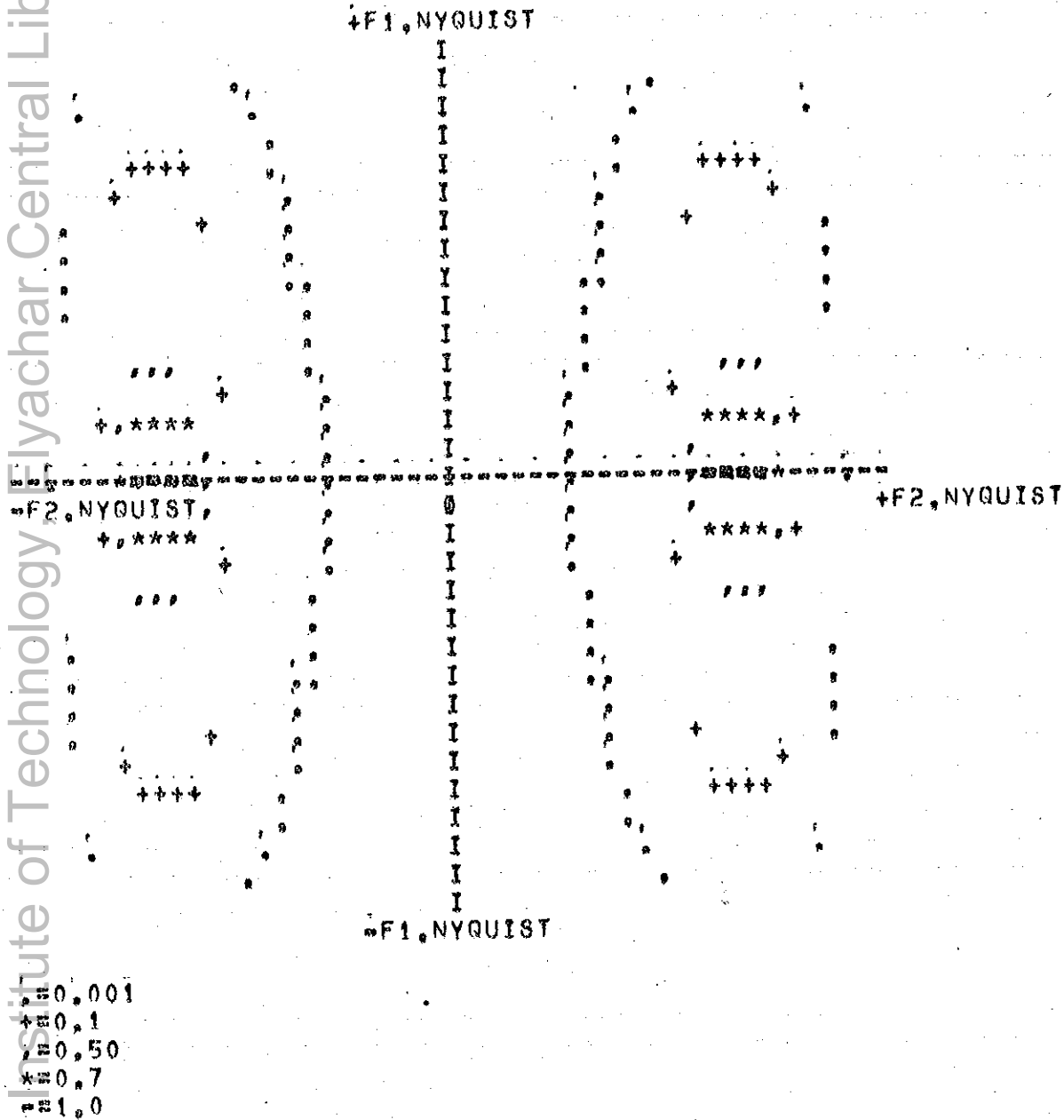
ציר 7.5 אמפליטודת עקום ההענות של מסנן מעביר פס  $\theta = -45^\circ$

FIG 7.5 AMPLITUDE RESPONSE OF BANDPASS FILTER ROTATED BY  $\theta = -45^\circ$



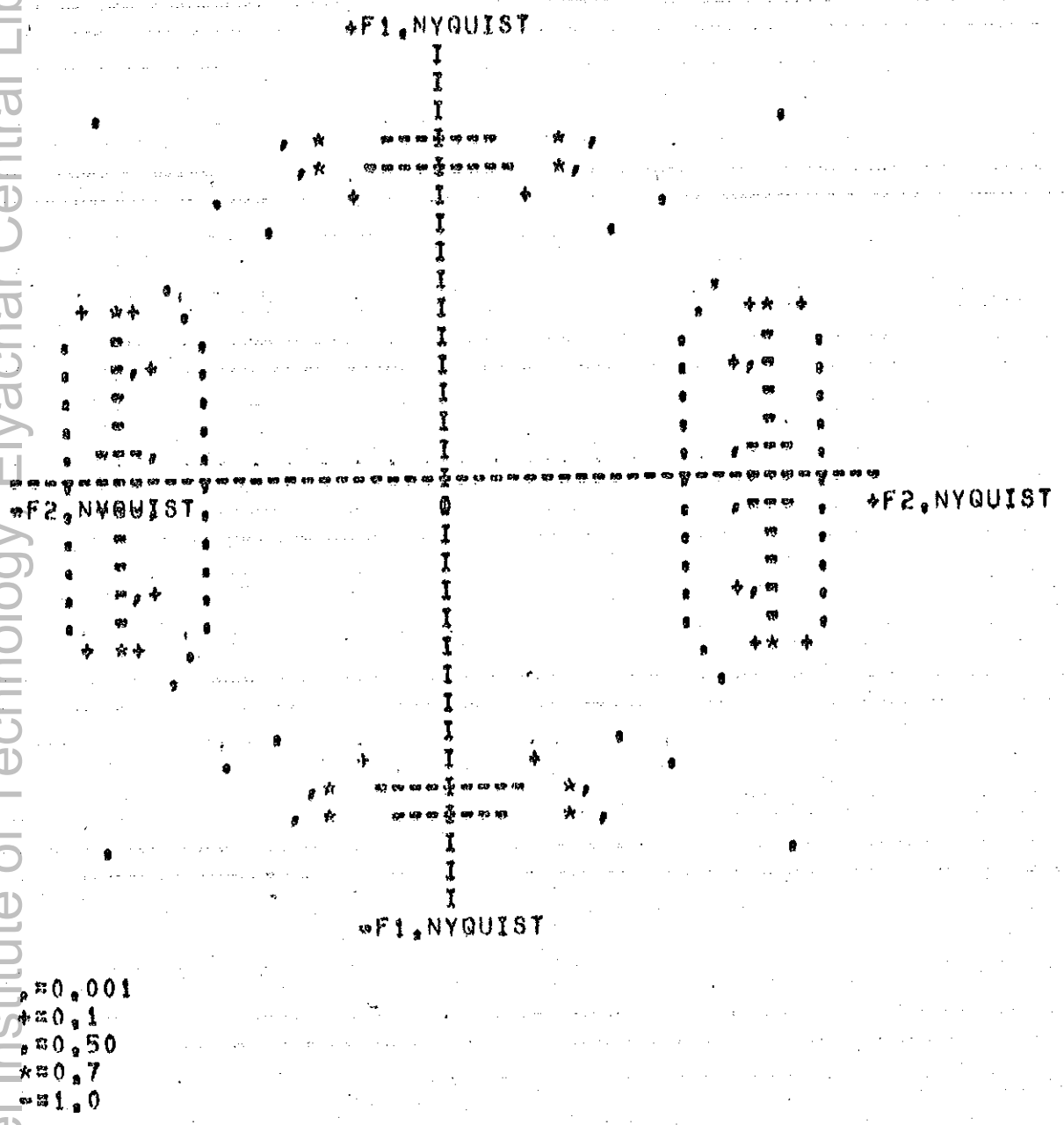
ציור 7.6 חיבור שני מסננים מעבירי נמוכים בטור האחד מוזז ב-  $45^\circ$  והשני ב-  $135^\circ$ .

FIG 7.6 CASCADE OF TWO LOW-PASS FILTERS ROTATED BY  $45^\circ$  AND  $135^\circ$ .



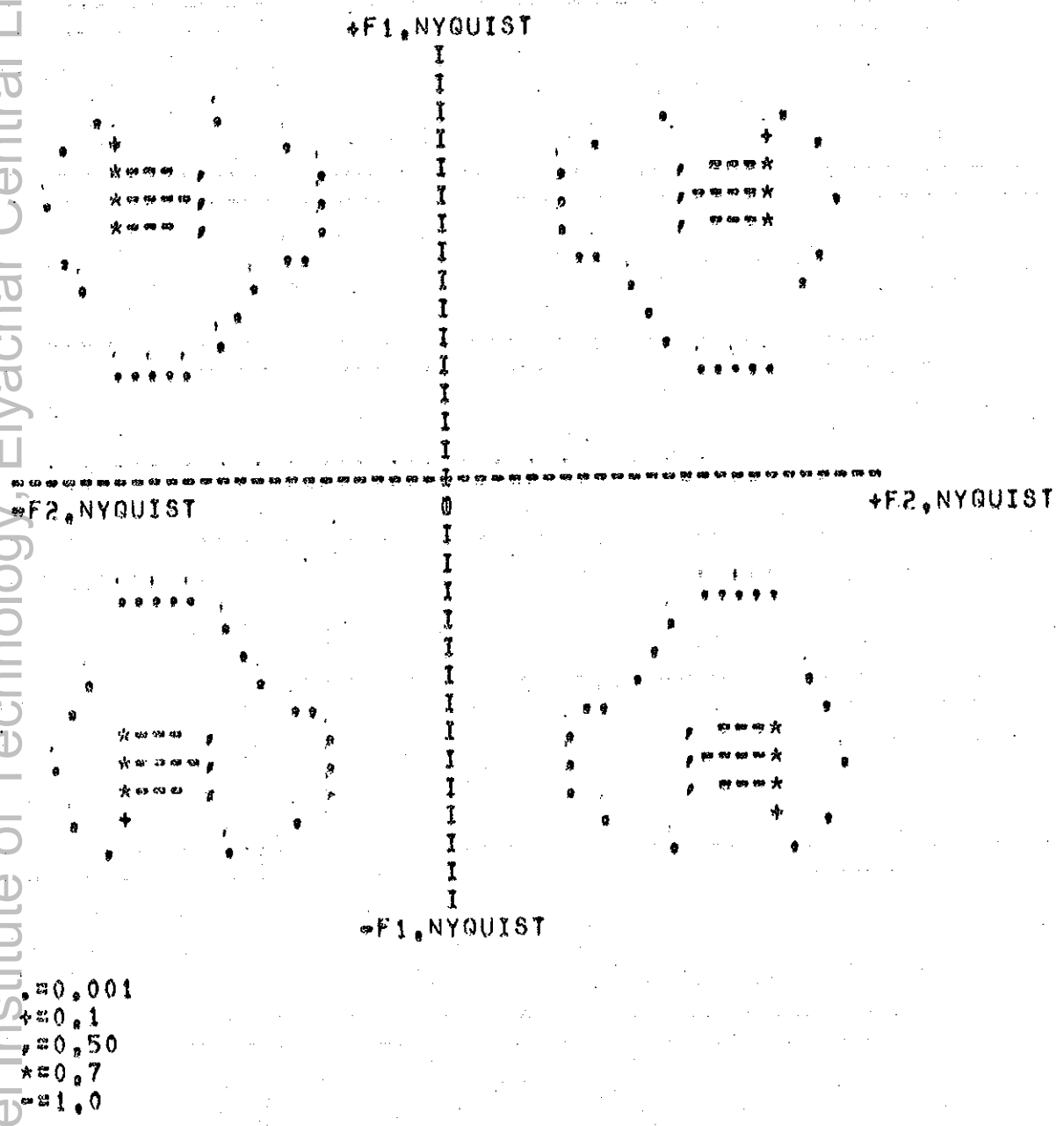
ציור 7.7 חיבור בטור של מסנן מעביר פס, עם מסנן מעביר נמוכים מסובב ב  $90^\circ$ .

FIG. 7.7 CASCADE OF BANDPASS FILTER WITH LOW-PASS ROTATED BY  $90^\circ$ .



7.8 ציור  
 חיבור בטור של מסנן מעביר פס מסובב ב- $45^\circ$   
 עם מסנן מעביר פס מסובב ב- $-45^\circ$ .

FIG. 7.8 CASCADE OF TWO BANDPASS FILTERS ROTATED BY  
 $45^\circ$  AND  $-45^\circ$ .



ציור 7.9 חיבור בטור של מסנן מעביר פס שאינו מסובב עם מסנן מעביר פס מסובב ב-  $90^\circ$ .

FIG 7.9 CASCADE OF TWO BANDPASS FILTERS ROTATED BY  $0^\circ$  AND  $90^\circ$ .

במקרים רבים המסנן הדו ממדי שאנו זקוקים לו יהיה בעל סמטריה מעגלית מסנן מעביר נמוכים בעל סימטריה מעגלית, אפשר לקבל ע"י חיבור טורי של מספר מסננים מעבירי נמוכים המסובבים בצורה סימטרית. חיבור של  $m$  מסננים מעבירי נמוכים המסובבים בצורה סימטרית יתן לנו מסנן שצורתו מצולע משוכלל בעל  $2m$  צלעות. ככל ש-  $m$  יהיה גבוה יותר המצולע יקרב טוב יותר מעגל.

כדי להדגים זאת בחרתי במסנן מעביר הנמוכים מסדר ראשון המופיע בציור (7.10). (ברור שמסננים מסדר גבוה יותר יתנו תוצאות טובות יותר).

בציור (7.10) רואים חיבור טורי של מסנן מעביר נמוכים שאינו מסובב עם מסנן מעביר נמוכים המסובב ב-  $90^\circ$ . התוצאה היא מסנן שצורתו ריבוע.

חיבור ארבעה מסננים מעבירי נמוכים המסובבים בצורה סימטרית נראה בציור (7.11). כאן מקבלים מצולע בין שמונה צלעות. מסנן זה מקרב כבר די יפה מסנן בעל סימטריה מעגלית.

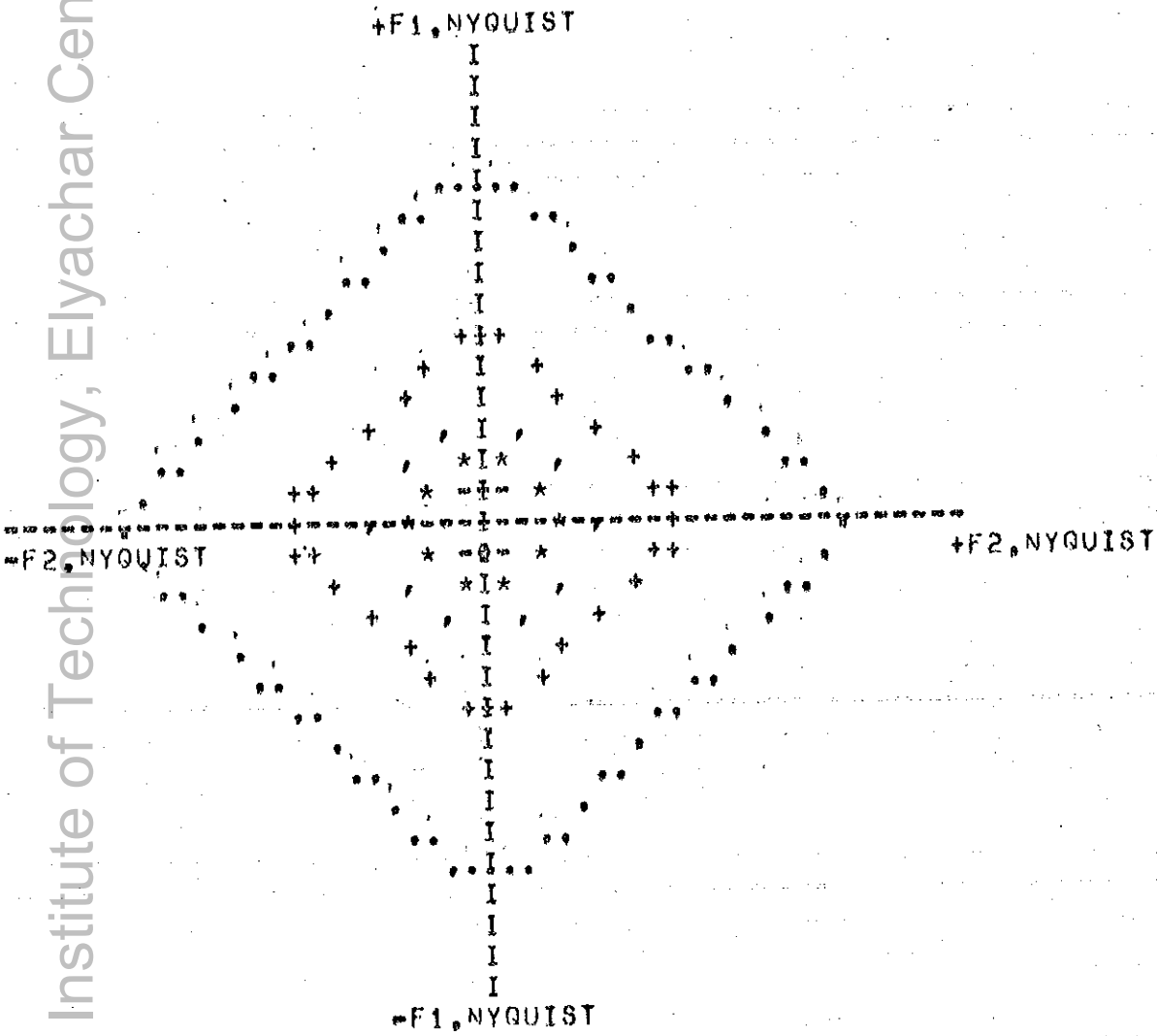
קרוב טוב יותר למעגל נראה בציור (7.12) כאן חוברו בטור ששה מסננים מעבירי נמוכים המסובבים בצורה סימטרית.

קימים מספר פרמטרים שבתן לשלוט עליהם בתכנון מסננים מעבירי נמוכים בעלי סמטריה מעגלית. שני הפרמטרים החשובים הם: תדירות הקטעון, ותלילות ירידת המסנן באיזור המעבר. תדירות הקטעון מושפעת בעיקר מבחירת תדירות הקטעון של המסנן האנלוגי שמימנו אנו יוצאים, וממספר המסננים המחוברים בטור. ברור שככל שמספר המסננים המחוברים בטור יהיה גדול יותר תדירות הקטעון תהיה נמוכה יותר (השווה ציור (7.11) לציור (7.12)).

תלילות ירידת המסנן באיזור המעבר, תלויה במספר הקטבים, בסוגו של המסנן האנלוגי ממנו אנו יוצאים, ובמספר המסננים המסובבים סימטרית, המרכיבים את המסנן.

ברור שככל שהמסנן האנלוגי חד יותר באיזור המעבר, כן תהיה תלילות הירידה באיזור המעבר של המסנן הסימטרי הדו ממדי חדה יותר.

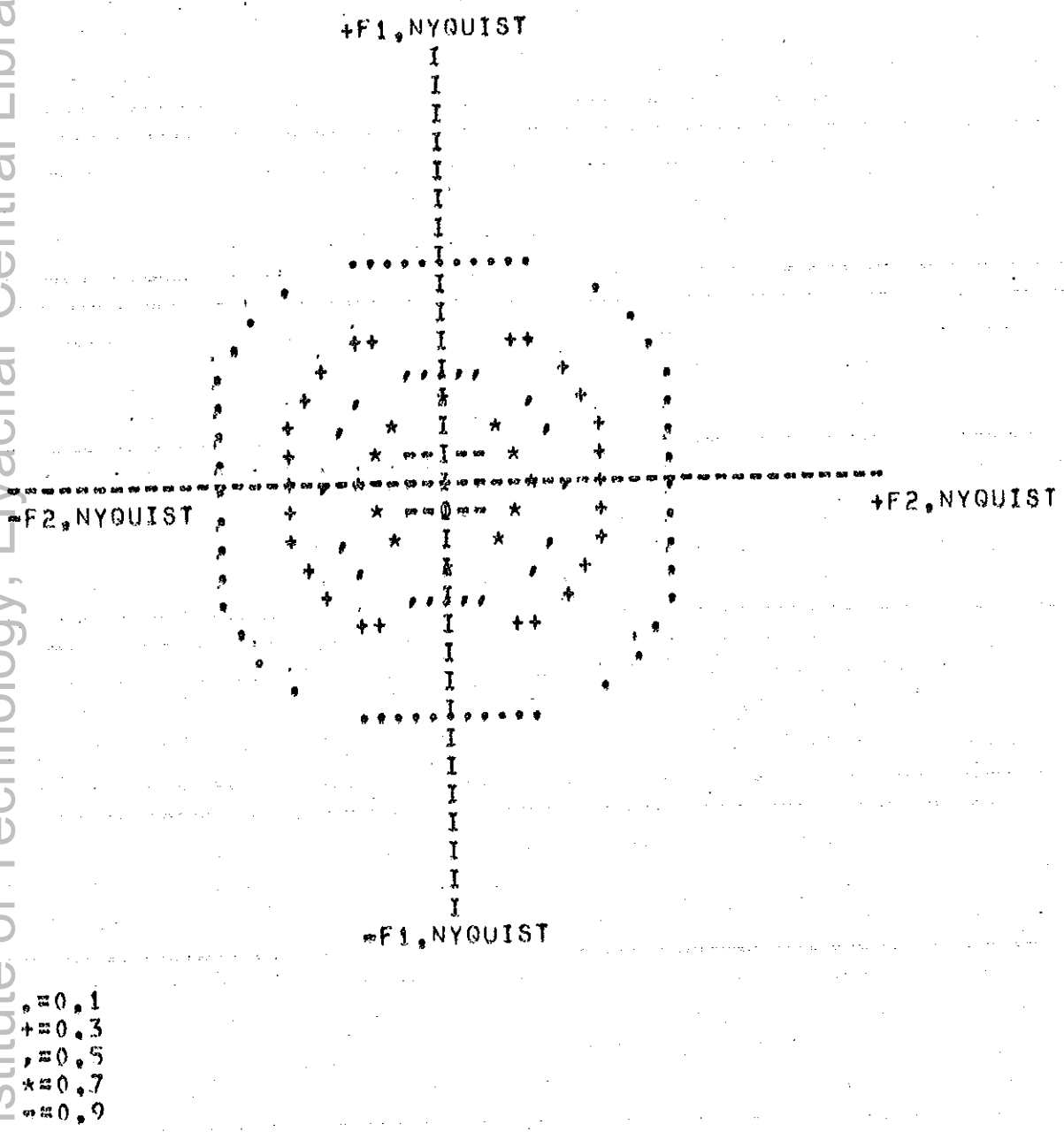
כמו כן ברור שככל שנשתמש לבניית המסנן הסימטרי הדו-ממדי, במספר רב יותר של מסננים המסובבים סימטרית, תהיה תלילות הירידה באיזור המעבר גדולה יותר. דיון מקיף יותר בנושא מסננים סימטריים דו ממדיים בעלי סימטריה מעגלית אפשר למצוא במאמר [11].



חיבור טורי של שני מסננים מעבירי נמוכים האחד מסובב  
 ב-  $90^\circ$  והשני אינו מסובב.

ציר 7.10

FIG. 7.10 CASCADE OF TWO LOW-PASS FILTERS ROTATED BY  
 $90^\circ$  AND  $0^\circ$ .

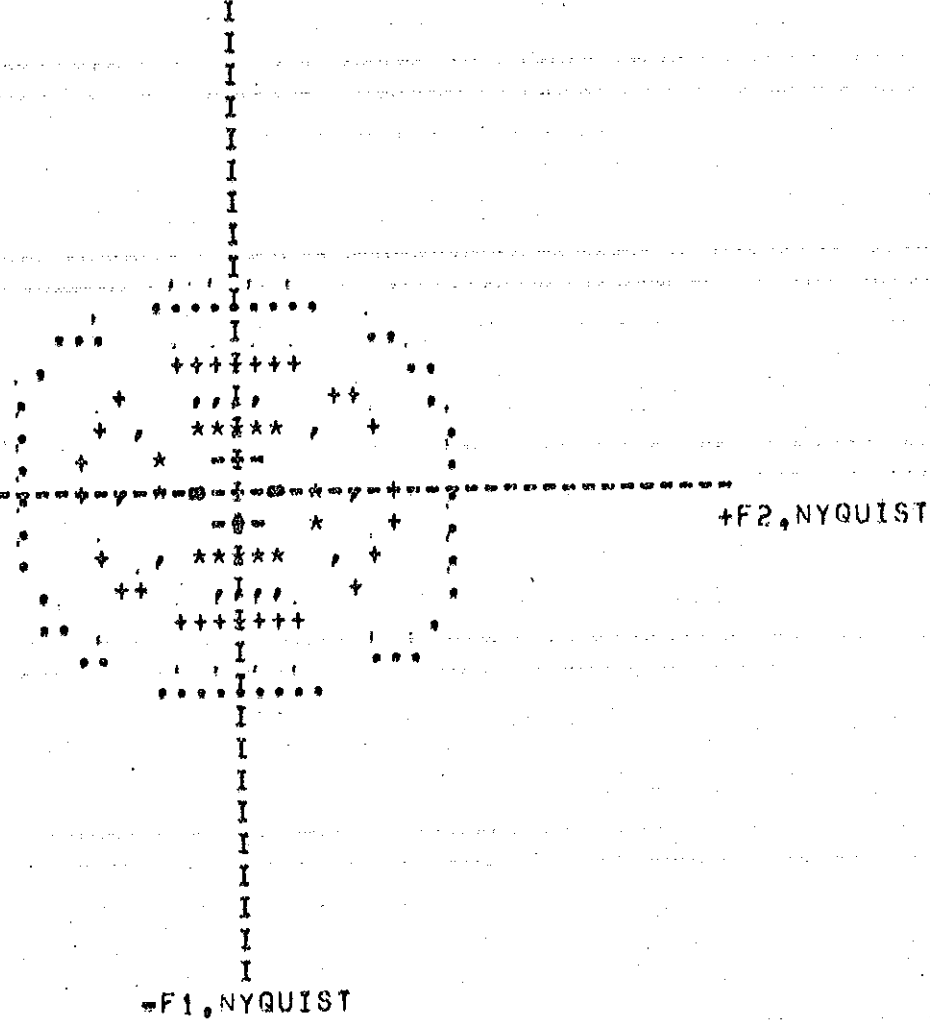


ציור 7.11 חיבור טורי של ארבעה מסננים מעבירי במוכים המסובבים בצורה סימטרית

FIG - 7.11 CASCADE OF FOUR LOW-PASS FILTERS WHOSE ANGLES OF ROTATION ARE UNIFORMLY DISTRIBUTED OVER 180°.



+F1, NYQUIST



- # 0.1
- + 0.3
- . 0.5
- \* 0.7
- # 0.9

ציור 7.12 חיבור טורי של ששה מסננים מעבירי נמוכים המסובבים בצורה סימטרית.

7.12 ציור

FIG 7.12 CASCADING OF SIX LOW PASS FILTERS WHOSE ANGLES OF ROTATION ARE UNIFORMLY DISTRIBUTED OVER 180°.

מעבין במיוחד המקרה בו הפזה מתאפסת עבור כל התדרים.

למסנן כזה התכונה, שתגובתו לדגם יחידה היא סימטרית יחסית לראשית עבור כל רדיוס.

$$G(z_1, z_2) = F(z_1, z_2) \cdot F(1/z_1, 1/z_2) \quad \text{נחבונן במסנן}$$

עבור  $z_1 = e^{-j\omega_1}$ ,  $z_2 = e^{-j\omega_2}$ , המסנן  $F(e^{-j\omega_1}, e^{-j\omega_2})$  והמסנן  $G(e^{j\omega_1}, e^{j\omega_2})$  הם צמודים זה לזה. מסיבה זו יהיה המסנן  $F(e^{j\omega_1}, e^{j\omega_2})$  ממשי.

$$G(e^{-j\omega_1}, e^{-j\omega_2}) = |F(e^{-j\omega_1}, e^{-j\omega_2})|^2$$

אפשר לקבל מסנן עם פזה אפס גם בצורה הבאה.

$$H(z_1, z_2) = F(z_1, z_2) + F(1/z_1, 1/z_2)$$

המסנן  $H(e^{j\omega_1}, e^{j\omega_2})$  נתון ע"י

$$H(e^{-j\omega_1}, e^{-j\omega_2}) = 2 \operatorname{Re}[F(e^{j\omega_1}, e^{j\omega_2})]$$

אם רוצים לקבל מסנן סימטרי סביב  $\omega$  בעל פזה אפס עבור כל תדר. אפשר לקבל את המסנן באחת משתי הצורות הבאות:

$$G_1(z_1, z_2) = F(z_1, z_2) \cdot F(1/z_1, z_2)$$

$$H_1(z_1, z_2) = F(z_1, z_2) + F(1/z_1, z_2) \quad \text{או}$$

המסננים הבאים סימטריים כלפי  $\omega_1$  ו- $\omega_2$  והפזה שלהם מתאפסת.

$$G_2(z_1, z_2) = F(z_1, z_2) \cdot F(1/z_1, z_2) \cdot F(z_1, 1/z_2) \cdot F(1/z_1, 1/z_2)$$

$$H_2(z_1, z_2) = F(z_1, z_2) + F(1/z_1, z_2) + F(z_1, 1/z_2) + F(1/z_1, 1/z_2)$$

יציבות של מסננים מסובבים.

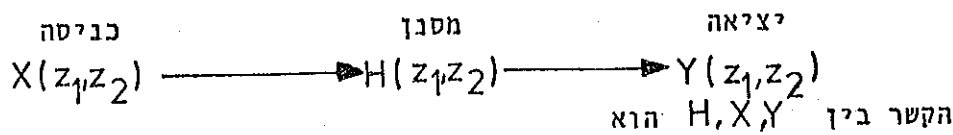
7.1.1

בכל הדוגמאות שהובאו בדפים הקודמים לא הוזכרה בעיה היציבות. יהיה  $F(z_1, z_2)$  מסנן רקורסיבי דו ממדי יציב. אין שום בטחון שהמסנן המתקבל ע"י סיבוב מסנן זה יהיה גם הוא יציב. יש לבדוק כל מקרה לגופו של ענין.

במאמר [11] מוכחת העובדה הבאה :

נתון מסנן חד ממדי אנלוגי יציב. נסובב מסנן זה בזווית  $\theta$  במישור  $(s_1, s_2)$  ונפעיל את העתקת  $z$  הביילינארית הדו-ממדית. נקבל מסנן ספרתי דו-ממדי. מסנן זה יציב אם  $270^\circ \leq \theta \leq 360^\circ$ . במציאות ישנם מקרים שבהם יש צורך להשתמש במסננים המסובבים בזווית אחרת מאשר  $270^\circ \leq \theta \leq 360^\circ$ . מסננים אילו אינם יציבים. ראינו שיטות אחדות ליצוב מסננים בלתי יציבים, אולם במקרה של מסננים מסובבים, אפשר ליצב את המערכת בשיטה שונה.

תגובת החדר של המסנן  $R(1/z_2 z_1)$  מסובבת ב-  $90^\circ$  יחסית לתגובת החדר של  $R(z_1 z_2)$ . תגובת החדר של המסנן  $R(1/z_1 1/z_2)$  מסובבת ב-  $180^\circ$  מעלות יחסית לתגובת החדר של המסנן  $R(z_1, z_2)$ . החלפה של  $z_2$  ב-  $1/z_2$  בביטוי  $R(z_1, z_2)$  אקוולנטית להחלפת סדר העמודות במערך  $r(i, j)$ , החלפה בין  $z_1$  ו-  $z_2$  בביטוי  $R(z_1, z_2)$  אקוולנטית להחלפה בין השורות והעמודות במערך  $r(i, j)$ . נביט במערך



$$Y(z_1, z_2) = H(z_1, z_2) \cdot X(z_1, z_2)$$

נחבונן עתה בדוגמא הבאה :

$$\begin{array}{ccccccc}
 \text{כניסה} & & \text{סבוב ב } 90^\circ & & \text{מסנן} & & \text{יציאת המסנן} & & \text{סביבוב ב- } 90^\circ \\
 X(z_1, z_2) & \rightarrow & X(z_2, 1/z_1) & \rightarrow & H(z_1, z_2) & \rightarrow & H(z_1, z_2) \cdot X(z_2, 1/z_1) & \rightarrow & H(z_2, 1/z_1) \cdot X(z_1, z_2)
 \end{array}$$

מדוגמא זו רואים שסיבוב ב-  $90^\circ$  של מסנן נתון אקוולנטי לסיבוב המערך בכניסה למסנן הנתון ב-  $90^\circ$  וסיבוב ב-  $-90^\circ$  של המערך ביציאה מהמסנן. בשתמש בעובדה זו

ליצוב מסנן שאינו יציב. נחבונן בדוגמא הבאה: מעונינים במסנן שמסובב ב-  $250^\circ$ . כפי שראינו מסנן זה אינו יציב כדי להתגבר על בעיה זו נבצע את השלבים הבאים:

א. נבנה מסנן המסובב בזווית  $90^\circ + 250^\circ = 340^\circ$ . מסנן זה הוא יציב.

ב. נשנה את סדר השורות ונחליף בין העמודות והשורות של מערך הכניסה.

פעולות אלו אקוולנטיות לסיבוב ב-  $90^\circ$  של מערך הכניסה.

ג. נבצע קונבולוציה.

- ד. נשנה את סדר העמודות ביציאת המסנן בסדר ההפוך לזה שבוצע בסעיף ב', ונחליף בין השורות והעמודות. יציאת המסנן תהיה זהה ליציאה שהיינו מקבלים, לו היינו מבצעים קונבולוציה בין מערך הכניסה כמו שהוא ובין מסנן המסובב  $250^\circ$ .  
 מסקנה: אם נתון מסנן מסובב בזווית  $0^\circ < \theta < 270^\circ$  בונים מסנן מסובב בזווית  $\epsilon = \theta + k \cdot 90^\circ$  (א שלם) כך ש  $270^\circ \leq \epsilon \leq 360^\circ$ . מסובבים את מערך הכניסה בזווית  $-k \cdot 90^\circ$  ואת מערך היציאה בזווית  $k \cdot 90^\circ$ . המערך המתקבל ביציאה זהה לזה שהיה מתקבל לו היינו מכניסים את מערך הכניסה כמו שהוא, למסנן הבלתי יציב המסובב בזווית  $\theta$ .  
 בשיטה המתוארת ייצבנו מסנן בלתי יציב בשיטה השונה מהשיטות המתוארות בפרק 6.

7.2 תכנון מסננים רקורסיביים דו ממדיים עיני דגימת תגובת התדר

תגובת התדר של מסנן עם תגובת דגם יחידה סופית נתון עיני

$$H(e^{j\omega_1}, e^{j\omega_2}) = \sum_{m=0}^{M-1} \sum_{n=0}^{N-1} h(m,n) e^{-j(\omega_1 m + \omega_2 n)}$$

את  $h(m,n)$  נתן לבטא עיני הביטוי

$$h(m,n) = \frac{1}{MN} \sum_{k=0}^{M-1} \sum_{l=0}^{N-1} H(k,l) e^{j2\pi(km/M + nl/N)}$$

כאשר  $H(k,l)$  הוא ה-D.F.T של  $h(m,n)$  עיני שלוב של שתי הנוסחאות אפשר לרשום

$$H(e^{j\omega_1}, e^{j\omega_2}) = \sum_{m=0}^{M-1} \sum_{n=0}^{N-1} \left[ \frac{1}{MN} \sum_{k=0}^{M-1} \sum_{l=0}^{N-1} H(k,l) e^{j2\pi(km/M + nl/N)} e^{-j(\omega_1 m + \omega_2 n)} \right]$$

אם נשנה את סדר הסיכום ונכתוב על  $m, n$  בקבל את הביטוי הבא :

$$H(e^{j\omega_1}, e^{j\omega_2}) = \sum_{k=0}^{M-1} \sum_{l=0}^{N-1} H(k,l) \cdot A(k,l,\omega_1,\omega_2) \quad (7.10)$$

$$A(k,l,\omega_1,\omega_2) = \frac{1}{M \cdot N} \cdot \frac{1 - e^{-jM\omega_1}}{1 - e^{j(2\pi k/M - \omega_1)}} \cdot \frac{1 - e^{-jN\omega_2}}{1 - e^{j(2\pi l/N - \omega_2)}} \quad (7.11)$$

עיני ההצבה  $z_2 = e^{-j\omega_2}$ ,  $z_1 = e^{-j\omega_1}$

וקבל

$$A(k,l,z_1,z_2) = \frac{1}{M \cdot N} \cdot \frac{1 - z_1^M}{1 - z_1 e^{j2\pi k/M}} \cdot \frac{1 - z_2^N}{1 - z_2 e^{j2\pi l/N}} \quad (7.12)$$

אם  $h(m,n)$  ממשי (רזה המקרה שלנו) יתקיים השוויון  $H(k,l) = H^*(M-k, l)$

אם נרשום  $H(k,l) = |H(k,l)| e^{j\theta(k,l)}$  (7.13)

אזי  $H(M-k,l) = |H(k,l)| e^{-j\theta(k,l)}$

נביח ש-  $l$ ,  $k$  הם זוגיים (דיון דומה עבור  $k, l$  בלתי זוגיים). נסכם ראשית את  $k$  ונציב את נוסחאות (7.13) ב- (7.12) נקבל

$$\begin{aligned}
 H(z_1, z_2) &= \frac{1}{M \cdot N} \sum_{l=0}^{N-1} \left[ \frac{1 - z_2^N}{1 - z_2 e^{j2\pi l/N}} \sum_{k=0}^{M-1} \frac{1 - z_1^M}{1 - z_1 e^{j2\pi k/M}} \cdot H(k, l) \right] \\
 &= \frac{1}{2M \cdot N} \sum_{l=0}^{N-1} \left[ \frac{1 - z_2^N}{1 - z_2 e^{j2\pi l/N}} \cdot \sum_{k=0}^{M-1} \frac{H(k,l)(1 - z_1^M) + H(M-k,l)(1 - z_1^M)}{1 - z_1 e^{j2\pi k/M} + 1 - z_1 e^{j2\pi(M-k)/M}} \right] \\
 &= \frac{1}{M \cdot N} \sum_{k=0}^{M-1} \sum_{l=0}^{N-1} \operatorname{Re}(H(k,l)) \cdot \frac{1 - z_1^M - z_1 \cos \frac{2\pi k}{M} - 2z_1^{M+1} \cos \frac{2\pi k}{M}}{1 + z_1^2 - 2z_1 \cos \frac{2\pi k}{M}} \\
 &\quad \cdot \frac{1 - z_2^N - z_2 \cos \frac{2\pi l}{N} - 2z_2^{N+1} \cos \frac{2\pi l}{N}}{1 + z_2^2 - 2z_2 \cos \frac{2\pi l}{N}} \quad (7.14)
 \end{aligned}$$

אם נוסחה (7.14) נתן לממש בעזרת מסננים רקורסיביים דו-ממדים  $N_1 \times N_2$  המחברים במקביל.

שימוש במימוש זה כדאי רק כאשר  $H(k,l)$  מתאפס כמעט עבור כל הנקודות  $(k,l)$  ואז מספר המסננים המחברים במקביל יהיה קטן. (יש לציין שאת כל אחד מהמסננים המחברים במקביל אפשר לממש ע"י חיבור טורי של מסננים רקורסיביים חד ממדיים).

אם הספקטרום אינו מתאפס עבור רוב הדגימות אפשר לממש את המסנן בצורה הנאה. נניח שנתון הספקטרום הרצוי של מסנן ספרתי דו ממדי. ע"י דגימת תגובת התדר אפשר למצוא מסנן F.I.R שמקרב את הספקטרום הנתון. מקדמי מסנן F.I.R הם התגובה לדגם יחידה של המסנן. בעזרת תוכנית המחשב הנתונה בנספח ו, נתן לחשב מסנן רקורסיבי בעל ממדים רצויים, שיקרב את תגובת המסנן F.I.R לדגם יחידה. ולכן הספקטרום של המסנן הרקורסיבי יקרב את הספקטרום המקורי הרצוי. השיטה לתכנון מסנן F.I.R הנתונה במאמר [13] דורשת זמן מחשב רב (כ-6 דקות עבור 27 דגימות) על מנת להדגיש את הרעיון, אפשר את התוכנית לשלביט הבאים.

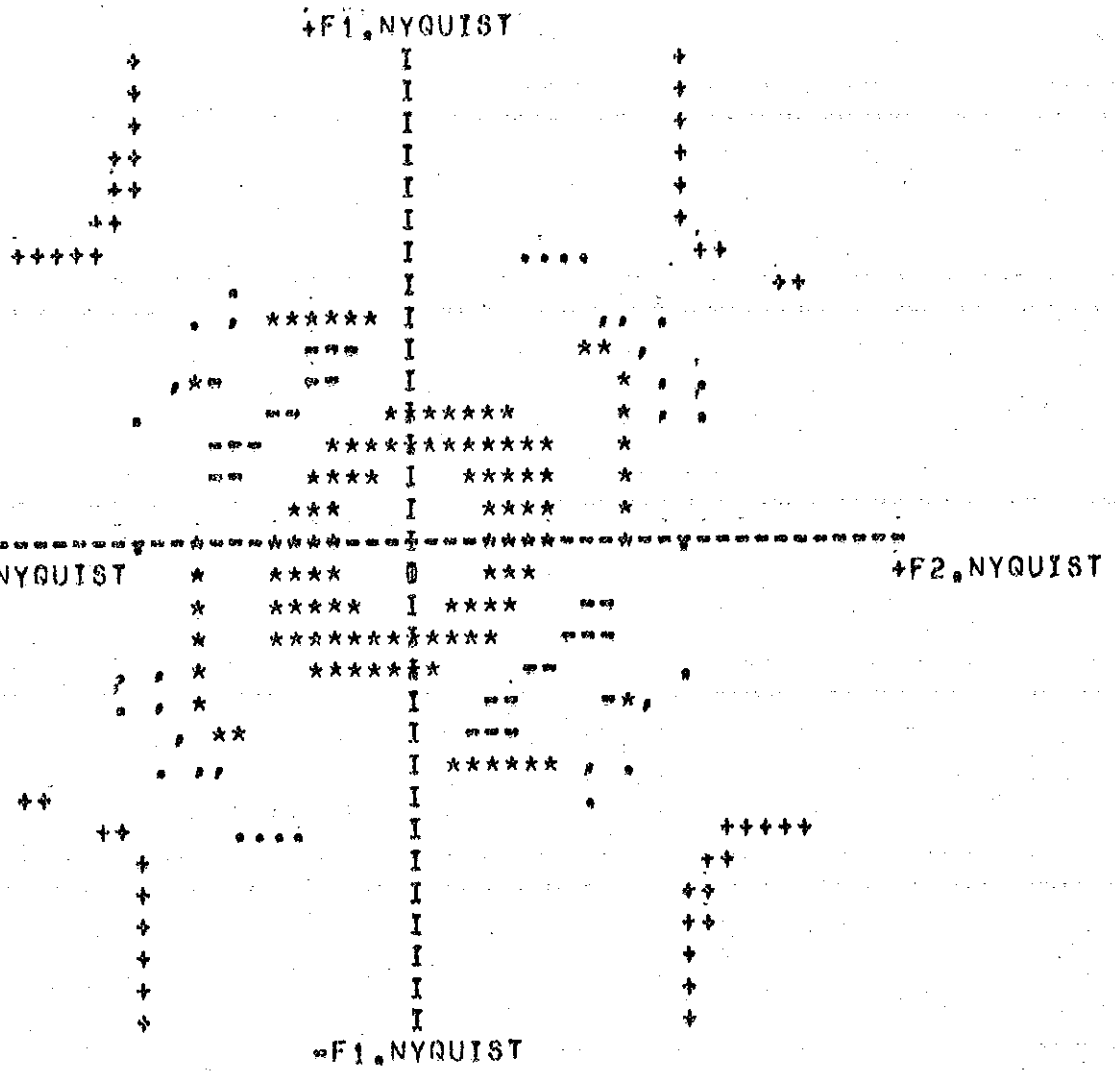
- א. נתון ספקטרום של מסנן רצוי.
- ב. דוגמים את הספקטרום (רצוי במספר דגימות גדול ככל האפשר בדרך כלל מוסיפים חלון החלקה בשלב זה).
- ג. על הדגימות במישור התדר מפעילים I.D.F.T (בעזרת תוכנית HARM [17]). מקבלים דגימות במרחב, שהם למעשה התגובה לדגם יחידה של המסנן הרצוי.
- ד. בעזרת התוכנית בנספח ו מחשבים מסנן רקורסיבי בעל מימד רצוי שתגובתו לדגם יחידה קרובה ככל האפשר לזו הנתונה בסעיף ג'. הדוגמא המעשית שהורצה היא הבאה. ברצוננו לתכנן מסנן רקורסיבי מעביר במוכים בעל סנטריה מעגלית.

תחום המעבר הוא ברדיוס  $f = \frac{f_{Nyquist}}{2}$  כלומר  $f_1^2 + f_2^2 \leq f^2$

נדגם מחזור אחד בתחום התדר ב-  $64 \times 64$  דגימות. הדגימות הניזולות בתחום המעבר קבלו את הערך "0" והדגימות מחוץ לתחום המעבר קבלו את הערך "1". מאחר והפזה היא אפט התמרת פוריה דיסקרטית הפוכה תקבל ערכים ממשיים. בעזרת התוכנית הנתונה בנספח ו חושב מסנן רקורסיבי דו מימדי בגודל  $(3 \times 3)$  שתגובתו לדגם יחידה מקרבת את התמרת פוריה הדיסקרטית הפוכה שחושבה. ספקטרום המסנן הרקורסיבי שהתקבל נראה בצירור 7.13. רואים את הדמיון הרב בין הספקטרום שהתקבל לעומת הספקטרום שממנו יצאנו אולם המסנן שהתקבל רחוק עדיין מלספק אותנו. הסיבות לעוות בספקטרום שהתקבל הם הבאות:

- א. המעברים החדים שקבענו בין תחום המעבר והתחום שהמסנן אינו מעביר. צריך לקבוע תחום מעבר שבו יקבלו הדגימות ערכים בין 0 ל-1. ערכים אלו נקבעים ע"י תוכנית אופטימיזציה [13]
- ב. המסנן הרקורסיבי שתכננו הוא מסדר  $(3 \times 3)$ . כדי לקבל תוצאות טובות יותר עלינו להגדיל את סדר המסנן.

אם ברצוננו לישים את הכתוב בשני הסעיפים למעלה עלינו להגדיל את זמן המחשב לסדר גודל של עשרות דקות. מסיבה זו לא יושמו המלצות אלו בעבודה זו.



H 0,3  
 H 0,1  
 H 0,50  
 H 0,7  
 H 1,0

אמפליטודת עקום הענות התדר של מסנן מעביר נמוכים. צילור 7.13

FIG. 7.13 AMPLITUDE RESPONSE OF LOW PASS FILTER.



7.3 תכנון מסננים רקורסיביים דו ממדיים עיני שימוש בשיטה

[16] DIFFERENTIAL-CORRECTION

לאחרונה נוספה שיטה חדשה לתכנון מסננים רקורסיביים דו-ממדיים. שיטה זו מבוטאת על קרוב פונקציה נתונה עיני מנה של שני פולינומים עם שני משתנים. בשיטה זו נתון לנו הריבוע של אמפליטודת המסנן הרצוי  $I(e^{ju}, e^{jv})$  אשר אותו אנו רוצים לקרב עיני מנה של שני פולינומים.  $R(e^{ju}, e^{jv})$  הוא הקרוב של  $I(e^{ju}, e^{jv})$  .  $H=A/B$  הוא המסנן המקורב. אפשר לכן לרשום.

$$I(e^{ju}, e^{jv}) \cong R(e^{ju}, e^{jv}) = \frac{P(u,v)}{Q(u,v)} = \frac{|H(e^{ju}, e^{jv})|^2}{|B(e^{ju}, e^{jv})|^2} \quad (7.15)$$

$$= \frac{A(e^{ju}, e^{jv}) A^*(e^{ju}, e^{jv})}{B(e^{ju}, e^{jv}) B^*(e^{ju}, e^{jv})}$$

$$A = \sum_k \sum_l a(k,l) e^{jku} e^{jlv} \quad \begin{matrix} A & \text{נתון עיני} \\ B & \text{נתון עיני} \end{matrix}$$

$$B = \sum_k \sum_l b(k,l) e^{jku} e^{jlv}$$

עיני פתוח האגף הימני של משוואה (7.15) מקבלים את המשוואה הבאה.

$$R(u,v) = \frac{P(u,v)}{Q(u,v)} = \frac{p(0,0) + \sum_{m,n} 2p(m,n) \cdot \cos(u \cdot m + v \cdot n)}{q(0,0) + \sum_{i,j} 2q(i,j) \cdot \cos(ui + vj)}$$

כאשר

$$p(m,n) = \sum_{r,s} a(r,s) \cdot a(r+m, s+n)$$

$$q(i,j) = \sum_{r,s} b(r,s) \cdot b(r+j, s+j)$$

$\Delta$  מציאת הפולינום  $R(u,v)$  נעשית במספר איטרציות נגזיר את השגיאה

$$\Delta = \max_{u,v} \left| I(e^{ju}, e^{jv}) - R(e^{ju}, e^{jv}) \right|$$

אנו מעוניינים למצוא את המינימום של  $\Delta$ . האלגוריתם למציאת המינימום הוא איטרטיבי, נסמן את הקרוב אחרי האיטרציה ה- $k$  כ-  $R_k(e^{ju}, e^{jv})$ . השלבים במציאת המינימום הם הבאים:

- א. חשב את השגיאה  $\Delta_k$  עבור  $R_k(e^{ju}, e^{jv})$ .
- ב. עבור הפונקציה

$$E_k(R) = \max_{u,v} \left[ \frac{|IQ-P| - \Delta_k Q}{Q_k} \right]$$

כאשר  $R = P/Q$  ו- $Q_k$  הוא המכנה של  $R_k = P_k/Q_k$  מצא  $R_{k+1}$  אשר נותן את המינימום של  $E_k$  ע"י שינוי המקדמים של  $P$  ו- $Q$ .  
 ג. אם  $E_k > 0$  עצור.  $R_k$  הוא הקרוב הטוב ביותר של  $I(u,v)$ . אם לא חזור לצעד א' והתחל את המחזור עבור  $R_{k+1}$ .  
 המינימיזציה של  $E_k$  מבוצעת בעזרת תכנות לינארי ואחרי מספר איטרציות מוצאים את  $R(u,v)$  האופטימלי.

קימות כמה חטרונות לשיטת תכנון זו שעדין לא נמצאו להם פתרונות. החטרון הראשון הוא משך הזמן הגדול הדרוש להרצת תוכנית. זמן ההרצה תלוי בסדר הפלינומים  $P$  ו- $Q$ , ובמספר הנקודות שעליהם מבוצעת האופטימיזציה, אולם סדר גודל של זמן ההרצה הוא עשרות זקות ואף למעלה משעה. כמובן שזו מגבלה רצינית המעמידה בספק את כדאיות התכנון בשיטה זו. (זו הסיבה שלא נתן היה להביא דוגמאות מעשיות במסגרת העבודה).

חטרון שני הוא הקושי במציאת המקדמים  $a(i,j), b(i,j)$  מהפלינומים  $P$  ו- $Q$  שמצאנו. הסדר של  $A$  ו- $B$  אינו סופי בהכרח, ובדרך כלל יהיה צורך להשתמש ב"חלון" על מנת להפוך את  $A$  ו- $B$  לפולינומים סופיים. לסיכום, בפרק זה הוצגו מספר שיטות לתכנון מסננים רקורסיביים דו ממדיים במישור התדר. לשיטות הקימות יש עדיין חטרונות רבים ויש להשקיע עבודה רבה כדי לשפרם כך שנוכל להשתמש בהם בצורה יעילה ומשביעת רצון.

העבודה התרכזת במסננים רקורסיביים דו ממדיים. דנו בעקר בשתי בעיות. בעית היציבות ובעית הסינטזה. הובאו המשפטים היטודיים לקביעת יציבותו של מסנן דו ממדי. הודגמו שלוש שיטות ליצוב מסננים בלתי יציבים. יצוב בעזרת P.L.S.I יצוב ע"י התמרת הילברט הדיסקרטית, ויצוב ע"י השואת ספקטרום של המסנן שאינו יציב עם הספקטרום של מסנן יציב. הוצגו מספר דוגמאות של יצוב מסננים לא יציבים לפי שלוש השיטות המוזכרות.

בשטח הסינטזה הובאה טכניקה לתכנון מסנן רקורסיבי דו ממדי כאשר נתונה התגובה לדגם יחידה הרצויה.

הוצגו טכניקות לתכנון מסננים במישור התדר באחת הטכניקות משתמשים בטרנספורמציה הבילינארית הדו-ממדית על מסנן אנלוגי וסיבוב צירי התדר. אפשר לקבל בשיטה זו מגוון מסננים דו ממדיים. בעבודה מובאות דוגמאות אחדות לתכנון מסננים בשיטה זו.

הובאה דוגמא לתכנון מסננים רקורסיביים דו ממדיים ע"י דגימת תגובת התדר, והוצגה שיטה לתכנון מסנניט בשיטת DIFFERENTIAL CORRECTION.

התשובות הקימות כיום לבעית היציבות ובעית הסינטזה אינם מושלמות. אין היום שיטה מעשית יעילה לבדיקת יציבות מסנן רקורסיבי דו ממדי, ושיטות היצוב הקימות אינם מושלמות. בשטח הסינטזה השיטות הקימות אינם כלליות ונותנות תשובה חלקית לבעיה. יש להשקיע מאמצעים נוספים על מנת למצוא שיטות כלליות ויעילות יותר מאלו הקימות כיום.

בספח 1

נתונה תגובה לדגם יחידה רצויה. התוכנית בנספח 1 מחשבת מסנן רקורסיבי דו מימדי שתגובתו לדגם יחידה מקרבת את התגובה לדגם יחידה הרצויה.

הסברים מפורטים מובאים בפרק 6.

בתוכנית בנספח 1 מובאת דוגמא הבאה :

נתון מסנן  $H_0 = A_0/B_0$ . התוכנית מחשבת את התגובה לדגם יחידה של מסנן זה. (את 36 האברים הראשונים)

התוכנית מחשבת מסנן  $H = A/B$  שתגובתו לדגם יחידה מקרבת את התגובה לדגם יחידה של המסנן.

$H = A/B$  המחושב במקרה זה צריך להיות קרוב מאוד למסנן הנתון,

ואמנם אפשר לראות זאת בתוצאת ההרצה המצורפת.

```

PROGRAM EQM(INPUT,OUTPUT)
DIMENSION A(3,3),A1(3,3),B(3,3),B1(3,3),R( 6,6 ),C(8,9)
INTEGER O, P, Q, S, T, D, E
READ 1, ((A(I,J),J=1,3),I=1,3)
READ 1, ((B(I,J),J=1,3),I=1,3)
FORMAT (9F5.2)
DO 2 M=1,6
DO 3 N=1,6
S1=0
DO 4 K=1,3
DO 5 L=1,3
IF((K*L).EQ.1) GO TO 5
I=M-K+1
J=N-L+1
IF(T.LE.0.OR.J.LE.0) GO TO 5
S1=S1+ B(K,L)*R(I,J)
CONTINUE
CONTINUE
IF(M.LE.3.AND.N.LE.3) 30, 40
R(M,N)= A(M,N)- S1
GOTO 3
40 R(M,N)= -S1
CONTINUE
CONTINUE
DO 6 K=1,3
DO 7 L=1,3
IF(K*L.EQ.1) GOTO 7
DO 8 I=1,3
DO 9 J=1,3
S1=0
IF (I*J.EQ.1) GO TO 9
DO 10 M=4,6
DO 11 N=4,6
P=M-I+1
Q=N-J+1
T=M-K+1
S=N-L+1
IF(P.LE.0.OR.Q.LE.0.OR.T.LE.0.OR.S.LE.0) GO TO 11
S1=S1+R(P,Q)*R(T,S)
CONTINUE
CONTINUE
D=(K-1)*3+L-1
E=(I-1)*3+J-1
C(D,E)=S1
CONTINUE
CONTINUE
CONTINUE
CONTINUE
DO 12 K=1,3
DO 13 L=1,3
IF(K*L.EQ.1) GOTO 13
S1=0
DO 14 M=4,6
DO 15 N=4,6
P=M-K+1
Q=N-L+1
IF(P.LE.0.OR.Q.LE.0)GO TO 15

```

```

15 S1=S1+R(M,N)*R(P,Q)
14 CONTINUE
13 CONTINUE
12 D=(K-1)*3+L-1
    C(D,9)=S1
11 CONTINUE
10 CONTINUE
    CALL MATRIX(10,8,9,0,C,8,W)
    DO 27 J=1,8
    P= I/3 +1
    Q= I- (P-1)*3+1
27 B1(P,Q)=-C(I,9)
    B1(1,1)=1
    DO 16 M=1,3
    DO 17 N=1,3
    S1=0
    DO 18 I=1,M
    DO 19 J=1,N
    P=M-I+1
    Q=N-J+1
    S1=S1+R(P,Q)*B1(I,J)
19 CONTINUE
18 CONTINUE
    A1(M,N)=S1
17 CONTINUE
16 CONTINUE
    PRINT 20
20 FORMAT(12X,2HA*,8X,1HA,9X,2HB*,9X,1HB)
    PRINT 21,A1(1,1)
21 FORMAT(2X,5H(1,1),4X,3H1,0,5X,F10,7,4X,3H1,0,5X,3H1,0)
    DO 22 I=1,3
    DO 23 J=1,3
    IF (J.EQ.1.AND.I.EQ.1)GOTO 23
    PRINT 24, I,J, A(I,J), A1(I,J), B(I,J), B1(I,J)
24 FORMAT(2X,1H(,11,1H,11,1H),3X,F4,1,3X,F12,7,3X,F5,2,3X,F10,7)
23 CONTINUE
22 CONTINUE
    STOP
    END

```

תוצאות התוצאה

	A*	A	B*	B
(1,1)	1,0	1,0000000	1,0	1,0
(1,2)	2,0	2,0000020	-1,50	-1,4999980
(1,3)	-1,0	,9999957	,60	,5999972
(2,1)	3,0	2,9999913	-1,20	-1,2000087
(2,2)	4,0	3,9999888	1,80	1,8000106
(2,3)	2,0	2,0000175	-,72	-,7200020
(3,1)	2,0	1,9999745	,50	,5000109
(3,2)	-1,0	-1,0000295	-,75	-,7500153
(3,3)	1,0	,9999807	,29	,2900053

בספח 2

נמון מסנן לא יציב  $F = 1/B$  התוכנית בספח 2 מחשבת מסנן  $F_0 = 1/B_0$  יציב  
כך שהספקטרום שלו קרוב לספקטרום של המסנן המקורי. היצוב נעשה ע"י שימוש בשיטת  
P.L.S.I הסברים מפורטים בסעיף 5.3 .  
בספח מוצגת דוגמא. תוצאות ההרצה מצורפות.

```

PROGRAM FOM(INPUT,OUTPUT)
DIMENSION D(3,3),C(64,65),B(8,8),V(9,10),A(3,3)
INTEGER P,Q,T,S
READ 1, D(1,1),D(1,2),D(1,3)
READ 1,D(2,1),D(2,2),D(2,3)
READ 1,D(3,1),D(3,2),D(3,3)
FORMAT(3F11,8)
DO 2 K=1,8
DO 3 L=1,8
DO 4 I=1,8
DO 5 J=1,8
S1=0
DO 6 M=1,10
DO 7 N=1,10
P=M-I+1
Q=N-J+1
T=M-K+1
S=N-L+1
IF(P.LE.0.OR.Q.LE.0.OR.T.LE.0.OR.S.LE.0) GO TO 7
IF(P.GT.3.OR.Q.GT.3.OR.T.GT.3.OR.S.GT.3) GO TO 7
S1=S1+D(P,Q)*D(T,S)
CONTINUE
M1=(K-1)*8+L
M2=(I-1)*8+J
CONTINUE
C(M1,M2)=S1
CONTINUE
CONTINUE
CONTINUE
CONTINUE
C(1,65)=D(1,1)
DO 8 J=2,64
C(J,65)=0
CONTINUE
CALL MATRIX(10,64,65,1,C,64,W)
DO 9 I=1,64
P=(I-1)/8+1
Q=I-(P-1)*8
B(P,Q)=C(1,65)
CONTINUE
DO 10 K=1,3
DO 11 L=1,3
DO 12 I=1,3
DO 13 J=1,3
S1=0
DO 14 M=1,10
DO 15 N=1,10
P=M-I+1
Q=N-J+1
T=M-K+1
S=N-L+1
IF(P.LE.0.OR.Q.LE.0.OR.T.LE.0.OR.S.LE.0)GO TO 15
IF(P.GT.8.OR.Q.GT.8.OR.T.GT.8.OR.S.GT.8) GO TO 15
S1=S1+B(P,Q)*B(T,S)
CONTINUE
CONTINUE
M1=(K-1)*3+L

```



```

13 M2=(I-1)*3+J
12 V(M1,M2)=S1
11 CONTINUE
10 CONTINUE
16 V(1,10)=B(1,1)
DO 16 J=2,9
V(J,10)=0
CALL MATRIX(10,9,10,1,V,9,Z)
DO 17 I=1,9
P=(I-1)/3+1
Q=I-(P-1)*3
17 A(P,Q)= V(I,10)
PRINT 51
51 FORMAT(3X,21HUNSTABLE FILTER F=1/B)
PRINT 50,((D(K,L),L=1,3),K=1,3)
50 FORMAT(1H0,3(F11,8,3X))
PRINT 52
52 FORMAT(1H0,2X,24HSTABILIZED FILTER F=1/B*)
DO 18 I=1,3
PRINT 20,A(I,1),A(I,2),A(I,3)
20 FORMAT(1H0,3(F8,5,3X))
18 CONTINUE
STOP
END

```

תוצאות ההרצה

UNSTABLE FILTER F=1/B

1.00000000	*1.20002759	.40002239
*1.00003018	1.70007079	*.65005088
.40002035	*.70054880	.25004387

STABILIZED FILTER F=1/B\*

1.11574	*1.23465	.38427
*1.09342	1.68752	*.66807
.37595	*.65215	.29754

נספח 3

נתון מסנן לא יציב  $D_0 = A_0/B_0$  החוכנית מחשבת מסנן יציב  $D = A/B$  כך שהספקטרום שלו קרוב לספקטרום של המסנן המקורי. היצוב נעשה ע"י שימוש בטרנספורמצית הילברט הדיסקרטית. הסברים מפורטים מובאים בסעיף 5.4 .  
בנספח מורצות דוגמא. תוצאת ההרצה מובאת בסעיף 5.4 .

```

PROGRAM HILBERT(INPUT,OUTPUT)
DIMENSION D1(64,64),MM(3),INV(1024),S(1024)
COMPLEX A(64,64,1)
MM(1)=6
MM(2)=6
MM(3)=0
M1=64
M2=64
DO 1 I=1,64
DO 1 J=1,64
1 A(I,J,1)=CMPLX(0,000001,0,0000001)
A(1,1,1)=CMPLX(1,0,0,0)
A(1,2,1)=CMPLX(-0,75,0,0)
A(1,3,1)=CMPLX(0,9,0,0)
A(2,1,1)=CMPLX(1,5,0,0)
A(2,2,1)=CMPLX(-1,2,0,0)
A(2,3,1)=CMPLX(1,3,0,0)
A(3,1,1)=CMPLX(1,2,0,0)
A(3,2,1)=CMPLX(0,9,0,0)
A(3,3,1)=CMPLX(0,5,0,0)
CALL HARM(A,MM,INV,S,1,IFERR)
PRINT 5,IFERR
5 FORMAT(1X,I1)
DO 201 I=1,8
DO 201 J=1,4
PRINT 40,I,J,A(I,J,1)
40 FORMAT(1X,I2,1X,I2,F10,6,1X,F10,6)
201 CONTINUE
DO 100 I=1,M1
DO 100 J=1,M2
D1(I,J)=CABS(A(I,J,1))
A(I,J,1)=CMPLX(ALOG(D1(I,J)),0,0)
100 CONTINUE
CALL ODDEV(A,64,64)
DO 200 I1=1,M1
DO 200 I2=1,M2
PI=COS(AIMAG(A(I1,I2,1)))
QI=SIN(AIMAG(A(I1,I2,1)))
200 A(I1,I2,1)=CMPLX(D1(I1,I2)*PI,D1(I1,I2)*QI)
CALL HARM(A,MM,INV,S,-1,IFERR)
PRINT 5,IFERR
DO 39 I=1,10
DO 39 J=1,10
PRINT 4,I,J,A(I,J,1)
4 FORMAT(1X,I2,2X,I2,F10,6,2X,F10,6)
39 CONTINUE
STOP
END

```

```
SUBROUTINE ODDEV(A1,N1,N2)
DIMENSION INV1(1024),S1(1024),MM1(3)
COMPLEX A1(64,64,1)
MM1(1)=6
MM1(2)=6
MM1(3)=0
CALL HARM (A1,MM1,INV1,S1,-1,IFERR)
PRINT 7,IFERR
FORMAT(1X,I1)
N1=64
N2=64
N1P1=N1+1
N2P1=N2+1
N1D2=N1/2
N2D2=N2/2
N1D2P1=N1D2+1
N2D2P1=N2D2+1
DO 150 I1=2,N1D2
DO 150 I2=2,N1D2
K1=I1+N1D2
K2=I2+N2D2
A1(I1,K2,1)=CMPLX(0,0,AIMAG(A1(I1,K2,1)))
A1(K1,I2,1)=CMPLX(0,0,AIMAG(A1(K1,I2,1)))
150 A1(K1,K2,1)=-CONJG(A1(K1,K2,1))
A1(1,1,1)=CMPLX(0,0,AIMAG(A1(1,1,1)))
DO 250 I2=1,N2
250 A1(N1D2P1,I2,1)=(A1(N1D2P1,I2,1)-CONJG(A1(N1D2P1,I2,1)))/2
DO 350 I1=1,N1
350 A1(I1,N2D2P1,1)=(A1(I1,N2D2P1,1)-CONJG(A1(I1,N2D2P1,1)))/2
DO 400 I2=2,N2D2
K2=N2D2+I2
400 A1(1,K2,1)=-CONJG(A1(1,K2,1))
DO 500 I1=2,N1D2
K1=I1+N1D2
500 A1(K1,1,1)=-CONJG(A1(K1,1,1))
CALL HARM(A1,MM1,INV1,S1,+1,IFERR)
RETURN
END
```

1. ERNEST L. HALL  
A COMPARISON OF COMPUTATIONS FOR SPATIAL FILTERING  
PROCEEDINGS OF IEEE VOL 60 NO. 7 JULY 1972. PP 887-891
  
2. OPPENHEIM ALAN  
DIGITAL SIGNAL PROCESSING  
PRENTICE HALL 1975
  
3. LAWRENCE R. RABINER, BERNARD GOLD  
THEORY AND APPLICATION OF DIGITAL SIGNAL PROCESSING  
PRENTICE-HALL 1975
  
4. JOHN SHANKS, JAMES JUSTICE  
STABILITY AND SYNTHESIS OF TWO DIMENSIONAL RECURSIVE FILTERS  
I.E.E.E TRAN. ON AUDIO AND ELECTROACOUSTICS AU-20 NO 2  
JUNE 1972 PP 115-128
  
5. THOMAS S. HUANG  
STABILITY OF TWO DIMENSIONAL RECURSIVE FILTERS  
IEEE TRANSACTION ON AUDIO AND ELECTROACOUSTICS  
VOL AU 20 NO 2. JUNE 1972. PP 158-163
  
6. G. A. MARIA & M.M FAHMY  
ON STABILITY OF TWO DIMENTIONAL DIGITAL FILTERS.  
IEEE TRAN. ON AUDIO AND ELECTROACOUSTICS. OCTOBER 1973. PP 470-472.
  
7. BRAIN ANDERSON & ELIAHU JURY  
STABILITY TEST FOR TWO DIMENSIONAL RECURSIVE FILTERS  
I.E.E.E TARN. ON AUDIO AND ELECTROACOUSTICS. VOL 21 NO 4.  
AUGUST 1973. PP 366 ÷ 372.

8. E. A. ROBINSON  
STATISTICAL COMMUNICATION AND DETECTION  
HAFNER 1967 PP 173-174
  
9. RANDOLPH R. READ & SVEN TREITEL  
THE STABILIZATION OF TWO DIMENSIONAL RECURSIVE  
FILTERS VIA THE DISCRETE HILBERT TRANSFORM  
IEEE TRANS. ON GEOSCIENCE ELEC. VOL GE 11 JULY 1973. PP 153 -160.
  
10. C. FARMER & S GOODEN  
ROTATION AND STABILIZATION OF A RECURSIVE DIGITAL FILTER. 1ST NAT.  
PATTERN RECOGNITION CONF. 1973. PP 1-2-1 ÷ 12-12
  
11. JOSE COSTA & A. VENETSANOPOULOS  
DESIGN OF CIRCULARLY SYMMETRIC TWO DIMENSIONAL RECURSIVE FILTERS.  
IEEE TRANS. ON ACOUSTICS SPEECH AND SIGNAL PROCESSING.  
VOL ASSP-22 NO 6. DEC. 1974.
  
12. J. SHANKS  
RECURSION FILTERS FOR DIGITAL PROCESSING  
GEOPHYSICS, VOL 32 PP 33-51 FEB 1961
  
13. J. HU & L. RABINER  
DESIGN TECHNIQUES FOR TWO DIMENSION DIGITAL FILTERS  
IEEE TRANS ON AUDIO AND ELECTROACOUSTICS VOL AU-20 NO 4  
PP 249-263 OCT. 1972.
  
14. R. MERSEREAU & D. DUDGEON  
TWO DIMENSIONAL DIGITAL FILTERING  
IEEE PROCEEDINGS VOL 63 NO 4 APRIL 1975. PP 610-623.
  
15. D. DUDGEON  
TWO DIMENSIONAL RECURSIVE FILTER DESIGN USING DIFFERENTIAL CORRECTION.  
IEEE TRANS. ON ACOUSTICS SPEECH AND SIGNAL PROCESSING.  
VOL ASSP-23 NO. 3 JUNE 1975. PP - 264-267.

16. DAN E. DUDGEON  
RECURSIVE FILTER DESIGN USING DIFFERENTIAL CORRECTION.  
IEEE TRANS. ON ACOUSTICS SPEECH AND SIGNAL PROCESSING  
VOL ASSP-22 NO. 6 DEC 1974. PP 443-448
  
17. I.B.M SCIENTIFIC SUBROUTINE PACKAGE
  
18. Y. GENIN Y. KAMP  
COUNTEREXAMPLE IN THE LEAST SQUARES INVERSE STABILIZATION  
OF 2D RECURSIVE FILTERS.  
ELECTRONICS LETTERS. JULY 1975.
  
19. V. CIZEK  
DISCRET HILBERT TRANSFORM  
IEEE ON AUDIO AND ELECTROACOUSTICS.  
VOL AU-18 NO 4 DECEMBER 1970.

DESIGN OF TWO DIMENSIONAL DIGITAL FILTERS

FINAL PAPER

SUBMITTED IN PARTIAL FULFILMENT OF THE REQUIRMENTS  
FOR THE DEGREE OF MASTER OF SCIENCE  
IN ELECTRICAL ENGINEERING

BY

RAMI SEGAL

SUBMITTED TO THE SENATE OF THE TECHNION - ISRAEL INSTITUE OF TECHNOLOGY

HESHVAN 5736

HAIFA

NOVEMBER 1975



THE FINAL PAPER WAS DONE UNDER THE GUIDANCE OF  
DR. D. MALAH IN THE FACULTY OF ELECTRICITY.

I WANT TO THANK DR. D. MALAH FOR HIS HELP AND  
GUIDANCE.

## ABSTRACT

The digital filtering of two dimensional signals offers the many advantages characteristic of digital computers, such as flexibility and accuracy. Two dimensional filters are used in many image and array processing applications - such as X ray enhancement, image deblurring, weather predictions, seismic analysis and the processing of radar and sonar arrays. As in the one-dimensional case, two-dimensional filters fall into two classes - those whose unit sample response contains a finite number of samples and whose transfer functions are polynomials - the F.I.R filters - and those whose transfer functions are rational functions - the I.I.R. filters. It has been shown that there is a potential saving in both computer time and in memory size by use of recursive digital filtering as compared to non-recursive filters.

Due to the importance of these savings, this work will deal mainly with recursive filters.

Two problem areas of two-dimensional recursive filtering are stability and synthesis. Since a portion of the output values are used by the recursive algorithm, it is possible for the output values to become arbitrarily large, independent of the size of the input values. A filter of this kind is said to be unstable.

Although interesting, the question of how to test two dimensional recursive filters for stability is not the only part of the stability problem, nor is it the most important part. The important issues are:

a) If a filter is unstable, how can it be stabilized without undue distortion of its frequency response.

b) How can stable filters be designed?

Three methods of stabilizing are examined:

The first one is based on the assumption that the planar least squares (Wiener) inverse of an array, is in most cases minimum phase. The second method uses a two dimensional generalization of the discrete Hilbert transform, and leads to a scheme producing stability with nominal distortions.

Another method is the approximation of the unstable filter by a stable filter while trying to keep the distortion of the frequency response as small as possible. We can use this method only when the unstable filter is of low order.

This work reviews and applies several approaches towards designing recursive filters. In the first method we know the two-dimensional unit sample response of the discrete filter which we wish to use on the data. We approximate the given unit sample with the two-dimensional recursive filter.

In the given methods, we use techniques of filters design in the frequency domain.

All the methods of synthesis with which we are familiar today still have serious drawbacks. Further work must be done in order to find more effective techniques for the design of two-dimensional recursive filters.